

RONALD JOSE ELLWANGER

PROJETO AUTOMÁTICO DE EDIFÍCIOS

Tese apresentada ao corpo docente do Curso de Pós-Graduação em Engenharia Civil da Escola de Engenharia da Universidade Federal do Rio Grande do Sul como parte dos requisitos para a obtenção do título de "MESTRE EM CIÊNCIAS".

Porto Alegre

Estado do Rio Grande do Sul - Brasil

Abril de 1979

Esta tese foi julgada adequada para a obtenção
do título de MESTRE EM CIÊNCIAS e aprovada
em sua forma final pelo orientador e pelo Cur-
so de Pós-Graduação.

Professor MAURICIO SARRAZIN
Orientador

Professor JOSÉ SERAFIM GOMES FRANCO
Coordenador do Curso de Pós-Graduação

A meus pais.
A minha irmã.

AGRADECIMENTOS

Ao Professor Mauricio Sarrazin, pela diligente orientação, essencial à elaboração desta tese.

Ao Professor José Gomes Franco, pelo constante incentivo concedido à concretização do projeto.

Às Professoras Maria Inês G. dos Santos e Leda W. Gobetti pela valiosa contribuição na orientação deste trabalho.

Aos membros da equipe LORANE, pelo espírito de camaradagem e apoio prestados ao longo deste empreendimento.

Ao CNEN, CNPq e FINEP, pelo auxílio financeiro.

A todos os que de alguma forma cooperaram para a realização do presente trabalho.

SINOPSE

Este trabalho descreve um programa de computador destinado ao projeto estrutural de edifícios. No atual estágio, uma vez fornecidos os dados de geometria e carregamento, o programa realiza a análise estrutural e o dimensionamento dos pôrticos de concreto armado.

Inicialmente, são apresentados as bases teóricas e o formulário utilizado. A seguir, trata-se da organização do programa em si. Finalmente, apresenta-se o projeto de um edifício de cinco pavimentos, como exemplo de aplicação.

SYNOPSIS

In this paper a computer program for the structural de-sign of building is described. In the present stage of development, given the geometry and loading conditions, the program carries out the structural analysis and dimensioning of reinforced concrete frames.

The theoretical bases and design criteria are discussed in detail, as well as the internal organization of the computer program. Finally, as an example, a five-stories building is designed.

SUMÁRIO

	Pág.
CAPÍTULO I - Introdução	1
1.1 - Considerações preliminares	1
1.2 - Sistema de referência	2
1.3 - Estrutura da tese	3
 CAPÍTULO II - A análise	 6
2.1 - Bases teóricas	6
2.1.0 - Introdução	6
2.1.1 - Geometria de um piso	6
2.1.2 - Equações dinâmicas de equilíbrio, <u>fre</u> quências e modos de vibrar	10
2.1.3 - Análise espectral	12
2.1.4 - Análise estática do pórtico plano	16
2.1.4.1 - Idealização do pórtico	16
2.1.4.2 - Matriz de rigidez de um pi- so	18
2.1.4.3 - Matriz de rigidez de um ele- mento uniaxial	19
2.2 - Definição das forças externas	21
2.2.0 - Introdução	21
2.2.1 - Cargas verticais	21
2.2.1.1 - Peso próprio e carga aciden- tal	21
2.2.1.2 - Reações das lajes	25
2.2.1.3 - Forças de engastamento per- feito	30
2.2.2 - Cargas devidas ao vento	32
2.2.3 - Cargas de sismo	33
2.3 - Resumo	34
 CAPÍTULO III - O dimensionamento	 35

3.1 - Solicitações de cálculo	35
3.2 - Armadura longitudinal das vigas	38
3.3 - Armadura longitudinal dos pilares	41
3.4 - Armadura transversal	46
 CAPÍTULO IV - Desenvolvimento do programa	 54
4.1 - Programa principal	54
4.2 - Subrotina PROADE	54
4.2.1 - Estrutura geral	54
4.2.2 - Entrada de dados	54
4.2.3 - Pré-processamento dos dados	62
4.2.4 - Análise e pós-processamento	63
4.2.5 - Dimensionamento	63
4.3 - Subrotina SATE	64
4.4 - Subrotina MARIH	66
4.5 - Subrotina CARHO	66
4.6 - Subrotina PORT	67
 CAPÍTULO V - Exemplo	 68
5.1 - Definição do problema	68
5.2 - Ação do vento	80
5.3 - Esforços nos membros	80
5.4 - Solicitações de cálculo e armaduras	92
 CAPÍTULO VI - Conclusões	 129
 APÊNDICE A - Esquema de entrada de dados	 132
A.1 - Facilidades para a codificação	132
A.2 - Dados de controle	133
A.3 - Propriedades de pilares e vigas	134
A.4 - Entrada de dados por pisos	135
A.5 - Centros de gravidade dos pisos	138
A.6 - Matrizes de rigidez	138
A.7 - Dados de vento e sismo	139
 APÊNDICE B - Organização interna do sistema	 140
 REFERÊNCIAS BIBLIOGRÁFICAS	 142

CAPÍTULO I

INTRODUÇÃO

1.1 - CONSIDERAÇÕES PRELIMINARES

A utilização do computador vem se constituindo num fator de crescente importância para as atividades de pesquisa e a solução de problemas práticos de Engenharia. O campo da análise estrutural foi um dos primeiros a se servir deste valioso instrumental. Mais recentemente, passou a se desenvolver a aplicação do computador a atividades de dimensionamento e, com o advento dos plotadores, do detalhamento das peças estruturais.

Assim, parece óbvio que a atividade de projeto estrutural usando o computador venha a ter um grande desenvolvimento no decorrer dos próximos anos. Das atuais linguagens orientadas que realizam a análise da estrutura, dever-se-á passar para sistemas nos quais o usuário fornece os dados de geometria e carregamento e vê realizar-se de forma automática o projeto estrutural completo, incluindo análise, dimensionamento e detalhamento. O projetista estrutural terá a penosa tarefa de cálculo e desenho substituída pela de preparação e codificação de dados.

O presente trabalho representa um esforço inicial no sentido de se desenvolver um sistema do tipo acima referido. O programa PROADE (Projeto Automático de Edifícios) constitui um sistema específico para o projeto de edifícios; é aplicável à maioria dos edifícios que se projetam na prática normal (apartamentos, escritórios, hotéis etc.).

Uma vez fornecidos os dados de geometria e carregamento, realiza o programa a análise com a consequente obtenção dos esforços e, de posse destes, o dimensionamento dos membros da es-

trutura.

PROADE está codificado em FORTRAN, com uma organização por subrotinas: São ao todo 23 subrotinas e 8 funções, totalizando, aproximadamente, 3000 registros.

A parte correspondente à análise se faz pelo método de supor diafragmas rígidos por piso. Esses diafragmas, além de resistir a solicitações verticais de peso próprio e sobrecargas, podem resistir a forças horizontais de inércia e transmiti-las às subestruturas verticais a elas conectadas; devem também ser capazes de impor às subestruturas verticais deformações a nível de diafragma que sejam compatíveis com a rigidez deste plano horizontal.

Edifícios correntes podem ser encarados como pórticos espaciais. No método dos diafragmas rígidos, o pórtico espacial é dividido em subestruturas verticais do tipo pórtico plano e as cargas horizontais atuantes são decompostas em parcelas agindo cada uma segundo o plano destas subestruturas. Determinadas essas parcelas, realiza-se a análise de cada pórtico plano isoladamente.

O dimensionamento é feito, supondo-se que a estrutura seja de concreto armado. Realiza-se a determinação das áreas de armadura longitudinal e transversal de vigas e pilares. Essa determinação é feita, atendendo-se às exigências da NB-1.

1.2 - SISTEMA DE REFERÊNCIA

O presente trabalho leva em consideração somente edifícios de geometria retangular, isto é, com os pórticos planos verticais se desenvolvendo segundo duas direções ortogonais.

Define-se, a seguir, um sistema triortogonal de referência XYZ, com origem no nível basal do edifício e o eixo Z voltado para cima. A posição da origem no plano basal é arbitrária. Assim, ao longo deste trabalho, sempre que se usar alguma destas notações (viga na direção X, vento soprando segundo Y, etc.), será para fazer referência a este sistema global XYZ.

Além disso, definem-se ainda eixos auxiliares x_1 e y_1 , paralelos, respectivamente, aos eixos globais X e Y; definem-se também níveis ou pisos k. Para exemplificar, neste sistema, a terna (2,1,3) designa eixo auxiliar x_2 , eixo auxiliar y_1 e piso 3.

A figura 1.1 ilustra a situação. Nela, vemos a estrutura de um edifício referida a um sistema global de referência XYZ. A estrutura é composta de dois pórticos planos paralelos à direção X, associados aos eixos auxiliares x_1 e x_2 , e três pórticos paralelos à direção Y, associados aos eixos auxiliares y_1 , y_2 e y_3 . As vigas destes pórticos localizam-se nos pisos, que estão numerados de 1 a 4.

1.3 - ESTRUTURA DA TESE

Este trabalho está composto por seis capítulos e dois apêndices. Não foi incluída a listagem do programa PROADE juntamente com as subrotinas por ele chamadas, porque tal inclusão (cerca de 67 folhas de computação) implicaria num aumento considerável de volume do trabalho, pouco contribuindo para elevar seu nível.

No segundo capítulo, estabelecem-se as bases teóricas e o formulário referentes à análise. Descreve-se também a determinação das forças externas, ou seja, as cargas de peso próprio, sobrecarga, vento e sismo.

O terceiro capítulo trata do dimensionamento. Nele, são estabelecidos critérios para a obtenção das solicitações de cálculo e se relaciona o formulário utilizado para a determinação das armaduras. Procura-se ilustrar, por meio de blocodiagramas, a aplicação deste formulário.

No quarto capítulo, descrevem-se os principais passos e o armazenamento de informação do programa PROADE. Há, também, uma descrição das subrotinas mais importantes chamadas por PROADE.

No quinto capítulo, apresenta-se um exemplo de aplicação

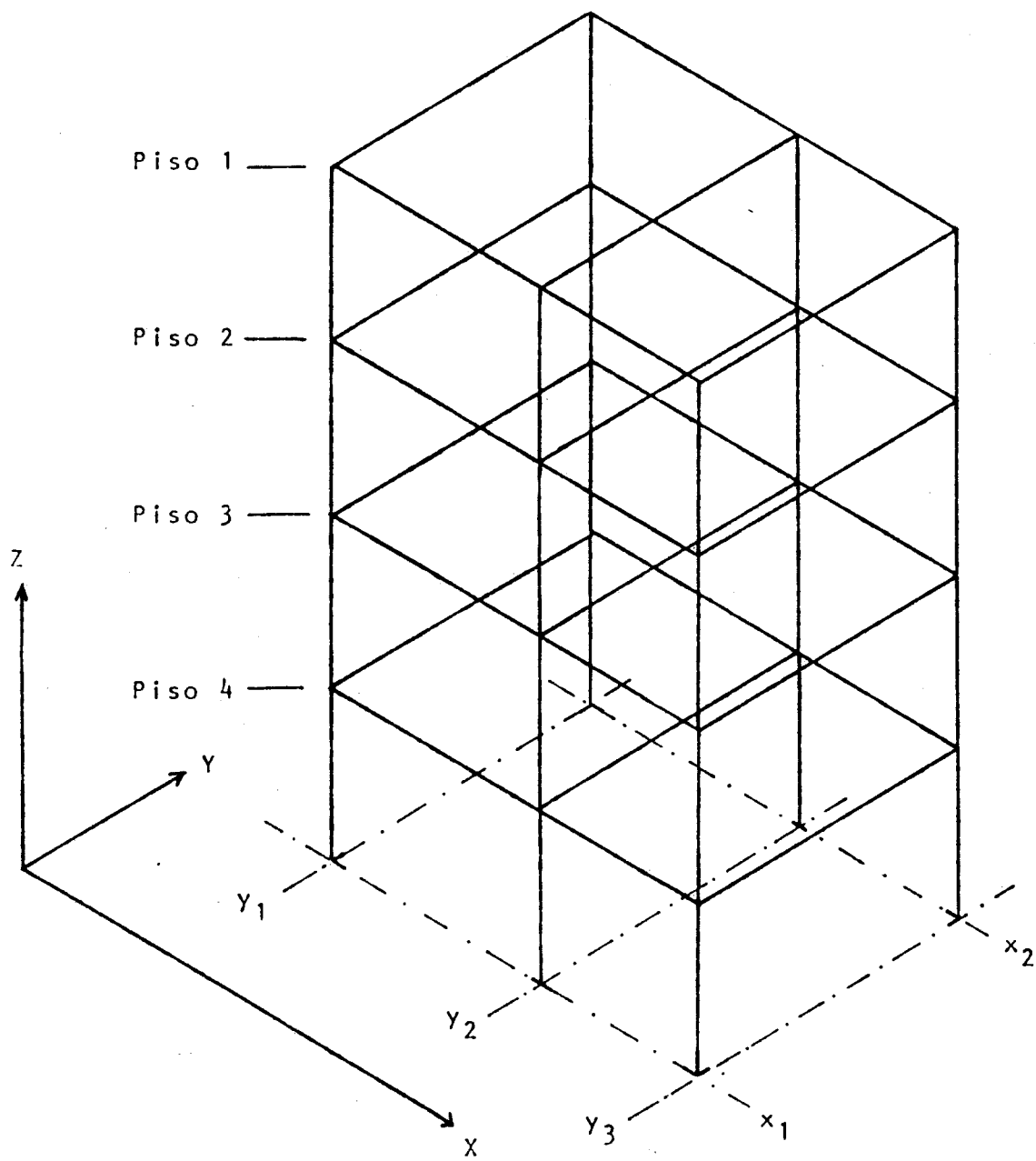


Figura 1.1

ção do programa PROADE, com as listagens de resultados por ele publicadas.

O sexto capítulo relata as conclusões deste trabalho, juntamente com algumas sugestões e perspectivas para o aperfeiçoamento do sistema, no futuro.

No apêndice A, se mostra o esquema de entrada de dados, com todas as instruções para o uso do programa.

O apêndice B procura ilustrar, por meio de blocograma, a organização interna do sistema.

CAPÍTULO II

A ANÁLISE

2.1 - BASES TEÓRICAS

2.1.0 - Introdução

Desenvolvem-se a seguir as bases teóricas de um sistema para análise de edifícios submetidos a forças horizontais. O sistema estrutural está composto por pórticos planos ou muros em posição e orientação arbitrária em planta, os quais têm somente rigidez em sua direção principal. Eles se encontram ligados, a nível de pisos, por lajes ou diafragmas de rigidez infinita em seu plano, o que obriga a todos os elementos a terem deslocamentos compatíveis, de maneira que representem, em conjunto, a translação e rotação de um plano rígido. As forças horizontais externas se supõem aplicadas em uma posição e direção quaisquer, porém concentradas a nível dos pisos.

2.1.1 - Geometria de um piso

A figura 2.1 mostra o piso de ordem i de um edifício de N pisos e o pórtico ou muro de ordem j de um total de M . Definindo um sistema local de referência (x_i, y_i) , os deslocamentos correspondentes ao piso como plano rígido são (u_i, v_i, θ_i) . A posição e a direção de cada pórtico ficam definidas pela distância r_j do mesmo à origem, e o ângulo α_j que forma a perpendicular desde a origem ao pórtico com o eixo das abscissas.

O deslocamento do pórtico j ao nível do piso i , segundo a direção principal daquele, se denominou δ_{ij} e a força correspondente, nesta mesma direção, f_{ij} .

O pórtico j tem uma matriz de rigidez correspondente a deslocamentos horizontais que é o resultado de uma condensação geométrica nos pisos, supondo que os pontos deste se movem como um corpo rígido, mais uma condens-

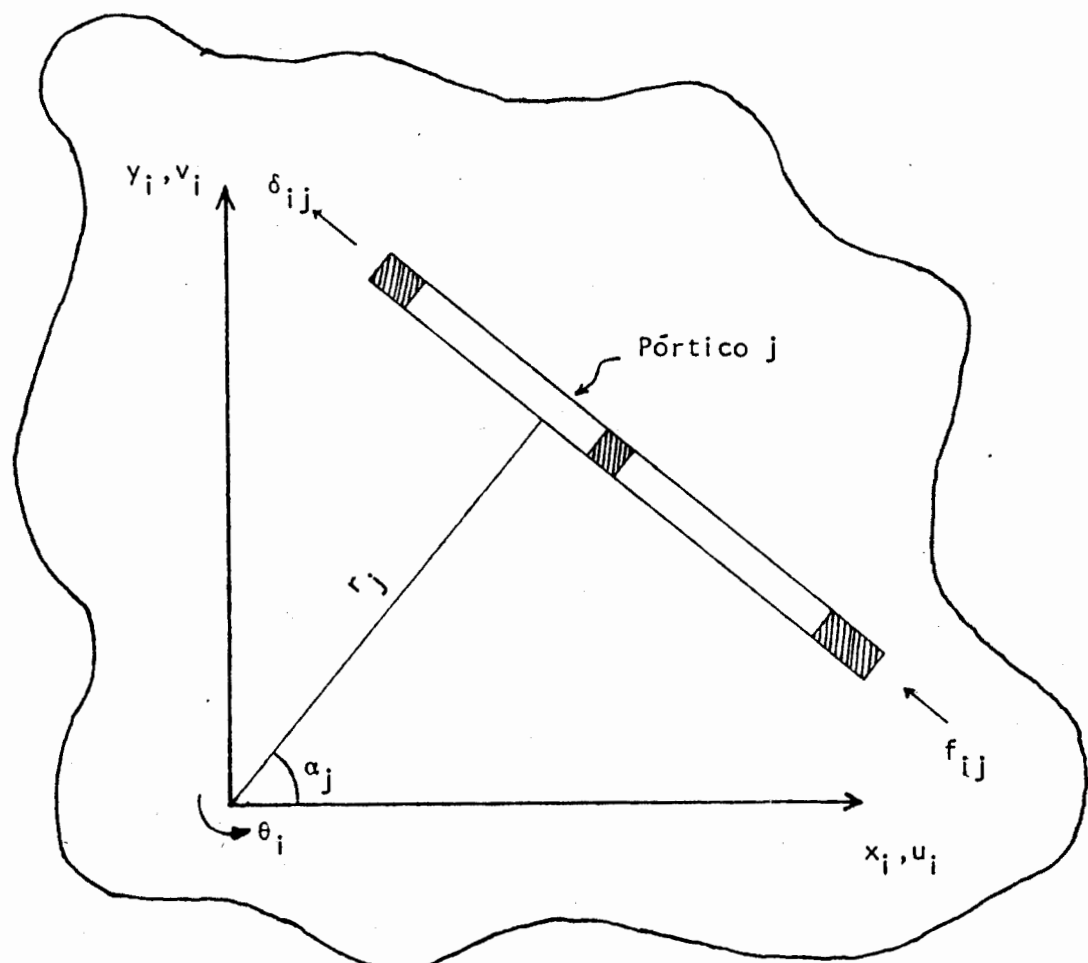


Figura 2.1

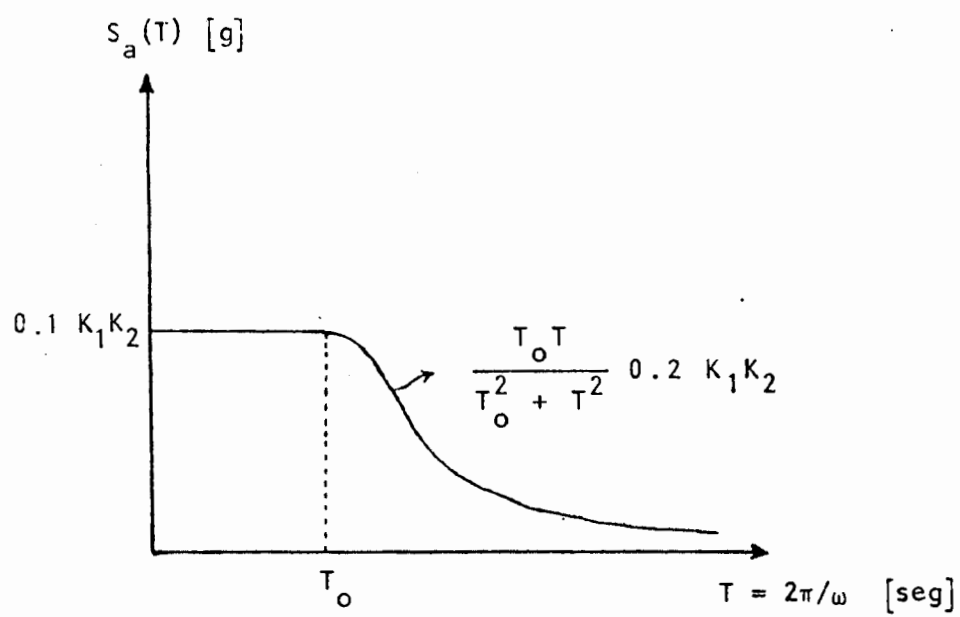


Figura 2.2

sação estática dos graus de liberdade horizontais. Esta matriz se denomina "matriz de rigidez horizontal, k_j ".

Chamando de \underline{f}_j o vetor das forças correspondentes à ação do diafragma sobre cada piso do pórtico j , temos

$$\underline{f}_j = \underline{k}_j \underline{\delta}_j \quad (2.1)$$

Os deslocamentos $\underline{\delta}_j$ estão ligados aos deslocamentos relativos aos sistemas de referência dos pisos através da relação

$$\underline{\delta}_j = \underline{A}_j \underline{u} \quad (2.2)$$

Donde

$$\underline{u} = \begin{Bmatrix} u_1 \\ u_2 \\ \vdots \\ u_n \\ \cdots \\ v_1 \\ v_2 \\ \vdots \\ v_n \\ \cdots \\ \theta_1 \\ \theta_2 \\ \vdots \\ \theta_n \end{Bmatrix} = \text{vetor de deslocamentos dos pisos}$$

$$\underline{A}_j = [-\operatorname{sen}\alpha_j \quad 1 \quad \operatorname{cos}\alpha_j \quad 1 \quad \underline{r}_j]$$

= matriz de transformação, de $n \times 3n$ elementos

I = matriz identidade

\underline{r}_j = matriz diagonal com os elementos r_{ij}

Chamando \underline{F}_j ao vetor de forças f_j transformado aos sistemas de referência dos pisos, se tem

$$\underline{F}_j = \underline{A}_j^T \underline{f}_j \quad (2.3)$$

$$\underline{F}_j = \underline{A}_j^T \underline{k}_j \underline{A}_j \underline{u} \quad (2.4)$$

Considerando o total de pórticos, as forças por piso estão dadas por

$$\underline{F} = \sum_{j=1}^M \underline{F}_j = \sum_{j=1}^M \underline{k}_j \underline{u} = \underline{K} \underline{u} \quad (2.5)$$

onde \underline{K} é a matriz de rigidez global do sistema, considerando três graus de liberdade por piso, e \underline{F} é o vetor de forças externas aplicadas nos pontos de origem dos sistemas de coordenadas de cada piso. Em forma desenvolvida, a matriz \underline{K} toma a forma

$$\underline{K} = \begin{bmatrix} M & & & \\ \sum_{j=1}^M \text{sen}^2 \alpha_j k_j & -\sum_{j=1}^M \text{sen} \alpha_j \cos \alpha_j k_j & -\sum_{j=1}^M \text{sen} \alpha_j k_j r_j \\ & M & \\ & \sum_{j=1}^M \cos^2 \alpha_j k_j & \sum_{j=1}^M \cos \alpha_j k_j r_j \\ & & M \\ & & \sum_{j=1}^M r_j k_j r_j \\ \text{Simétrica} & & & \end{bmatrix}$$

Os sistemas de referência escolhidos, diferentes para cada piso, podem reduzir-se a um sistema global único, reduzindo assim as n magnitudes r_{ij} a um único valor \bar{r}_j . Todavia, para simplificar o estabelecimento das equações dinâmicas de equilíbrio, é conveniente usar o centro de gravidade de cada piso como origem dos sistemas de referência, obtendo-se assim uma matriz de massas diagonal.

Se chamamos (x_{Gi}, y_{Gi}) as coordenadas do centro de gravidade (ou origem do sistema local de referência) do piso i , então os valores necessários como dados são: \bar{r}_j , $j = 1, 2, \dots, M$ e (x_{Gi}, y_{Gi}) , $i = 1, 2, \dots, N$. As magnitudes r_{ij} das relações anteriores se obtêm de

$$r_{ij} = \bar{r}_j - X_{Gi} \cos \alpha_j - Y_{Gi} \sin \alpha_j \quad (2.6)$$

2.1.2 - Equações dinâmicas de equilíbrio, frequências e modos de vibrar

Supondo que os centros de gravidade de cada piso correspondam à origem dos sistemas de referência, a matriz de massas é diagonal, como se mencionou anteriormente

$$\underline{\underline{M}} = \begin{bmatrix} m & & \\ & m & \\ & & J \end{bmatrix} \quad (2.7)$$

onde $\underline{\underline{m}}$ é uma matriz diagonal que tem como elementos as massas dos pisos e $\underline{\underline{J}}$ é uma matriz que tem na diagonal os valores das inéncias de giro em planta de cada piso, com respeito ao centro de gravidade. Nesta forma, a equação de movimento é

$$\underline{\underline{K}} \underline{\underline{u}} + \underline{\underline{C}} \underline{\underline{u}} + \underline{\underline{M}} (\ddot{\underline{\underline{u}}} + \ddot{\underline{\underline{u}}}_s) = \underline{\underline{F}} \quad (2.8)$$

onde $\underline{\underline{K}}$ = matriz de rigidez, segundo se definiu anteriormente

$\underline{\underline{u}}$ = deslocamentos dos pisos relativos à base

$\underline{\underline{C}}$ = matriz de amortecimento viscoso

$\underline{\underline{M}}$ = matriz de massas

$$\ddot{\underline{\underline{u}}}_s = \left\{ \begin{array}{c} u_s \left\{ \begin{array}{c} 1 \\ 1 \\ \vdots \\ 1 \end{array} \right\} \\ v_s \left\{ \begin{array}{c} 1 \\ 1 \\ \vdots \\ 1 \end{array} \right\} \\ \theta_s \left\{ \begin{array}{c} 1 \\ 1 \\ \vdots \\ 1 \end{array} \right\} \end{array} \right\}$$

F = vetor de forças externas, função do tempo.

Dado que u_s se supõe conhecido, a expressão Mu_s^{..} pode ser passada ao segundo membro como uma força equivalente. Ademais, para o caso de análise sísmica, não há forças aplicadas externamente. Assim, a equação de movimento pode ser posta na forma

$$\underline{M} \ddot{\underline{u}} + \underline{C} \dot{\underline{u}} + \underline{K} \underline{u} = - \underline{M} \ddot{\underline{u}}_s \quad (2.9)$$

Na prática, normalmente se supõe que o movimento da base tenha somente uma direção e se ignora o movimento de giro θ_s . Supondo que o movimento tenha uma direção β com respeito ao eixo das abcissas e uma magnitude u_β , as forças sísmicas equivalentes seriam

$$-\underline{M} \ddot{\underline{u}}_s = -\underline{M} \left\{ \begin{array}{l} \ddot{u}_\beta \cos \beta \\ \ddot{u}_\beta \sin \beta \\ 0 \\ 0 \\ \vdots \\ 0 \end{array} \right\} \quad (2.10)$$

O sistema acoplado pode ser resolvido simultaneamente por um método numérico apropriado. Porém, o que será feito é achar a transformação que desacople as equações, de forma que elas possam ser resolvidas independentemente. Essa transformação se faz por meio dos autovetores ou modos de vibração do sistema.

Os modos de vibração representam a solução do problema de vibrações livres desacopladas, dado por

$$\underline{M} \ddot{\underline{u}} + \underline{K} \underline{u} = \underline{0} \quad (2.11)$$

Esta solução é obtida, resolvendo-se o problema de autovalores dado por

$$\underline{K} \underline{\phi} = w^2 \underline{M} \underline{\phi} \quad (2.12)$$

onde $\underline{\phi}$ = matriz que contém os modos de vibração
 w = frequência

2.1.3 - Análise espectral

Para o caso sem amortecimento, a equação de movimento fica sendo

$$\underline{M} (\ddot{\underline{u}} + \ddot{\underline{u}_s}) + \underline{K} \underline{u} = \underline{0} \quad (2.13)$$

Trata-se de um sistema de $3n \times 3n$ equações (n = número de pisos), onde \underline{u} é o vetor de deslocamentos e giros dos pisos relativos à base, e \underline{u}_s é o vetor de deslocamentos e giros da base relativos a um sistema inercial de referência (movimento sísmico). Supondo um sismo na direção β , sem componente de rotação, tem-se que

$$\underline{M} \ddot{\underline{u}} + \underline{K} \underline{u} = - \ddot{\underline{u}_s} \underline{M} \underline{e} \quad (2.14)$$

sendo

$$\underline{e} = \left\{ \begin{array}{c} \cos\beta \\ \cos\beta \\ \vdots \\ \cos\beta \\ \sin\beta \\ \sin\beta \\ \vdots \\ \sin\beta \\ 0 \\ 0 \\ \vdots \\ 0 \end{array} \right\}$$

Chamando $\underline{\phi}$ à matriz modal, pode-se fazer a decomposição

$$\underline{\dot{u}} = \underline{\phi} \underline{\eta} \quad (2.15)$$

Substituindo em (2.14) e premultiplicando por $\underline{\phi}^T$, se obtém

$$\underline{\phi}^T \underline{M} \underline{\dot{\phi}} + \underline{\phi}^T \underline{K} \underline{\phi} \underline{\eta} = - \ddot{u}_s \underline{\phi}^T \underline{M} \underline{e} \quad (2.16)$$

Por ortogonalidade dos modos de vibrar, se tem

$$\underline{\phi}^T \underline{M} \underline{\phi} = \left[\sum_{k=1}^n (m_k \phi_{ki}^2 + m_k \phi_{n+k,i}^2 + J_k \phi_{2n+k,i}^2) \right] \quad (2.17)$$

$$\underline{\phi}^T \underline{K} \underline{\phi} = \left[w_i^2 \sum_{k=1}^n (m_k \phi_{ki}^2 + m_k \phi_{n+k,i}^2 + J_k \phi_{2n+k,i}^2) \right] \quad (2.18)$$

No segundo membro

$$\underline{\phi}^T \underline{M} \underline{e} = \underline{\phi}^T \left\{ \begin{array}{l} m_1 \cos \beta \\ m_2 \cos \beta \\ \vdots \\ m_n \cos \beta \\ \hline m_1 \sin \beta \\ m_2 \sin \beta \\ \vdots \\ m_n \sin \beta \\ \hline 0 \\ 0 \\ \vdots \\ 0 \end{array} \right\} \quad (2.19)$$

O termo da equação i toma a forma

$$\sum_{k=1}^n m_k (\phi_{ki} \cos\beta + \phi_{n+k,i} \sin\beta) \quad (2.20)$$

Assim, o fator de participação do modo i vale

$$\lambda_i = \frac{\sum_{k=1}^n m_k (\phi_{ki} \cos\beta + \phi_{n+k,i} \sin\beta)}{\sum_{k=1}^n [m_k (\phi_{ki}^2 + \phi_{n+k,i}^2) + J_k \phi_{2n+k,i}^2]} \quad (2.21)$$

Normalmente, se conhece o espectro de aceleração que tem, no caso da norma chilena, a forma da figura 2.2 (espectro de projeto), o qual tem implícito um certo grau de amortecimento e dutilidade da estrutura.

O valor máximo do deslocamento no modo i está dado por

$$\underline{u}_{i_{\max}} = \frac{\lambda_i}{w_i^2} g \text{ Sa}(w_i) \phi_i \quad (2.22)$$

onde g = aceleração da gravidade

As forças correspondentes se podem obter como

$$\underline{f}_{i_{\max}} = w_i^2 M \underline{u}_{i_{\max}} \quad (2.23)$$

$$\underline{f}_{i_{\max}} = \lambda_i g \text{ Sa}(w_i) M \phi_i \quad (2.23)$$

Supondo que se tomem k modos de vibrar, os vetores de forças correspondentes se podem agrupar em uma matriz \underline{f} de $3n \times k$ elementos

$$\underline{f} = g \text{ Sa}(w_i) M \underline{\phi} \underline{\lambda} \quad (2.24)$$

O esforço de corte basal na direção β , correspondente ao modo i , está dado por

$$Q_{\beta_i} = \lambda_i \sum_{k=1}^n m_k (\phi_{ki} \cos \beta + \phi_{n+k,i} \sin \beta) g Sa(w_i) \quad (2.25)$$

O termo que multiplica $g Sa(w_i)$ se denomina "massa equivalente" ($M_{\beta_i}^e$). É possível demonstrar que

$$\sum_{i=1}^n M_{\beta_i}^e = \text{massa total da estrutura.}$$

Conyem destacar que as normas de projeto sismorresistente especificam um valor mínimo para o corte basal, igual ao peso total da estrutura multiplicado por um coeficiente que, por exemplo, na norma chilena, vale 0.06. É necessário, portanto, checar este valor e aumentar as forças dinâmicas em um fator, no caso de se obter menos que o valor limite. O valor da solicitação sísmica se obtém usando o critério de superposição

$$S = \alpha \sum_{i=1}^r |s_i| + \beta \sqrt{\sum_{i=1}^r s_i^2} \quad (2.26)$$

onde S = valor de projeto de qualquer esforço ou deslocamento

s_i = contribuição do modo i a S

r = número de modos a considerar.

A norma chilena estabelece que $\alpha = \beta = 0.5$. Assim, se Q_{β} é o valor de corte obtido depois da combinação e $Q_{\beta} < Q_{\min}$, todos os valores devem ser amplificados por Q_{\min}/Q_{β} . Quanto ao número de modos a levar em consideração, devem-se ordená-los de maior a menor massa equivalente e tomar aqueles cuja soma das massas equivalentes representem 90% do peso total da estrutura.

O procedimento para a obtenção das solicitações correspondentes ao sismo segue os seguintes passos:

- Obtenção das frequências e modos de vibrar.
- Cálculo dos fatores de participação λ_i , segundo equação (2.21).
- Cálculo das massas equivalentes. Elegem-se os r modos de maior massa

equivalente, tais que a soma destas massas equivalentes seja maior ou igual a noventa por cento da massa total da estrutura.

- Cálculo de Q_β segundo a fórmula (2.26) e os valores do espectro. Se $Q_\beta < Q_{\min}$, amplifica-se o espectro por Q_{\min}/Q_β .

- Cálculo das forças dinâmicas para cada modo a considerar, usando a fórmula (2.23).

- Realização da análise estática para cada vetor de cargas correspondente aos r modos que se estão considerando.

- Combinação dos esforços em cada membro e dos deslocamentos laterais com a fórmula (2.26). Se obtém assim um estado de solicitação correspondente ao sismo na direção β .

2.1.4 - Análise estática do pórtico plano

Uma vez analisado o pórtico espacial com a solução do sistema (2.5), determina-se o vetor de forças horizontais para cada pórtico plano, com a aplicação de (2.1) combinado com (2.2). Uma vez que a geometria da estrutura já é conhecida, temos, então, os elementos suficientes para a análise independente de cada pórtico plano. Essa análise está basicamente dividida em duas fases, a saber:

- Obtenção da matriz de rigidez do pórtico.
- Obtenção dos esforços nos membros.

2.1.4.1 - Idealização do pórtico

A geometria do sistema estrutural se mostra na figura 2.3. Consiste em um pórtico retangular de "n" pisos e "m" pilares, apoiados no nível "n + 1". Para fins de análise, o pórtico se supõe formado por subestruturas da forma que se mostra na figura 2.4, vale dizer, cada subestrutura representa um piso completo (figura 2.5).

O processo de obtenção da matriz de rigidez horizontal segue a seguinte metodologia:

Para cada piso, se procede:

- Obter a matriz de rigidez do piso.
- Adicionar à matriz de rigidez global de pórtico plano, agrupando os graus de liberdade horizontal ao final.
- Mediante um processo de eliminação, chegar a uma relação entre os graus de liberdade horizontal e as forças correspondentes. Esta relação constitui a matriz de rigidez horizontal desejada.

Os esforços nos elementos, para os estados de carga requeridos,

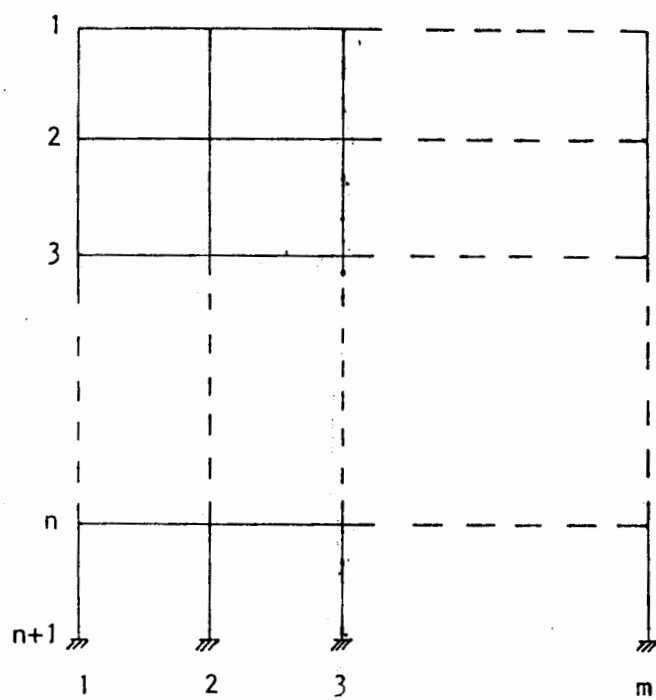


Figura 2.3

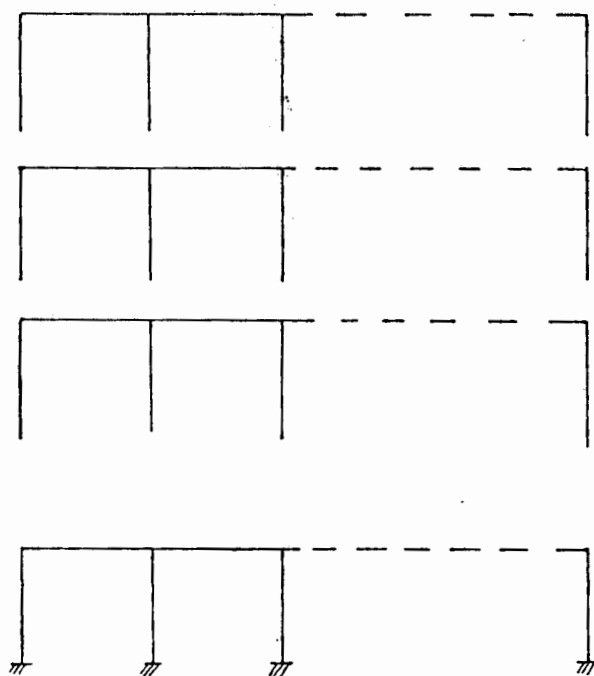


Figura 2.4

se obtém na seguinte ordem:

- Obtenção das forças de engastamento perfeito.
- Resolução para os deslocamentos laterais (sistema de $n \times n$ equações).
- Obtenção dos deslocamentos dos nós mediante substituição.
- Obtenção dos esforços mediante as relações força-deformação dos elementos e as forças de engastamento perfeito.

2.1.4.2 - Matriz de rigidez de um piso

Um piso qualquer, como o que se mostra na figura 2.5, tem $4m + 2$ graus de liberdade: dois graus de liberdade por cada ponto de encontro de vigas e pilares (deslocamento vertical e giro) e um grau de liberdade horizontal por cada piso. O vetor de deslocamentos terá os elementos ordenados da seguinte maneira:

$$u_p = \left\{ \begin{array}{c} v_1 \\ \phi_1 \\ v_2 \\ \phi_2 \\ \vdots \\ v_m \\ \phi_m \\ \hline v_{m+1} \\ \phi_{m+1} \\ \vdots \\ v_{2m} \\ \phi_{2m} \\ \hline u_s \\ u_i \end{array} \right\} \quad (2.27)$$

v = deslocamento vertical

ϕ = giro

u_s = deslocamento horizontal do piso superior

u_i = deslocamento horizontal do piso inferior.

De acordo com o agrupamento dado aos graus de liberdade, a matriz de rigidez de um piso se pode considerar particionada da seguinte maneira:

$$K_p = \begin{bmatrix} K_{SS} & | & K_{SI} & | & K_{SH} \\ (2mx2m) & | & (2mx2m) & | & (2mx2) \\ \hline K_{IS} & | & K_{II} & | & K_{IH} \\ (2mx2m) & | & (2mx2m) & | & (2mx2) \\ \hline K_{HS} & | & K_{HI} & | & K_{HH} \\ (2x2m) & | & (2x2m) & | & (2x2) \end{bmatrix} \quad (2.28)$$

A matriz de rigidez anterior se forma mediante as matrizes de rigidez de vigas e pilares, que são calculadas pelo método geral que se descreve na seção seguinte.

2.1.4.3 - Matriz de rigidez de um elemento uniaxial

Suponhamos um elemento uniaxial prismático, como se indica na figura 2.6, que está conectado aos nós mediante tramos infinitamente rígidos, de comprimentos D_1 e D_2 , formando ângulos α_1 e α_2 com o eixo longitudinal do elemento. Suponhamos, também, que o elemento forma um ângulo α com a horizontal. Então, a matriz de rigidez do elemento está dada por

$$K_e = \underline{a}^T k \underline{a} \quad (2.29)$$

com

$$\underline{a} = \begin{bmatrix} -\frac{\text{sen}\alpha}{l} & \frac{\text{cos}\alpha}{l} & 1 + \frac{D_1 \cos\alpha_1}{l} & \frac{\text{sen}\alpha}{l} & -\frac{\text{cos}\alpha}{l} & \frac{D_2 \cos\alpha_2}{l} \\ -\frac{\text{sen}\alpha}{l} & \frac{\text{cos}\alpha}{l} & \frac{D_1 \cos\alpha_1}{l} & \frac{\text{sen}\alpha}{l} & -\frac{\text{cos}\alpha}{l} & 1 + \frac{D_2 \cos\alpha_2}{l} \\ \text{cos}\alpha & \text{sen}\alpha & D_1 \text{sen}\alpha_1 & -\text{cos}\alpha & -\text{sen}\alpha & D_2 \text{sen}\alpha_2 \end{bmatrix}$$

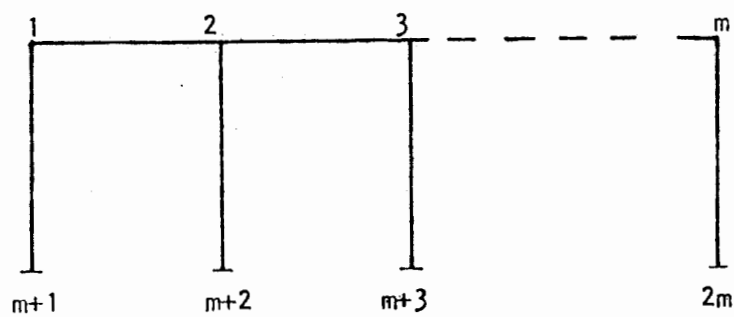


Figura 2.5

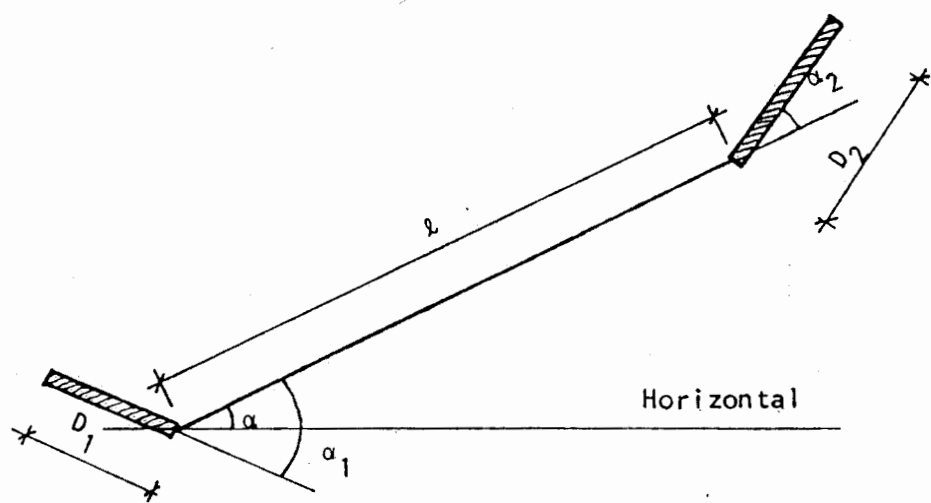


Figura 2.6

$$k = \frac{2EI}{(1+2\beta)} \begin{bmatrix} 2+\beta & 1-\beta & 0 \\ 1-\beta & 2+\beta & 0 \\ 0 & 0 & \frac{A(1+2\beta)}{2I} \end{bmatrix}$$

$$\beta = \frac{6EI}{GS^2} \quad \text{com } S = A/X = \text{área de corte}$$

X = fator de forma

Em nosso caso particular, se usará $\alpha = 0$ para as vigas e $\alpha = \pi/2$ para os pilares.

2.2 - DEFINIÇÃO DAS FORÇAS EXTERNAS

2.2.0 - Introdução

A análise do edifício deve ser feita para diferentes estados de cargas, que serão uma combinação de certas solicitações básicas, como o peso próprio, as sobrecargas e as forças laterais de vento ou sismo. Visando a uma melhor eficiência na execução do programa e a uma melhor distribuição na entrada de dados, foi a análise dividida em três fases. Em cada uma delas, leva-se em conta um dos seguintes tipos de cargas: cargas verticais, cargas devidas ao vento e cargas de sismo.

2.2.1 - Cargas verticais

2.2.1.1 - Peso próprio e carga accidental

A análise para as cargas verticais é feita para três vetores de cargas. O primeiro, constituído pelas cargas devidas ao peso próprio, e os outros dois, constituídos pelas sobrecargas agindo alternadamente sobre distintas partes da estrutura.

Leva-se em consideração o peso próprio de quatro elementos distintos, a saber, dos pilares, das vigas, das lajes e das paredes atuando diretamente sobre as vigas. O peso próprio dos pilares atua na forma de cargas concentradas sobre os nós do pórtico; sua determinação é simples e se processa de forma automática, bastando multiplicar o seu volume pelo peso específico. O peso próprio das vigas atua na forma de carga uniformemente distribuída so-

bre a mesma; sua determinação também é automática, multiplicando-se o peso específico pela área transversal da viga. As paredes atuam sobre as vigas também sob a forma de cargas uniformemente distribuídas, cujos valores são fornecidos pelo usuário. O peso próprio das lajes atua sobre as vigas na forma de carga distribuída, com uma distribuição bi-triangular ou trapezoidal. Aqui, os dados fornecidos pelo usuário se restringem às taxas de cargas permanentes uniformemente distribuídas sobre a superfície de cada laje. Convém destacar que essas taxas correspondem à soma dos pesos da própria laje, bem como os dos seus revestimentos, tanto na face superior, como na inferior.

Assim, na forma mais geral, cada viga terá um estado de cargas devido ao peso próprio como o mostrado na figura 2.7: ℓ é o comprimento da viga; q_1 é a taxa de carga distribuída devida à soma dos pesos próprios da viga e da parede sobre ela apoiada. As grandezas q_2 , q_3 , a e b definem o diagrama de cargas resultante da reação da laje localizada em um lado da viga; q_4 , q_5 , c e d definem o diagrama resultante do descarregamento da laje localizada no outro lado. Veremos, mais adiante, como se determinam esses diagramas, bem como o cálculo das forças de engastamento perfeito referente a elas.

A sobrecarga é levada em consideração por meio de dois estados de carga. O primeiro é constituído pelas cargas acidentais atuando somente sobre determinadas lajes; o segundo, formado pelas cargas acidentais atuando sobre as lajes que não foram consideradas no primeiro. Tal artifício é usado, tendo em vista o fato de que a sobrecarga normalmente não atua de modo uniforme sobre toda a estrutura e isto pode acarretar estados mais desfavoráveis de solicitações, particularmente nos momentos fletores dos pilares. A figura 2.8 ilustra este fato. Nela, o primeiro carregamento estaria constituído pelas sobrecargas atuando sobre as lajes sombreadas e o segundo pelas sobrecargas nas lajes em branco. Isso acarretaria, para o pórtico plano que está situado sobre o eixo Y, os estados de carga da figura 2.9, evidenciando que os momentos fletores no pilar central seriam maiores em cada carregamento isolado do que se os dois estados estivessem superpostos.

As sobrecargas, atuando nas lajes, acarretam nas vigas uma distribuição de cargas com o mesmo formato daquela originada pelo peso próprio das lajes.

O programa oferece a possibilidade de o usuário poder especificar quais as lajes que ele deseja que sejam levadas em consideração para cada estado de cargas acidentais. É necessária, também, a especificação, para cada

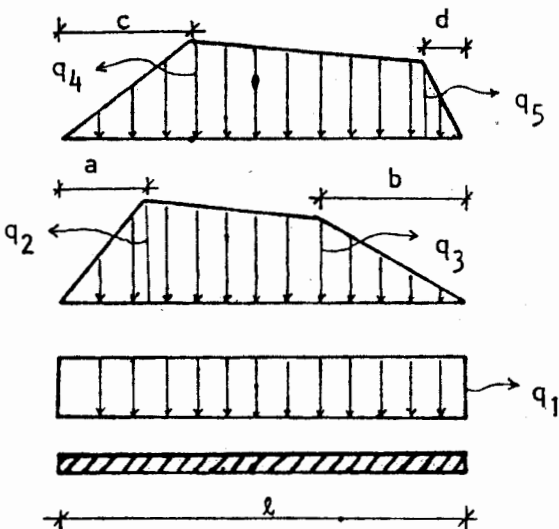


Figura 2.7

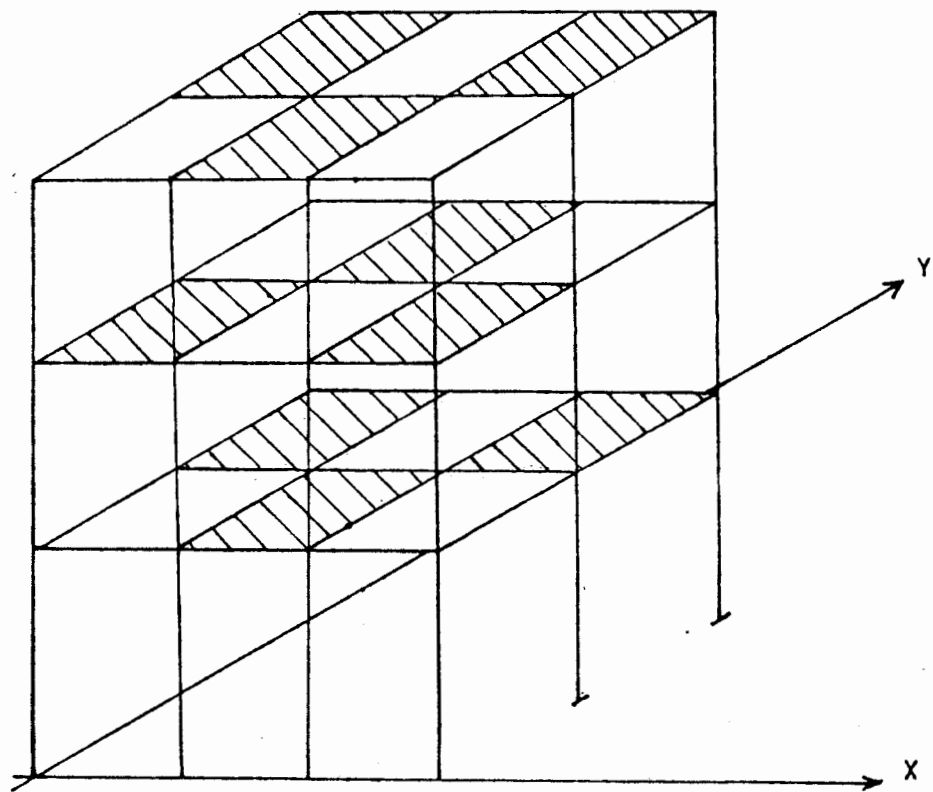


Figura 2.8

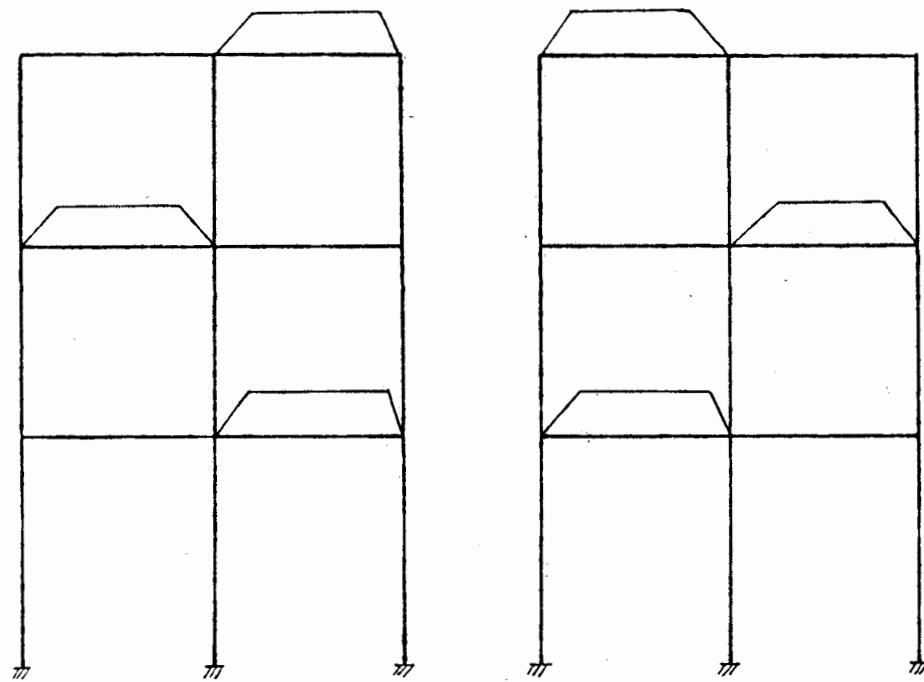


Figura 2.9

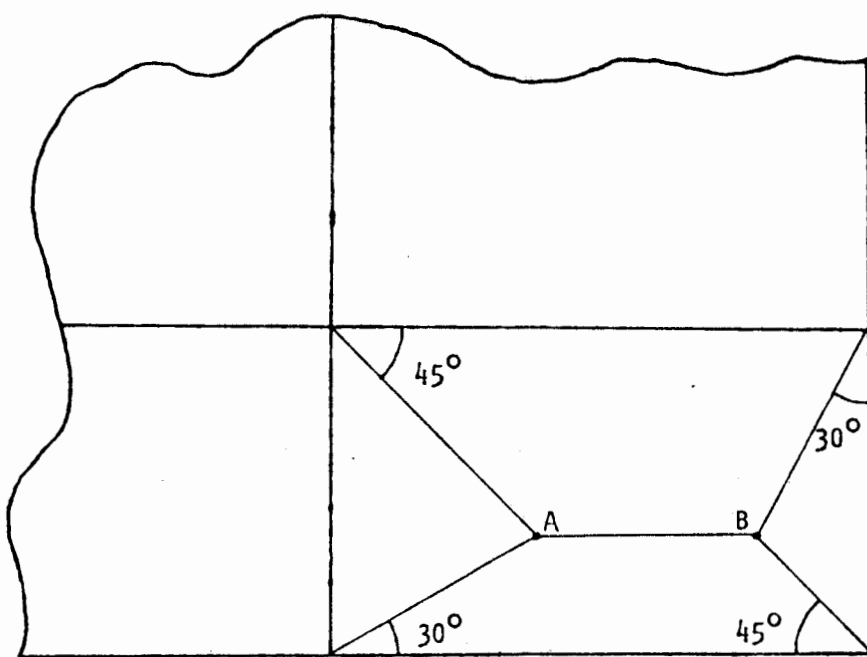


Figura 2.10

laje, da taxa de sobrecarga, uniformemente distribuída sobre a superfície da mesma.

2.2.1.2 - Reações das lajes

No presente trabalho, leva-se em consideração lajes retangulares, com todos os lados apoiados em vigas. Os diagramas das cargas das vigas resultantes das reações das lajes são o resultado da multiplicação da taxa de carga distribuída sobre a superfície da laje pela área de influência que cabe à viga em questão.

A seguir, descreve-se o critério de distribuição da superfície total de uma laje em áreas de influência correspondentes às vigas que a apoiam. Em cada canto da laje faz-se passar uma reta com um ângulo de 45° em relação aos lados, caso estes tenham a mesma vinculação (apoio-apoio ou engaste-engaste); se um dos lados tiver continuidade e o outro não, aquele ângulo será de 30° em relação ao lado onde não há continuidade. Este procedimento é recomendado pelo ítem 3.3.2.9 da NB-1.

A figura 2.10 mostra uma região de um campo de lajes. A laje que a parece em destaque tem continuidade para cima e para a esquerda, somente. Assim, os ângulos de inclinação das retas emergentes dos cantos são os indicados na figura; 45° , nos cantos onde há igualdade de condições de vinculações dos lados concorrentes: superior esquerdo (engaste-engaste) e inferior direito (apoio-apoio); 30° em relação aos lados sem continuidade, nos demais cantos. Estas retas determinam pontos de interseção (A e B, na figura). Unindo-se estes pontos por uma nova reta, obtém-se a delimitação definitiva das áreas de influência correspondentes a cada viga. Resultam, portanto, dois lados (direito e esquerdo) com diagrama bi-triangular de reação e os outros dois (superior e inferior) com diagrama trapezoidal.

Sejam as lajes mostradas nas figuras 2.11 e 2.12. Ambas estão caracterizadas por uma dimensão ℓ_x dos lados paralelos ao eixo X e uma dimensão ℓ_y dos lados paralelos ao eixo Y. Em ambas deu-se a mesma numeração para os lados e para as retas emergentes de cada um dos cantos (r_1, r_2, r_3 e r_4). Em ambas denominaram-se de (x_1, y_1) e (x_2, y_2) as coordenadas dos pontos de interseção que determinam uma nova reta que completa a delimitação das áreas de influência. Porém, na primeira laje, os lados com diagrama trapezoidal serão o 1 e o 3, enquanto que, na segunda, serão o 2 e o 4, acontecendo o inverso em relação aos lados com diagrama bi-triangular.

Vejamos qual o critério a usar para a definição de quais pares de retas determinam os pontos (x_1, y_1) e (x_2, y_2) . Seja cada uma das retas r_i , de

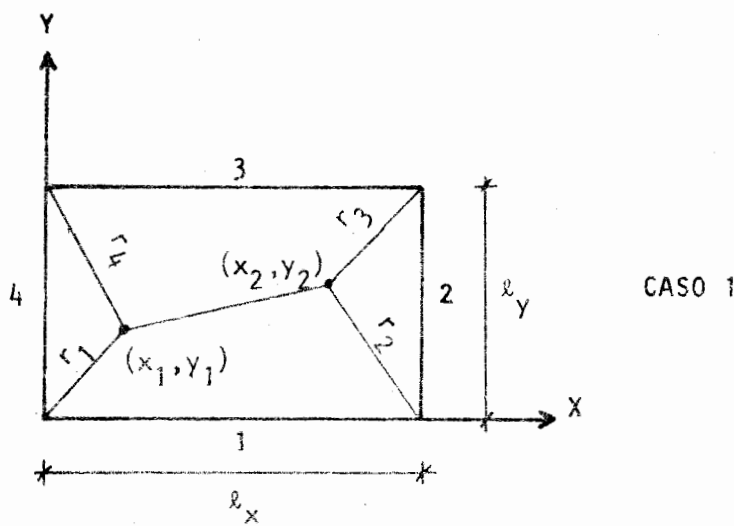


Figura 2.11

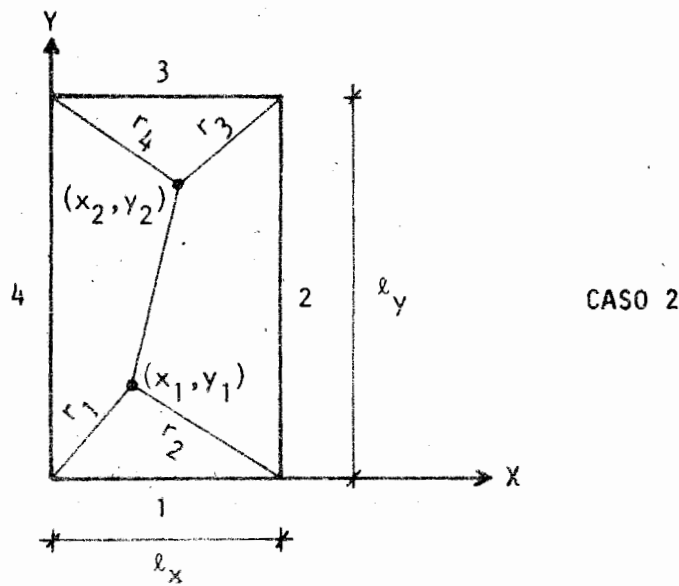


Figura 2.12

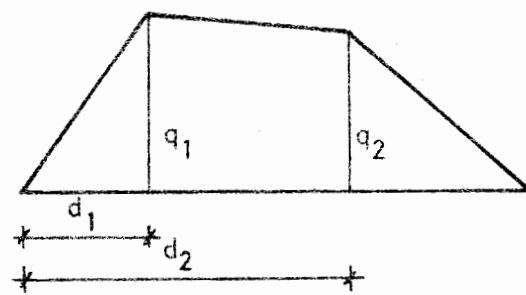


Figura 2.13

finidas pela equação

$$y = a_i x + b_i \quad (2.30)$$

$$\text{onde } a_i = \tan \theta_i \quad (2.31)$$

com θ_i = ângulo de r_i com o eixo X

Os b_i estão assim definidos

$$\left. \begin{array}{l} b_1 = 0 \\ b_2 = -a_2 l_x \\ b_3 = l_y - a_3 l_x \\ b_4 = l_y \end{array} \right\} \quad (2.32)$$

Substituindo (2.31) e (2.32) em (2.30), teremos, para a laje do caso 1

$$\left. \begin{array}{l} x_1 = \frac{b_4}{a_1 - a_4} \\ x_2 = \frac{b_2 - b_3}{a_3 - a_2} \end{array} \right\} \quad (2.33)$$

A condição necessária para que o conjunto das retas r_1, r_2, r_3, r_4 e a determinada por (x_1, y_1) e (x_2, y_2) delimita, efetivamente, as áreas de influência para cada viga, é que $x_1 < x_2$ ou

$$\frac{b_4}{a_1 - a_4} < \frac{b_2 - b_3}{a_3 - a_2} \quad (\text{caso 1}) \quad (2.34)$$

Assim, resulta que

$$\left. \begin{array}{l} y_1 = \frac{a_1 b_4}{a_1 - a_4} \\ y_2 = \frac{a_3 b_2 - a_2 b_3}{a_3 - a_2} \end{array} \right\} \quad (2.35)$$

Consequentemente, teremos para cada lado da laje um diagrama de reações do tipo mostrado na figura 2.13, com os parâmetros determinados por

$$\left. \begin{array}{l} \text{lado 1} - d_1 = x_1 \\ q_1 = y_1 \\ d_2 = x_2 \\ q_2 = y_2 \end{array} \right\} \quad (2.36)$$

$$\left. \begin{array}{l} \text{lado 2} - d_1 = d_2 = y_2 \\ q_1 = q_2 = l_x - x_2 \end{array} \right\} \quad (2.37)$$

$$\left. \begin{array}{l} \text{lado 3} - d_1 = x_1 \\ q_1 = l_y - y_1 \\ d_2 = x_2 \\ q_2 = l_y - y_2 \end{array} \right\} \quad (2.38)$$

$$\left. \begin{array}{l} \text{lado 4} - d_1 = d_2 = y_1 \\ q_1 = q_2 = x_1 \end{array} \right\} \quad (2.39)$$

Se a condição (2.34) não for satisfeita, caímos no caso 2, onde (x_1, y_1) é determinado por r_1 e r_2 , e (x_2, y_2) por r_3 e r_4 . Resultam, então, as seguintes expressões:

$$\left. \begin{array}{l} x_1 = \frac{b_2}{a_1 - a_2} \\ y_1 = \frac{a_1 b_2}{a_1 - a_2} \\ x_2 = \frac{b_4 - b_3}{a_3 - a_4} \\ y_2 = \frac{a_3 b_4 - a_4 b_3}{a_3 - a_4} \end{array} \right\} \quad (2.40)$$

Os diagramas de reações terão os seus parâmetros dados por

$$\left. \begin{array}{l} \text{lado 1} - d_1 = d_2 = x_1 \\ q_1 = q_2 = y_1 \end{array} \right\} \quad (2.41)$$

$$\left. \begin{array}{l} \text{lado 2} - d_1 = y_1 \\ q_1 = l_x - x_1 \\ d_2 = y_2 \\ q_2 = l_x - x_2 \end{array} \right\} \quad (2.42)$$

$$\left. \begin{array}{l} \text{lado 3} - d_1 = d_2 = x_2 \\ q_1 = q_2 = l_y - y_2 \end{array} \right\} \quad (2.43)$$

$$\left. \begin{array}{l} \text{lado 4} - d_1 = y_1 \\ q_1 = x_1 \\ d_2 = y_2 \\ q_2 = x_2 \end{array} \right\} \quad (2.44)$$

Conveniente destacar que os valores de q_1 e q_2 , aqui determinados, são

devidos a taxas unitárias de carga nas lajes. Na montagem dos vetores de cargas, estes valores são multiplicados pela taxa de carga uniformemente distribuída efetivamente atuante na laje.

2.2.1.3 - Forças de engastamento perfeito

As vigas têm os dois tipos gerais de carga distribuída, mostrados na figura 2.14. Para a carga uniformemente distribuída, temos as seguintes forças de engastamento perfeito

$$\left. \begin{aligned} M_1 &= -M_2 = \frac{q\ell^2}{12} \\ V_1 &= V_2 = \frac{q\ell}{2} \end{aligned} \right\} \quad (2.45)$$

Quanto à carga com distribuição trapezoidal, para efeitos de simplificação, podemos decompô-la, conforme está mostrado na figura 2.15. Assim, basta resolver o caso mostrado na figura 2.16, para o qual as forças de engastamento perfeito são

$$\left. \begin{aligned} M_1 &= \frac{qs^3}{60\ell^2} (5b + 2s) \\ M_2 &= -\frac{qs^2}{60\ell^2} (10b\ell + 3s^2) \\ V_1 &= \frac{qs^2}{6\ell} \left(1 + \frac{bs}{2\ell^2} - \frac{b}{\ell} - \frac{s^2}{10\ell^2} \right) \\ V_2 &= \frac{qs}{2} \left(1 - \frac{s}{3\ell} - \frac{bs^2}{6\ell^3} + \frac{bs}{3\ell^2} + \frac{s^3}{30\ell^3} \right) \end{aligned} \right\} \quad (2.46)$$

Por semelhança de triângulos, determinam-se as grandezas p_1 , p_2 e p_3 da figura 2.15

$$p_1 = \frac{q_1 \ell}{d_1} \quad (2.47-a)$$

$$p_2 = \frac{(d_2 q_1 - d_1 q_2)(\ell - d_1)}{d_1(d_2 - d_1)} \quad (2.47-b)$$

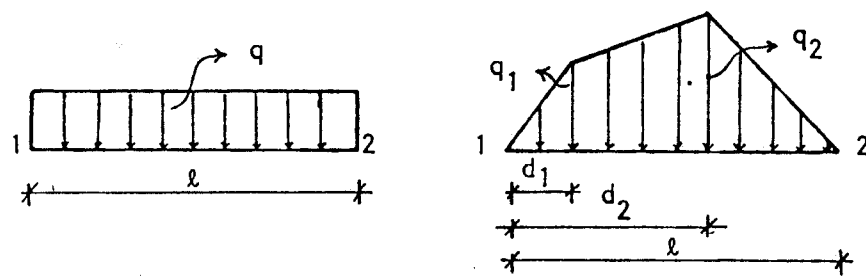


Figura 2.14

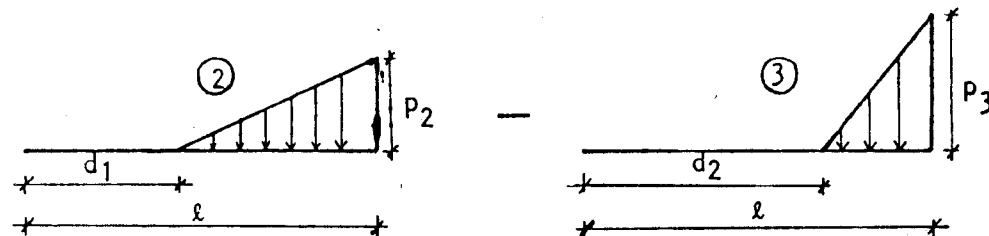
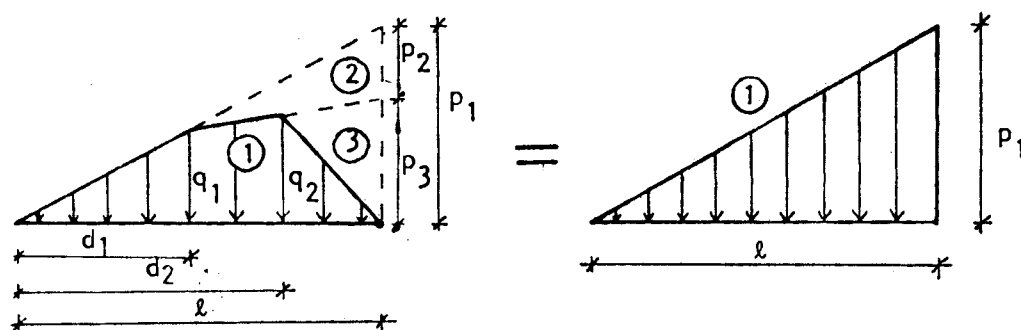


Figura 2.15

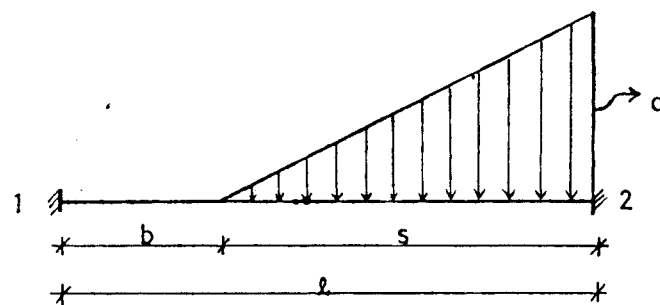


Figura 2.16

$$p_3 = \frac{q_1(d_2 - l) + q_2(l - d_1)}{d_2 - d_1} \quad (2.47-c)$$

2.2.2 - Cargas devidas ao vento

Já que, no presente trabalho, os edifícios são de planta retangular, a análise para o vento é feita com o mesmo soprando segundo as duas direções principais. Teremos, portanto, dois vetores de cargas, cada um contendo as forças atuantes na estrutura devidas ao vento soprando de cada uma das direções já citadas.

Essas cargas atuam na forma de forças horizontais, concentradas ao nível dos pisos, e a sua determinação é feita com base na NB-599 - Forças devidas ao vento em edificações. Segundo o ítem 2.2.3.5 da referida norma, "a força do vento sobre um elemento plano de edificação de área A atua em direção perpendicular ao mesmo, sendo dada por

$$F = (c_e - c_i) q A . " \quad (2.48)$$

onde c_e = coeficiente de forma externo

c_i = coeficiente de forma interno

q = pressão dinâmica do vento

A pressão dinâmica q é dada por

$$q = v_k^2 / 16 \quad (2.49)$$

onde v_k é a velocidade característica do vento, dada por

$$v_k = v_o s_1 s_2 s_3 \quad (2.50)$$

v_o é a velocidade básica do vento, definida como "a velocidade de uma rajada de 3 segundos excedida na média uma vez em 50 anos, a 10 metros acima do terreno, em campo aberto e plano". s_1 é o fator topográfico, que leva em consideração as grandes variações locais na superfície do terreno. s_2 é o fator

que considera o efeito combinado da rugosidade do terreno, da variação da velocidade do vento com a altura acima do terreno e das dimensões da edificação. S_3 é o fator estatístico, baseado em conceitos estatísticos, e considera o grau de segurança requerido e a vida útil da edificação. Segundo a norma, "o nível de probabilidade (0,63) e a vida útil (50 anos) adotados são considerados adequados para edificações normais destinadas a moradias, hotéis, escritórios etc. Para estas edificações, o coeficiente S_3 vale 1,0".

No presente trabalho, despreza-se o coeficiente C_i , dada a dificuldade de se determinar a ocorrência de aberturas nas faces da edificação. Assim, substituindo (2.50) e (2.49) em (2.48), ficamos com a seguinte expressão para a força F , atuando sobre um determinado piso:

$$F = \frac{(V_o S_1 S_2)^2}{16} C_e A \quad (2.51)$$

A velocidade V_o e o fator S_1 , bem como os fatores S_2 para cada piso (dependentes da altura sobre o terreno) são extraídos da NB-599 e fornecidos pelo usuário ao programa. Já o coeficiente C_e é automaticamente extraído da tabela 4 da norma. A área A é também determinada de forma automática, tomada como a semi-soma das alturas dos pisos inferior e superior ao piso em questão, multiplicada pela largura da face contra a qual incide o vento. Convém salientar que a força F é o somatório da componente de pressão exercida sobre a face a barlavento mais a componente de sucção exercida sobre a face a sotavento; isto, porque, na determinação de C_e , leva-se em conta o efeito combinado do vento sobre ambas as faces. Devido à geometria das edificações objetos do presente trabalho, as forças de sucção nas faces paralelas à direção do vento cancelam-se mutuamente.

2.2.3 - Cargas de sismo

A maioria das normas de projeto estrutural especificam que a análise para o sismo deve ser realizada independentemente para duas direções ortogonais. Assim, considerando a geometria das edificações neste trabalho, temos dois estados de cargas devidas ao sismo, cada um deles levando em conta o sismo em uma das direções principais, ou seja, segundo X ou Y.

Na seção 2.1.3, temos o desenvolvimento do processo de obtenção das forças dinâmicas de sismo. Inicialmente, tem-se a determinação das frequências e modos de vibrar e, a seguir, para cada modo e para cada uma das

direções de sismo, a determinação dos fatores de participação, das massas equivalentes, do esforço de corte basal e, finalmente, do vetor de forças dinâmicas; essas forças dinâmicas, a exemplo do vento, são também horizontais e concentradas ao nível dos pisos.

2.3 - RESUMO

A fim de dar uma visão geral do assunto, passa-se a relacionar, de forma resumida, os diversos estados de carga, com as respectivas análises. Primeiramente, tem-se uma análise independente para cada um dos seguintes estados de carga:

- peso próprio;
- sobrecarga, primeiro estado;
- sobrecarga, segundo estado;
- vento soprando na direção X;
- vento soprando na direção Y.

A cada uma das análises acima relacionadas, corresponderá um estado de deformações e esforços. Já para o sismo atuando na direção X, teremos uma análise independente para cada modo de vibração, embora o estado de esforços e deformações obtido seja único. Para o sismo na direção Y, ocorre o mesmo.

Para exemplificar, suponhamos que se obtivessem 5 modos na análise sísmica. Para estas condições, seriam requeridas 15 análises independentes.

CAPÍTULO III

O DIMENSIONAMENTO

3.1 - SOLICITAÇÕES DE CÁLCULO

Uma vez feita a análise da estrutura e, por conseguinte, determinadas as solicitações nos seus membros, para cada um dos carregamentos previstos, deve-se, antes de levar a termo a tarefa do dimensionamento propriamente dito, determinar qual o estado mais desfavorável de solicitações. Em outras palavras, deve-se, para cada viga ou pilar, e para cada tipo de solicitação (força normal, cortante, momento fletor), pesquisar qual a combinação de estados de carga que leva à situação mais desfavorável. É, portanto, a busca das chamadas solicitações de cálculo.

Para uma maior clareza na abordagem do problema das combinações de carregamentos, definem-se a seguir as variáveis envolvidas. Sejam γ_{fg} , γ_{fq} , γ_{fw} e γ_{feq} os coeficientes de majoração das solicitações oriundas, respectivamente, das ações do peso próprio, das cargas acidentais verticais, de vento e de sismo. Sejam, ainda:

- s_g - esforço solicitante devido às cargas permanentes;
- s_{q1} - idem, cargas acidentais, primeiro estado;
- s_{q2} - idem, cargas acidentais, segundo estado;
- s_{wx} - idem, cargas de vento na direção X;
- s_{wy} - idem, cargas de vento na direção Y;
- s_{eqx} - idem, cargas de sismo na direção X;
- s_{eqy} - idem, cargas de sismo na direção Y.

No presente trabalho, supõe-se que vento e sismo nunca ocorram simultaneamente. Uma característica fundamental desses dois tipos de carga é a alternância do sentido no qual atuam. As

sim, como são dois tipos de carga, cada um com duas possíveis direções e em ambos os sentidos, resulta que vento e sismo fornecem oito possíveis valores para cada solicitação de cada membro da estrutura. Resta, portanto, combinar cada uma destas oito parcelas com as devidas às cargas verticais.

Veremos que são distintas as combinações a serem levadas em conta para a determinação da situação mais desfavorável dos diversos tipos de solicitações. Relativamente ao esforço normal nos pilares, deve ser determinada a pior situação de compressão e verificada a possibilidade de tração. Para o caso de compressão, é intuitivo que a situação mais desfavorável ocorre com todas as cargas verticais atuando, tanto as permanentes como as acidentais. Assim, a máxima compressão se obtém combinando o efeito das cargas verticais com o de cada uma das oito alternativas proporcionadas por vento e sismo. Estão apresentadas abaixo estas combinações:

$$\gamma_{fg} S_g + \gamma_{fq} (S_{q1} + S_{q2}) \pm \left\{ \begin{array}{l} \gamma_{fw} S_{wx} \\ \gamma_{fw} S_{wy} \\ \gamma_{feq} S_{eqx} \\ \gamma_{feq} S_{eqy} \end{array} \right. \quad (3.1)$$

Seguindo o mesmo raciocínio, veremos que, para a determinação da mínima compressão (que pode vir a ser a máxima tração), temos que levar em conta a estrutura com um mínimo de cargas verticais. Isto corresponderia à atuação somente do peso próprio como carga vertical. Assim, o esforço em questão se obteria combinando as alternativas das cargas horizontais com a ação do peso próprio. Convencionando como positiva a situação usual de compressão e como negativa a de tração, teremos que o valor mais desfavorável de tração é o mínimo obtido das combinações a seguir apresentadas:

$$\gamma_{fg} s_g \pm \left\{ \begin{array}{l} \gamma_{fw} s_{wx} \\ \gamma_{fw} s_{wy} \\ \gamma_{feq} s_{eqx} \\ \gamma_{feq} s_{eqy} \end{array} \right\} \quad (3.2)$$

Na seção 2.2.1.1, vimos como a atuação alternada dos dois estados de cargas acidentais verticais pode acarretar estados desfavoráveis de momento fletor e força cortante nos pilares. Para esses dois tipos de solicitações atuando nos pilares, a pesquisa da pior situação é mais exaustiva, envolvendo nada menos que trinta e duas combinações, a saber:

$$\left. \begin{array}{l} \gamma_{fg} s_g \\ \gamma_{fg} s_g + \gamma_{fq} s_{q1} \\ \gamma_{fg} s_g + \gamma_{fq} s_{q2} \\ \gamma_{fg} s_g + \gamma_{fq} (s_{q1} + s_{q2}) \end{array} \right\} \pm \left\{ \begin{array}{l} \gamma_{fw} s_{wx} \\ \gamma_{fw} s_{wy} \\ \gamma_{feq} s_{eqx} \\ \gamma_{feq} s_{eqy} \end{array} \right\} \quad (3.3)$$

Cumpre destacar aqui que o momento fletor de cálculo, a ser considerado para o dimensionamento dos pilares, ainda não é o determinado por (3.3); o valor aqui obtido corresponde apenas à excentricidade inicial, à qual devem ser adicionadas as excentricidades acidental e de segunda ordem, por meio de processo descrito na seção 3.3.

Quanto ao fletor e ao cortante das vigas, também existe a possibilidade de se atingir estados mais desfavoráveis devido à atuação alternada dos dois estados de cargas acidentais verticais. Assim, a exemplo do cortante e do fletor dos pilares, o esquema de pesquisa a ser usado é o (3.3), o mais completo de todos.

Convém destacar que os coeficientes de majoração, variáveis para cada tipo de carga, variam também para as diversas combinações que estiverem sendo levadas em conta.

Uma vez tendo a seção de concreto e as solicitações de cálculo, falta agora determinar que áreas de armadura são necessárias para que a referida seção se mantenha em segurança. O processo de obtenção dessas armaduras é o que veremos nas próximas seções.

3.2 - ARMADURA LONGITUDINAL DAS VIGAS

As vigas estão submetidas a flexão e corte, desprezando-se as forças axiais. Serão consideradas cinco seções em cada viga, tomando seu comprimento total, incluindo a penetração nos pilares (ver figura 3.1).

Para a determinação das armaduras, será tomada como base a teoria apresentada no livro Hormigón Armado, de Montoya, Meseguer e Morán, que corresponde ao método parábola-retângulo, especificado pela NB-1. Serão consideradas somente seções retangulares.

Inicialmente, seja o momento reduzido de cálculo μ , dado por

$$\mu = \frac{M_d}{b d^2 f_{cd}} \quad (3.4)$$

onde M_d = momento de cálculo;

b = largura da seção;

d = altura útil;

f_{cd} = resistência de cálculo do concreto à compressão.

A taxa mecânica de armadura w está dada por

$$w = \frac{A_s f_y d}{b h f_{cd}} \quad (3.5)$$

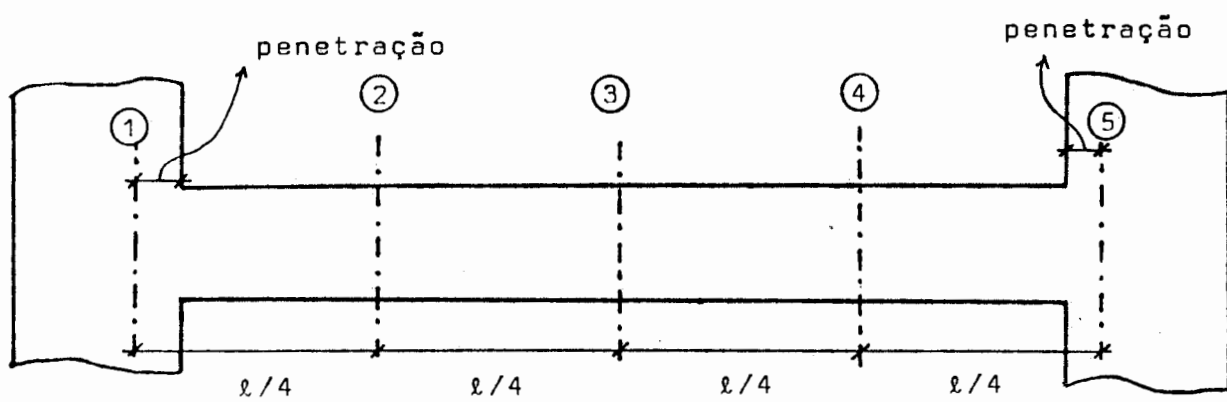


Figura 3.1

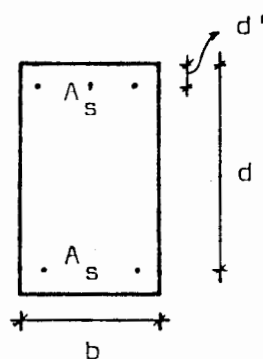


Figura 3.2

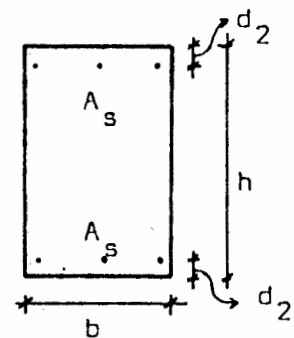


Figura 3.3

onde A_s = área da armadura de tração;

f_{yd} = resistência de cálculo do aço à fluência;

h = altura total da seção.

Suponhamos que o aço de mais alta resistência à fluência seja o com $f_{yk} = 5000 \text{ kg/cm}^2$ e seja do tipo A. Considerando o limite a partir do qual a seção seria superarmada, teríamos que o valor limite da profundidade do eixo neutro x_{lim} seria

$$x_{lim} = 0,628 d \quad (3.6)$$

Ainda para as mencionadas condições, teríamos os valores limites de μ e de ω assim determinados:

$$\mu_{lim} = \frac{M_{dlim}}{b d^2 f_{cd}} = 0,319 \quad (3.7)$$

$$\omega_{lim} = \frac{A_{slim} f_{yd}}{b d f_{cd}} = 0,432 \quad (3.8)$$

Para efeitos de computação, a tabela universal, que fornece a taxa mecânica ω em função do momento reduzido μ , foi transformada na seguinte função analítica, que dá um erro máximo da ordem de 0,5 %:

$$\omega = 1,05112\mu - 0,10684\mu^2 + 3,3561\mu^3 \quad (3.9)$$

A NB-1, no ítem 6.3.1, estabelece o valor mínimo da área da seção transversal da armadura longitudinal de tração. Esse valor é de 0,25 % de bh , quando a armadura for constituída de barras de aço CA-25 ou CA-32 e de 0,15 % se a armadura for de aço CA-40, CA-50 ou CA-60.

Uma vez determinado μ e verificado ser o seu valor inferior ao limite, obtém-se ω por meio de (3.9) e a percentagem de armadura ρ , por meio da expressão seguinte:

Ex: $M_d = 750 \text{ kNm}$

$$f_k = 150 \text{ N/mm}^2 \rightarrow f_{cd} = 107,14 \text{ N/mm}^2$$

$$f_yk = 5000 \text{ N/mm}^2 \rightarrow f_{yk} = 4348 \text{ N/mm}^2$$

$$b = 15 \text{ mm}$$

$$d = 27 \quad d' = 15$$

$$h = 30$$

$$\mu = \frac{75000}{15 \times 27^2 \times 107,14} = 0,064 < \mu = 0,319$$

$$w = 1,05112\mu - 0,10684\mu^2 + 3,3561\mu^3 = 0,677$$

$$\rho = w \frac{f_{cd}}{f_{yd}} = 0,167\% > \rho_{min} = 0,15\% \quad \rho' = 0$$

$$As = \rho b d = 0,68 \text{ mm}^2$$

$$k_0 = \frac{b d^2}{M_d} = 145,8$$

$$k_3 = 0,3438$$

$$As = 0,955 \text{ mm}^2$$

$$\rho = \omega f_{cd} / f_{yd} \quad (3.10)$$

A seguir, verifica-se se ρ é maior que o mínimo antes referido e procede-se a sua multiplicação pela área bd , obtendo-se a área da armadura longitudinal desejada.

No entanto, se o valor limite de μ é ultrapassado, há necessidade de se dispor armadura de compressão. Nesse caso, as taxas mecânicas ω e ω' , respectivamente das armaduras de tração e de compressão, são dadas por (ver figura 3.2):

$$\omega' = \frac{\mu - 0,319}{1 - d'/d} \quad (3.11)$$

$$\omega = \omega' + 0,432 \quad (3.12)$$

A partir daqui, o processo de cálculo é análogo ao caso de armadura simples.

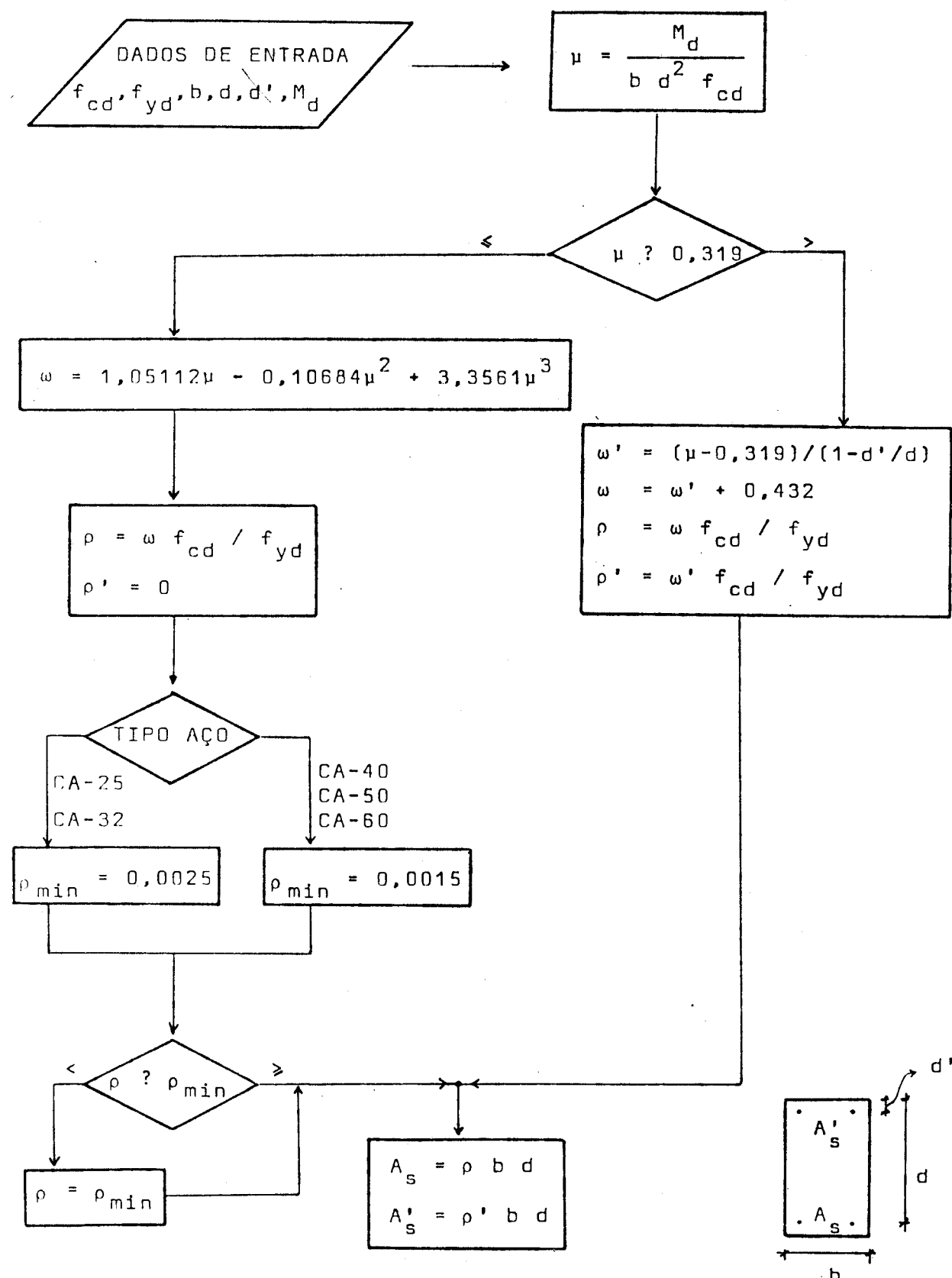
A determinação das áreas de armadura, de que trata a presente seção, é apresentada de forma esquemática no blocograma 3.1.

3.3 - ARMADURA LONGITUDINAL DOS PILARES

Neste trabalho, serão levados em consideração somente pilares de seção retangular e com índice de esbeltez $\lambda \leq 80$.

Na situação mais geral, um pilar pode estar submetido a uma flexo-compressão ou flexo-tração oblíqua, ou seja, com a força normal atuando fora dos eixos principais da seção transversal.

Serão dimensionadas armaduras iguais nos quatro lados da seção, para que se possa substituir a flexo-compressão oblíqua por uma flexo-compressão normal equivalente. Isto está estabelecido no item 4.1.1.3A da NB-1, conforme segue: "no caso de



Blocodiagrama 3.1

seção retangular com armadura igual nos quatro lados, permite-se substituir a flexo-compressão oblíqua por uma flexo-compressão normal equivalente, em uma direção principal, com a excentricidade $(e_x + \beta e_y h/b)$ em que e_x e e_y são as projeções de e sobre os eixos principais, considerando-se direção x aquela em que

$$e_x \geq e_y h/b$$
.

h e b são, respectivamente, as dimensões da seção nas direções x e y. β é um coeficiente obtido de uma tabela de dupla entrada, constante da norma. Deve-se entrar com os valores do esforço normal reduzido $v = F_d/A_c f_{cd}$ e da taxa mecânica de armadura (estimada) $w = A_s f_y d/A_c f_{cd}$. F_d é a força normal, A_c a área de concreto e A_s a de aço. Este processo de obtenção de β , sob o ponto de vista computacional, é inconveniente. Por isso, adota-se o processo indicado por Montoya, que consiste em extrair o valor de β da seguinte tabela, onde só se entra com o esforço normal reduzido v :

v	0	0,1	0,2	0,3	0,4	0,5	0,6	0,7	0,8	0,9	1,0	1,1	$\geq 1,2$
β	0,6	0,7	0,8	0,9	0,9	0,8	0,7	0,6	0,6	0,6	0,5	0,5	0,4

Se, no dimensionamento subsequente, resultar um valor da taxa mecânica w superior a 0,6, será necessário efetuar um novo cálculo, incrementando em 0,1 o valor de β ; se, no entanto, o valor resultante de w for inferior a 0,2, o valor de β será diminuído de 0,1.

Com o problema assim posto, cabe agora a determinação das excentricidades e_x e e_y . Para que sejam atendidas as exigências da NB-1, põem-se e_x e e_y na seguinte forma:

$$e_x = e_{ix} + e_{ax} + e_{2x} \quad (3.13)$$

$$e_y = e_{iy} + e_{ay} + e_{2y} \quad (3.14)$$

e_{ix} e e_{iy} são as excentricidades iniciais, isto é, a-

quelas devidas aos momentos fletores resultantes da análise da estrutura. Para a determinação de e_{ix} , tomam-se os momentos na direção x atuantes nas extremidades inferior e superior do pilar, verifica-se qual o de maior valor absoluto e faz-se a sua divisão pela força normal; a determinação de e_{iy} é análoga.

e_{ax} e e_{ay} são as chamadas excentricidades acidentais, segundo a norma, "para levar em conta a incerteza da localização da força normal e o possível desvio do eixo da peça durante a construção, em relação à posição prevista no projeto". Para uma determinada direção, considera-se a respectiva excentricidade acidental igual a $h/30$, não menor que 2 cm, sendo h a maior dimensão da seção na referida direção.

Caso o índice de esbeltez $\lambda \leq 40$, não se levam em conta e_{2x} e e_{2y} ; o dimensionamento é feito para a seção sujeita à força normal F_d e o momento fletor $M_d = F_d(e_x + \beta e_y h/b)$, com e_x e e_y determinados segundo (3.13) e (3.14). Mais adiante, trataremos do formulário utilizado para tal dimensionamento.

No entanto, quando temos flexo-compressão e $40 < \lambda \leq 80$, levam-se em conta as excentricidades e_{2x} e e_{2y} , devidas aos momentos de segunda ordem. Para isso, fazemos uso do processo simplificado descrito no ítem 4.1.1.3C da NB-1. Temos que, numa determinada direção (x ou y), o valor da excentricidade devida ao efeito de segunda ordem é

$$e_2 = \frac{\ell_e^2}{10r} \quad (3.15)$$

onde ℓ_e = comprimento de flambagem;

$\frac{1}{r}$ = curvatura do eixo da peça, determinado por

$$\frac{1}{r} = \frac{0,0035 + f_{yd}/E_s}{(v + 0,5)h} \quad (3.16)$$

com $v + 0,5 \geq 1$

$$\text{onde } v = \frac{F_d}{A_c f_{cd}}$$

E_s = módulo de deformação longitudinal do aço;

h = lado, paralelo à excentricidade considerada, do retângulo circunscrito à seção.

Numa determinada direção, caso as excentricidades iniciais nas extremidades do pilar forem de sentidos opostos, a norma permite uma redução da excentricidade inicial a levar em conta na determinação do momento de cálculo. Assim, sejam e_{iA} e e_{iB} as referidas excentricidades, onde e_{iA} é suposta sempre positiva e maior que $|e_{iB}|$, e e_{iB} negativa. A excentricidade e_i será igual ao maior dos seguintes valores:

a) $0,6e_{iA} + 0,4e_{iB}$

b) $0,4e_{iA}$

c) $e_{iA} - e_2$

Passa-se a tratar do formulário utilizado para a obtenção das armaduras, uma vez determinados a força normal e o momento fletor de cálculo. São usadas as fórmulas aproximadas para seções com armaduras simétricas, constantes da seção 15.6 do livro Hormigón Armado, referido anteriormente.

Na figura 3.3, temos uma seção de concreto de altura h e base b , com armaduras simétricas de área A_s . As seguintes notações são referidas a aquela figura:

$$\begin{aligned} \mu &= \frac{M_d}{b h^2 f_{cd}} & \lambda &= 0,5 - d_2/h \\ v &= \frac{F_d}{b h f_{cd}} & v_c &= 0,85 - v \end{aligned} \quad \left. \right\} \quad (3.17)$$

A taxa mecânica de armadura w é dada por:

$$\left. \begin{array}{ll}
 \text{para } v \leq 0 & \omega = \mu/\lambda - v \\
 \text{para } 0 < v \leq 0,85 & \omega = (\mu - 0,55vv_c)/\lambda\beta \\
 \text{para } v > 0,85 & \omega = \mu/0,93\lambda - v_c
 \end{array} \right\} \quad (3.18)$$

O coeficiente β é determinado conforme segue:

$$\left. \begin{array}{ll}
 \text{para } v \leq 0,4 & \beta = 1 \\
 \text{para } 0,4 < v \leq 0,85 & \beta = 1,68 - 2,43v + 1,82v^2 \\
 \text{para } v > 0,85 & \beta = 0,93
 \end{array} \right\} \quad (3.19)$$

Uma vez obtido ω , pode-se determinar a área de armadura A_s , igual para os quatro lados da seção:

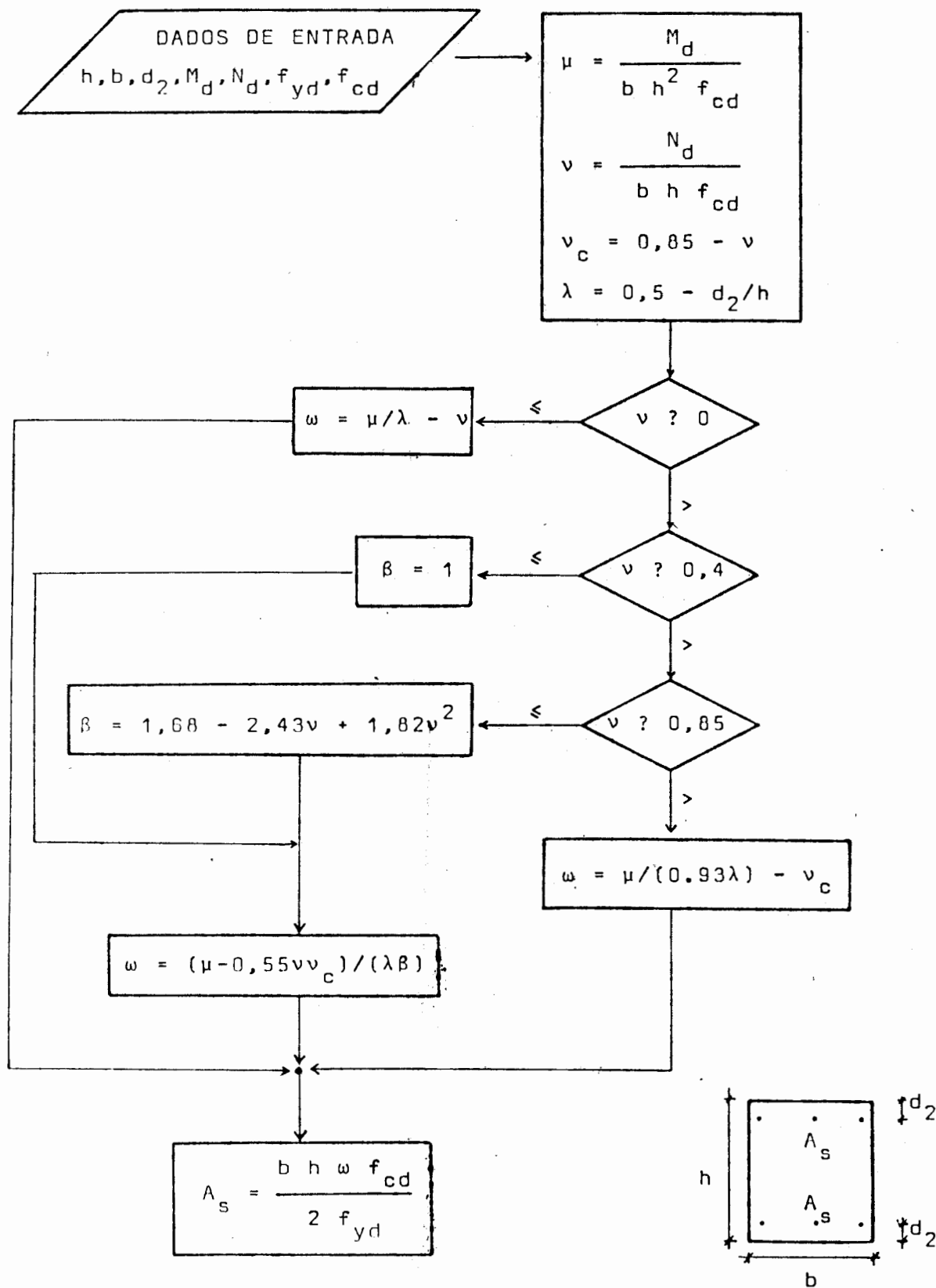
$$A_s = \frac{b h \omega f_{cd}}{2 f_{yd}} \quad (3.20)$$

A seguir, verifica-se se a área total, igual a $4 A_s$, atende ao mínimo exigido pela norma, que é de 0,8 % de bh .

O blocodiagrama 3.2 mostra de forma esquemática a aplicação do formulário aqui apresentado.

3.4 - ARMADURA TRANSVERSAL

No dimensionamento das peças estruturais ao esforço cortante, temos a considerar, inicialmente, a verificação do valor de cálculo da tensão convencional de cisalhamento no concreto (τ_{wd}) não ultrapassar o limite especificado pela norma. τ_{wd} está dado por



Blocodiagrama 3.2

$$\tau_{wd} = \frac{V_d}{b_w d} \quad (3.21)$$

onde V_d = força cortante de cálculo;

b_w = base da seção;

d = altura útil da seção.

τ_{wd} não pode ultrapassar o valor último τ_{wu} fixado pelo ítem 5.3.1.2b, que se transcreve a seguir:

"Para peças lineares com $b_w \leq 5h$, se toda a armadura transversal calculada for inclinada a 45° sobre o eixo da peça:

$$\tau_{wu} = 0,30 f_{cd} \leq 55 \text{ kgf/cm}^2.$$

Para peças lineares com $b_w \leq 5h$, nos outros casos:

$$\tau_{wu} = 0,25 f_{cd} \leq 45 \text{ kgf/cm}^2.$$

Para lajes e peças lineares com $b_w > 5h$, os coeficientes 0,30 e 0,25 serão multiplicados por um dos seguintes fatores, mantidos os valores absolutos (h em cm):

$$0,5 \quad \text{se } h \leq 15$$

$$\frac{1}{3} + \frac{h}{90} \quad \text{se } 15 < h < 60$$

$$1 \quad \text{se } h \geq 60.$$

Considerar-se-á o esforço oriundo da força cortante sendo resistido só por estribos. Conforme determina o ítem 4.1.4.2 da NB-1, "a armadura transversal das peças lineares e das lajes, para resistir aos esforços oriundos da força cortante, deverá ser calculada pela teoria clássica de Mörsch, com base

na seguinte tensão (em kgf/cm²):

$$\tau_d = 1,15\tau_{wd} - \tau_c \geq 0 \quad (3.22)$$

com

$$\tau_c = \psi_1 \sqrt{f_{ck}} \quad \text{na flexão simples}$$

$$\tau_c = \psi_1 \sqrt{f_{ck}} (1 + 3\sigma_{cmd}/f_{ck}) \quad \text{na flexo-compressão}$$

$$\tau_c = \psi_1 \sqrt{f_{ck}} (1 - 9\sigma_{td}/f_{ck}) \quad \text{na flexo-tração}$$

com f_{ck} em kgf/cm²

onde $\sigma_{cmd} = \frac{N_{cd}}{A_c} = \text{tensão média de compressão, de cálculo}$

$$\sigma_{td} = \frac{N_{td}}{A_c} = \text{tensão média de tração, de cálculo.}$$

O valor de ψ_1 se obtém de:

$$\left. \begin{array}{ll} \psi_1 = 0,24 & \text{para } \rho_1 \leq 0,001 \\ \psi_1 = 15\rho_1 + 0,225 & \text{para } 0,001 < \rho_1 < 0,015 \\ \psi_1 = 0,45 & \text{para } \rho_1 \geq 0,015 \end{array} \right\} \quad (3.23)$$

No presente trabalho, adota-se para ρ_1 a menor taxa de armadura longitudinal de tração na própria seção que se está dimensionando. Procede-se desta maneira, pelo fato de não se dispor do valor da armadura no trecho de comprimento $2h$ a partir da face do apoio.

Uma vez obtido τ_d por meio de (3.22), pode-se determinar a taxa geométrica de armadura transversal ρ_w :

$$\rho_w = \tau_d / \sigma_{st} \quad (3.24)$$

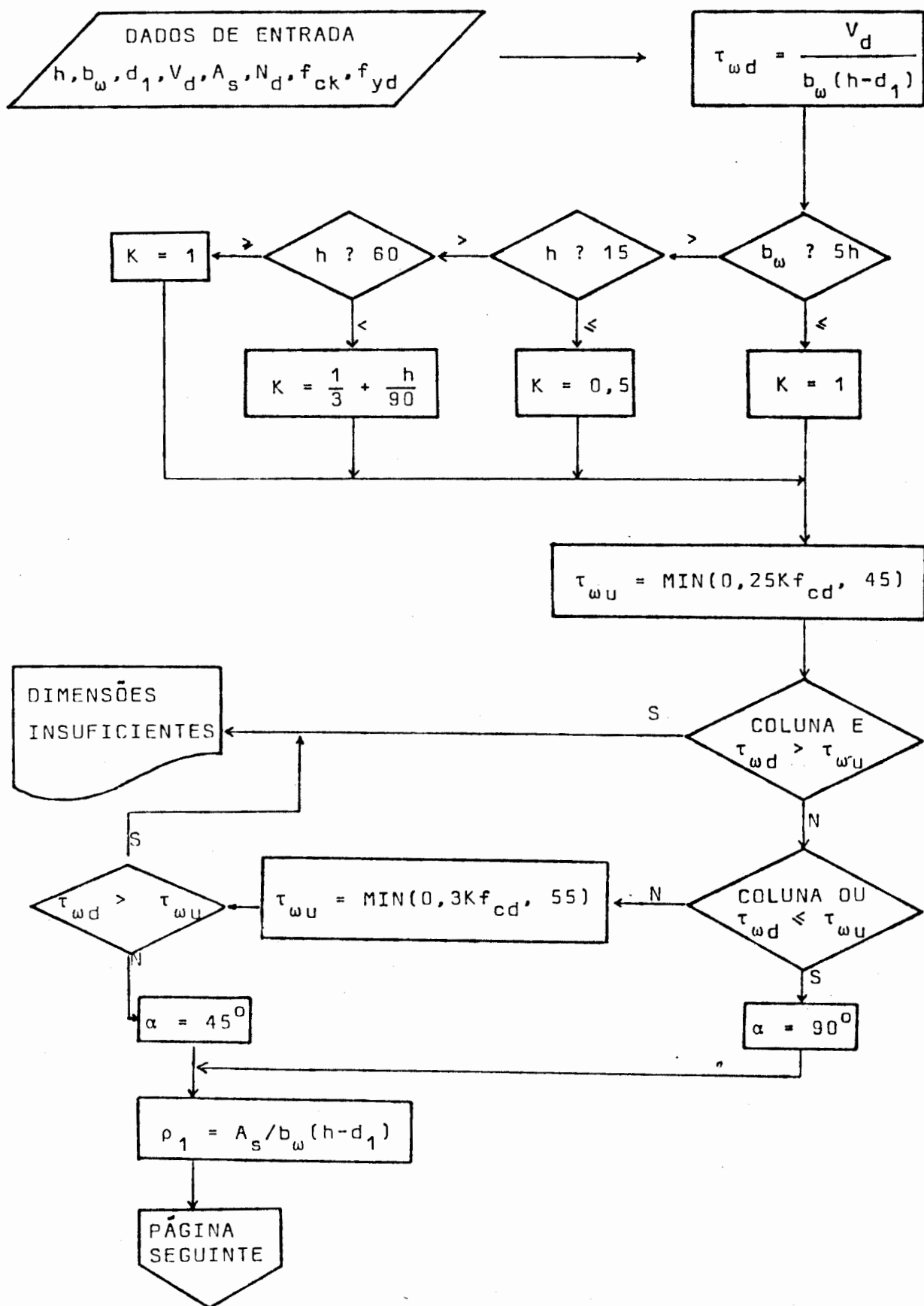
onde $\sigma_{st} = \min(f_{yd}, 4350 \text{ kgf/cm}^2)$.

Finalmente, obtém-se a área da seção transversal dos estribos A_{sw} por metro de viga ou pilar:

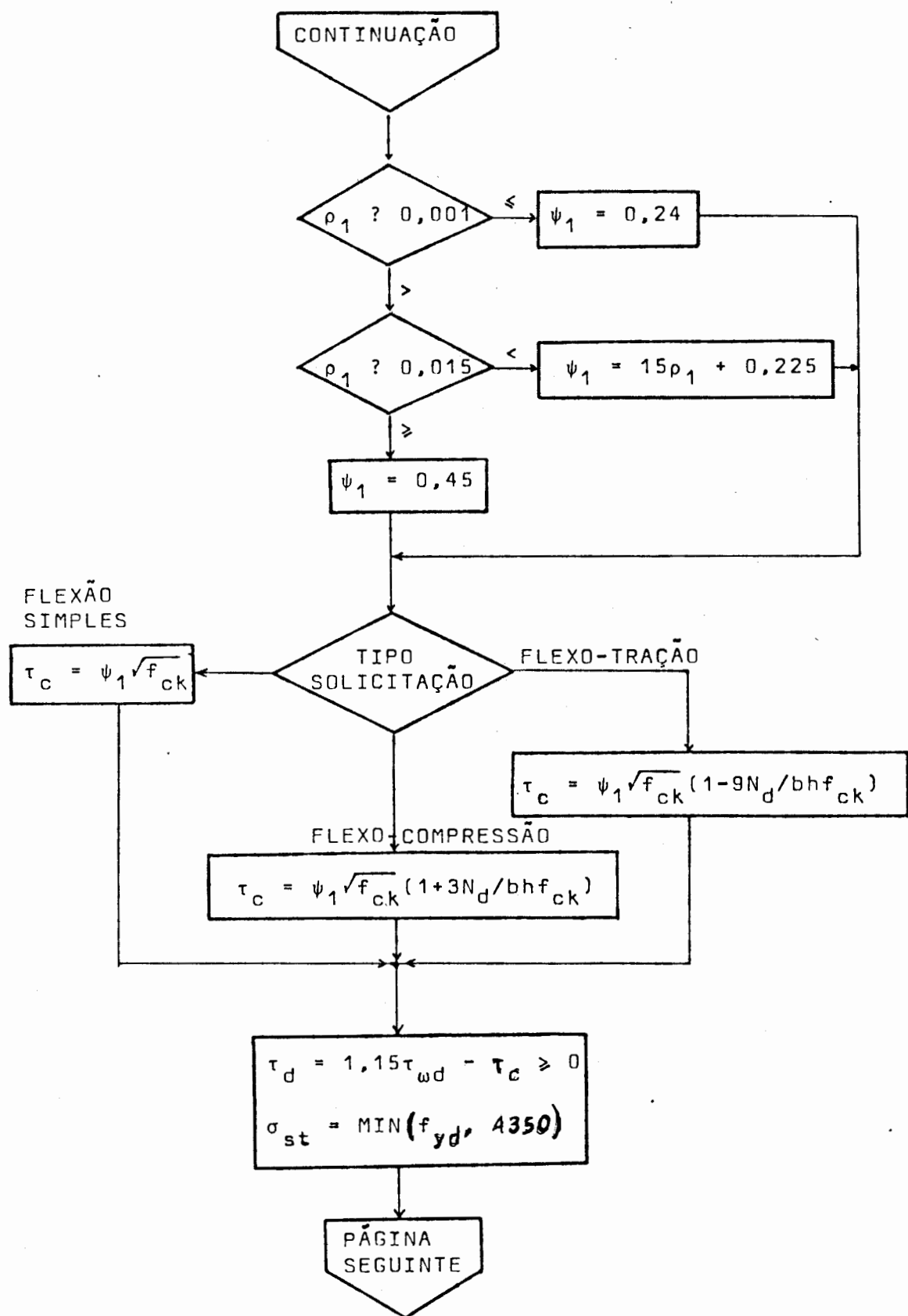
$$\left. \begin{array}{l} A_{sw} = 100 \rho_w b_w / \sqrt{2} \quad \text{no caso de vigas com} \\ \qquad \qquad \qquad \text{estribos inclinados} \\ \qquad \qquad \qquad \text{a } 45^\circ \\ A_{sw} = 100 \rho_w b_w \quad \text{nos demais casos} \end{array} \right\} \quad (3.25)$$

No caso de vigas, deve-se verificar se o A_{sw} obtido é maior que o mínimo exigido pela norma, que é de 0,25 % de $b_w s$ sena ($\alpha =$ ângulo entre os estribos e o eixo da peça) para aços CA-25 e CA-32 ou 0,14 % para aços CA-40, CA-50 e CA-60, não se tomindo para b_w valores maiores que d .

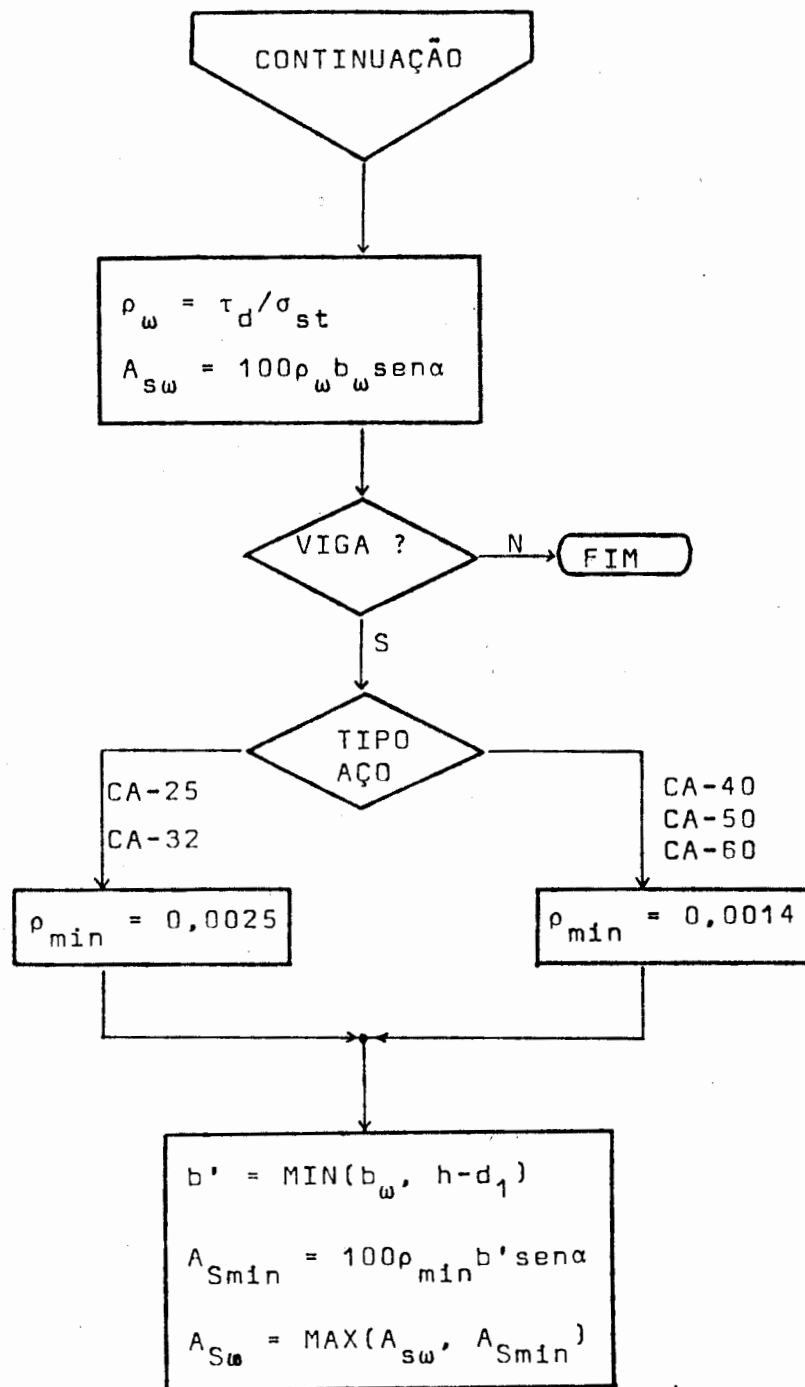
A aplicação do formulário apresentado nesta seção está esquematizada no blocodiagrama 3.3.



Blocodiagrama 3.3 - 1º parte



Blocodiagrama 3.3 - 2º parte



Blocodiagrama 3.3 - 3º parte

CAPÍTULO IV

DESENVOLVIMENTO DO PROGRAMA

4.1 - PROGRAMA PRINCIPAL

O programa principal é bastante simples. Nele, temos a leitura e impressão do título, leitura do número de pisos (N), do número de eixos na direção X (NEX), do número de eixos na direção Y (NEY), do número de classes de pilares (NCC) e do número de classes de vigas (NCV). Após, realiza-se a chamada da subrotina PROADE que utiliza como parâmetros de entrada os dados já lidos.

4.2 - SUBROTINA PROADE

4.2.1 - Estrutura geral

Na subrotina PROADE, desenvolvem-se os principais passos do processo de projeto de edificações. Inicialmente, tem-se a leitura e a impressão da quase totalidade dos dados fornecidos pelo usuário. Em seguida, realiza-se um pré-processamento destes dados, com a finalidade de torná-los aptos a serem utilizados pelo programa de análise, a subrotina SATE. Depois da chamada da SATE, temos um pós-processamento dos resultados por ela fornecidos, a fim de que os mesmos sejam usados pelas rotinas de dimensionamento. Finalmente, à medida que estas subrotinas são executadas, são impressos os resultados finais os quais constam dos estados de solicitações mais desfavoráveis e das respectivas áreas de armadura.

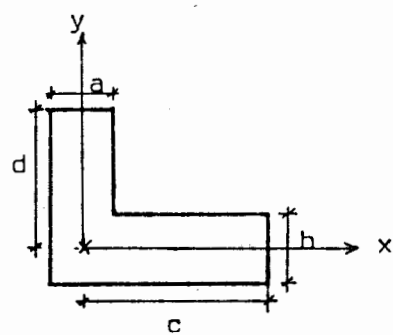
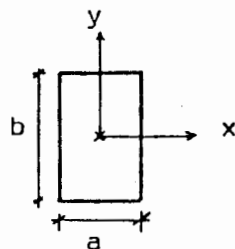
4.2.2 - Entrada de dados

Quanto aos dados, temos, inicialmente, um conjunto de

informações gerais sendo lidas, como sejam, módulo de elasticidade standard (ES), módulo de corte standard (GS), peso específico do concreto (GAMA), resistência de cálculo do concreto à compressão (FCO), resistência de cálculo do aço à tração (FYD), coeficientes de segurança das solicitações devidas à carga permanente (GFP), às cargas acidentais (GFA), à carga de vento (GFV) e à carga de sismo (GFS), alturas dos pisos (HP), espessura de laje standard (ESPS), carga permanente standard (CPS), carga acidental standard (CAS), distâncias dos eixos auxiliares x_1 ao eixo global X (XLX) e distâncias dos eixos auxiliares y_1 ao eixo global Y (YLY).

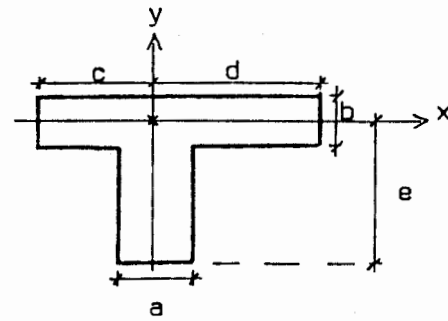
A seguir, ocorre a leitura das propriedades de cada classe de pilares e de cada classe de vigas. As propriedades podem ser fornecidas segundo os tipos de seções, constantes na seguinte tabela:

TIPOS	CARACTERÍSTICAS
1	se fornecem diretamente os valores de A (área da seção transversal), I (momento de inércia), S (área de corte), E (módulo de elasticidade) e G (módulo de corte).
2	retangular
3	ele



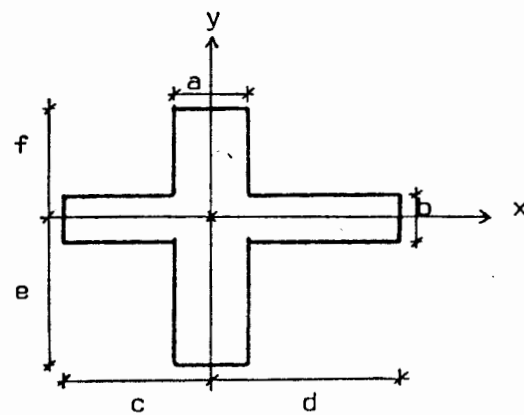
4

tê



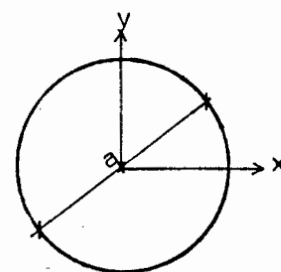
5

cruz



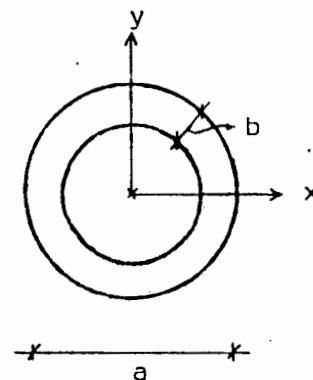
6

circular cheia



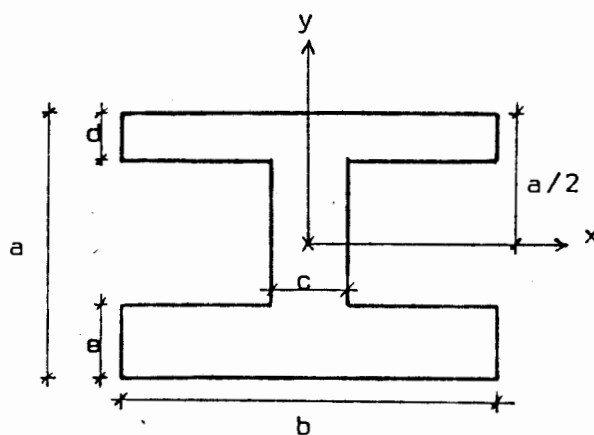
7

circular vasada



8

H



Observação: o ponto assinalado com x denomina-se ponto característico da seção.

Portanto, uma determinada classe de vigas ou pilares fica definida por um máximo de oito parâmetros reais e um indicador de tipo de seção. Para os pilares, os oito parâmetros reais são armazenados na matriz PROCOL que contém NCC linhas e 8 colunas; os indicadores de tipo de seção são armazenados no vetor ITIC, que contém NCC elementos. O armazenamento para as vigas é análogo, denominando-se de PROVIG a matriz dos parâmetros reais e constituída de NCV linhas e 8 colunas; os indicadores de tipo de seção estão armazenados no vetor ITIV, constituído de NCV elementos. Assim, dependendo do tipo de seção, os diferentes parâmetros ficam armazenados segundo o esquema apresentado abaixo:

TIPO	ITIC ou ITIV	PROCOL ou PROVIG							
		1	2	3	4	5	6	7	8
Geral	1	A	I	S				E	G
Retangular	2	a	b					E	G
Ele	3	a	b	c	d			E	G
Tê	4	a	b	c	d	e		E	G
Cruz	5	a	b	c	d	e	f	E	G
Circ. cheia	6	a						E	G
Circ. vazada	7	a	b					E	G
H	8	a	b	c	d	e		E	G

Caso não sejam fornecidos E e G, adotam-se os valores standard ES e GS.

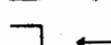
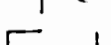
Após o fornecimento das propriedades, temos a leitura dos dados de geometria e carregamento por piso. Assim, indo piso por piso, fornecem-se, pela ordem, a localização dos pilares a localização das vigas na direção X, as cargas uniformes das vigas na direção X, a localização das vigas na direção Y, cargas uniformes das vigas na direção Y, a localização, as propriedades e as cargas das lajes.

Supõe-se que a seção de um pilar pode mudar de um piso para outro, porém não dentro de um piso. Os pilares estão localizados nas proximidades dos cruzamentos de eixos auxiliares. Sua posição exata deve definir-se mediante três parâmetros:

- a distância do ponto característico da seção ao eixo x_i correspondente ao ponto de cruzamento de eixos;
- idem, com respeito ao eixo y_j ;
- o ângulo de que está girada a seção com respeito ao eixo x_i .

No exemplo da figura 4.1, pode-se ver a disposição de todos estes parâmetros.

Para definir cada pilar em cada piso, são necessários seis parâmetros: três inteiros (classe, eixo x_i e eixo y_j) mais três reais (DX, DY e BETA). Como se tem restringido o trabalho a geometrias retangulares, é preferível usar um indicador de posição em lugar do ângulo BETA, conforme segue:

Indicador	Posição
0	
1	
2	
3	

Assim, são usados quatro inteiros e dois reais. Os inteiros, armazenados na matriz NPOSC, são a classe, o eixo x_i , o eixo y_j e o indicador de posição; os reais, armazenados na matriz POSC, são as distâncias DX e DY.

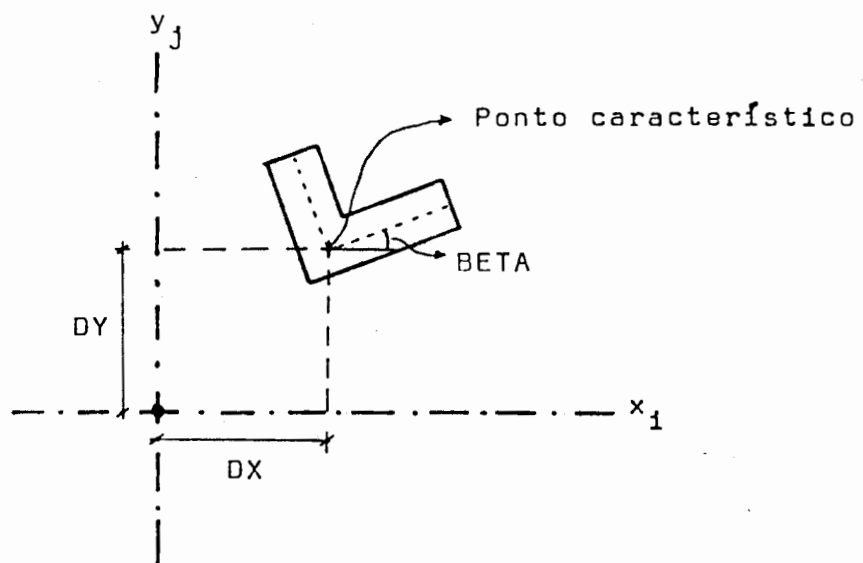


Figura 4.1

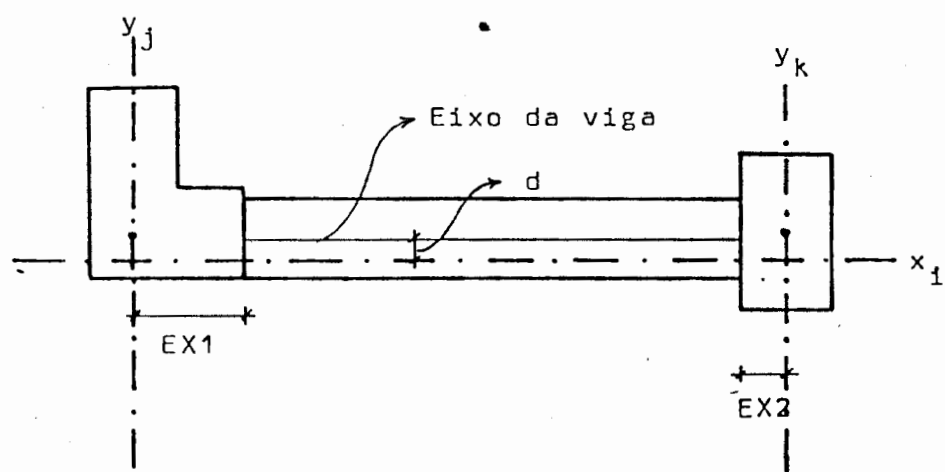


Figura 4.2

A localização típica de uma viga na direção X se mostra na figura 4.2. Os dados necessários para especificar tal viga são:

- classe;
- eixo x_i ;
- eixos y_j e y_k ;
- posição;
- distância de seu eixo ao eixo x_i (d);
- altura sobre o piso;
- comprimento dos tramos rígidos (EX1 e EX2).

A altura sobre o piso se refere à altura do ponto característico da seção sobre o plano hipotético que se definiu como piso.

Para uma viga na direção Y, valem as mesmas considerações, apenas trocando X por Y. O armazenamento dos dados referentes às vigas na direção X é feito em duas matrizes. A primeira, NPOSVX, conterá a classe, o eixo x_i , o eixo y_j , o eixo y_k e o indicador de posição (igual ao dos pilares); a segunda, POSVX, conterá a distância d ao eixo x_i , a altura e os tramos rígidos EX1 e EX2.

As vigas na direção Y têm armazenamento semelhante. A matriz NPOSVY conterá a classe, o eixo y_i , o eixo x_j , o eixo x_k e o indicador de posição; na matriz POSVY estarão contidos a altura, a distância d ao eixo y_i e os tramos rígidos EY1 e EY2.

As cargas uniformes das vigas, tanto na direção X como na Y, referem-se às taxas de carga uniformemente distribuída, resultantes de paredes diretamente sobre elas apoiadas. Essas cargas são armazenadas respectivamente nas matrizes CAVIGX e CAVIGY.

A figura 4.3 mostra uma laje qualquer L_i . Vemos que, para localizá-la, basta especificar os quatro eixos auxiliares que a contornam, ou seja, x_{j1} , x_{j2} , y_{k1} e y_{k2} . Para a determinação das condições de contorno (necessárias para a determinação das reações), foram os lados da laje numerados como consta na figura. Assim, fornece-se quatro índices especificando as condições de contorno. Se o lado i tem continuidade, tem-se $ind_i = 1$, caso contrário $ind_i = 0$. Deve-se ainda especificar se esta laje

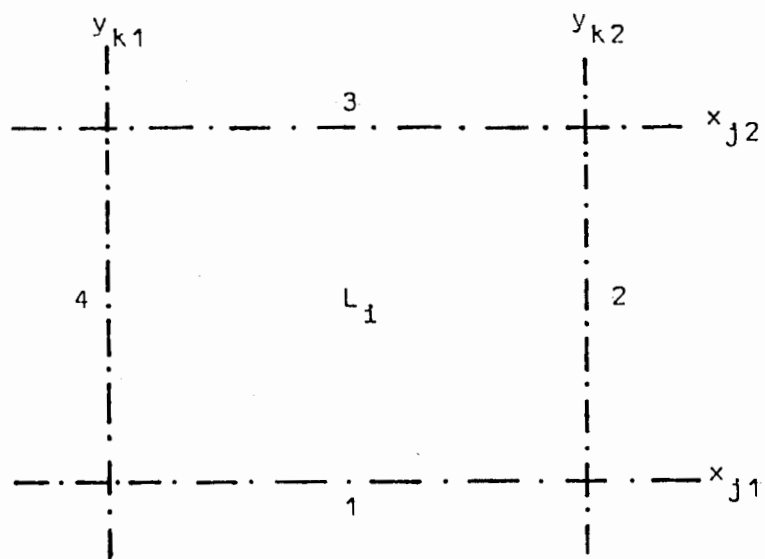


Figura 4.3

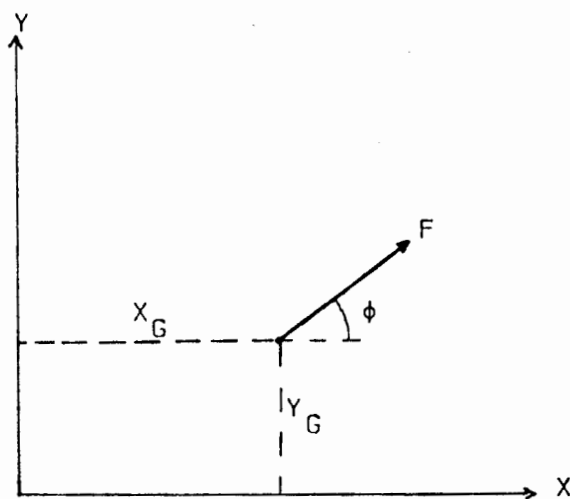


Figura 4.4

terá a sua carga acidental atuando no primeiro ou segundo estado de cargas acidentais (ver seção 2.2.1.1). Para isso, existe o indicador ind_5 que o usuário deve fornecer igual a um se a laje contribui para o primeiro estado de cargas e igual a zero se para o segundo. Estes dados sobre as lajes são inteiros e armazem-se numa matriz denominada LAJES. Finalmente, deve-se fornecer ainda, para cada laje, sua espessura e as taxas de carga sobre ela atuantes, a acidental e a permanente. Esses dados são reais e vão armazenados na matriz PROLAJ.

O programa oferece uma facilidade para o usuário, no caso em que um piso é idêntico a outro, cujas propriedades tenham sido dadas. Essa identidade pode ser em qualquer dos ítems aqui explanados: localização e cargas de vigas, pilares e lajes. Como exemplo, suponhamos que a localização e propriedades dos pilares do segundo piso fossem idênticas às do primeiro. Então, uma vez fornecidos os dados referentes ao primeiro piso, bastaria uma instrução especificando que os pilares do segundo piso são idênticos aos do primeiro. Esta instrução consta de um simples número, em um cartão, especificando de qual piso são idênticos os pilares. Porém, se somente mudarem as propriedades de alguns pilares, é possível especificar que o piso é igual a outro e logo indicar só os pilares que mudam.

Outro aspecto a salientar é a maneira pela qual são os dados fornecidos. O usuário dispõe da comodidade de perfurá-los em formato livre nos cartões. Assim, para os diversos ítems a serem especificados em um determinado cartão, é obrigatório apenas que se observe a sequência para eles estabelecida; a sua localização dentro do cartão é livre, bastando separá-los por um ou mais brancos. Outra facilidade é que se os últimos ítems da citada sequência forem nulos, não se necessita especificá-los. Isto toma importância quando se perfuram dados para estruturas sem levar em consideração tramos rígidos, ou onde os pontos característicos das seções dos pilares coincidem com os pontos de cruzamento dos eixos auxiliares, etc.

4.2.3 - Pré-processamento dos dados

Uma vez obtidas as informações de geometria e propriedades da estrutura fundamental, devem essas informações serem

transformadas na forma que as usa a rotina de análise SATE. Esse pré-processamento consta basicamente da transferência dos dados armazenados em matrizes ordenadas por pisos para matrizes ordenadas por pórticos e que podem, desta maneira, servir como parâmetros de entrada para a SATE.

Nesta etapa, realiza-se também o cálculo das áreas de influência das lajes sobre as vigas que as contornam, no que concerne ao descarregamento do peso próprio e da carga acidental. Uma vez determinadas, essas áreas podem ser encaradas como os próprios diagramas de carga para as vigas, devido a uma taxa unitária atuante na laje.

Assim, indo de piso em piso e, dentro de cada um deles percorrendo laje por laje, determinam-se as referidas áreas. Então, para cada viga que a circunda, armazena-se nas matrizes RLD e RLE os parâmetros das áreas. Note-se que RLD (reação da laje à direita) e RLE (idem, à esquerda) estão ordenadas por vigas e podem, por conseguinte, ser diretamente utilizadas por SATE. Juntamente com o preenchimento de RLD e RLE, faz-se a transferência de informações das matrizes PROLAJ e LAJES para as matrizes CARGAC (carga acidental das lajes incidentes em cada viga), CARGPE (idem, cargas permanentes) e INDCAR (indicador para qual estado de cargas acidentais contribuem as lajes incidentes em cada viga).

4.2.4 - Análise e pós-processamento

Com a chamada da SATE, realiza-se a análise, com a consequente obtenção dos esforços nos elementos da estrutura, para cada um dos estados de carga. Como a SATE fornece esses esforços ordenados por pórticos, há a necessidade de um pós-processamento com o fim de fazer retornar à forma original o armazenamento das informações. Assim, armazena-se na matriz ESFC os esforços nos pilares e em ESFVX e ESFYV os esforços nas vigas.

4.2.5 - Dimensionamento

Finalmente, temos um "loop" que varre os pisos e, dentro de cada piso, pilar por pilar e viga por viga, com a obtenção e publicação das solicitações mais desfavoráveis e das áreas de armadura. Destacam-se aí as subrotinas ALVIG, ALCOL e ARTAN, que aplicam o formulário do capítulo III para a obtenção,

respectivamente, das armaduras longitudinais de vigas e pilares e das armaduras transversais.

Nos pilares, realiza-se primeiramente a determinação das forças normais extremas, segundo os esquemas 3.1 e 3.2; esta pesquisa é efetuada pela subrotina COMB1. Os momentos fletores e esforços cortantes mais desfavoráveis são obtidos com a chamada da subrotina COMB2 que segue o esquema de pesquisa 3.3. A seguir, tem-se a aplicação do formulário exposto na seção 3.3, obtendo-se o momento fletor de cálculo. De posse destes dados (fletor e normal), obtém-se a área de armadura longitudinal (igual nas quatro faces), por meio da chamada da subrotina ALCOL. A armadura transversal é determinada, chamando-se a subrotina ARTRAN.

O dimensionamento das vigas é mais simples. Para cada uma das cinco seções referidas em 3.2, pesquisa-se o máximo momento positivo e o máximo negativo, bem como o máximo cortante, usando-se a subrotina COMB1. Finalmente, com as chamadas de ALVIG e ARTRAN, determinam-se, respectivamente, as armaduras longitudinais e transversal necessárias em cada seção.

4.3 - SUBROTINA SATE

O programa SATE (Sistema de Análise Tridimensional de Edifícios) é o encarregado das diversas análises da estrutura, necessárias à obtenção dos esforços nos seus membros. Esta análise consta da formação da matriz de rigidez e dos vetores de cargas referentes aos diversos carregamentos atuantes; à medida que estes vetores são obtidos, realiza-se a solução dos respectivos sistemas de equações, com a obtenção dos deslocamentos nodais e esforços nos membros.

Quanto ao cálculo da matriz de rigidez, realiza-se inicialmente a determinação da matriz de rigidez lateral de cada pórtico plano. Isto é efetuado pela subrotina MARIH a qual está descrita na seção 4.4. De posse das matrizes dos pórticos, armazenadas no array SKP, realiza o programa a seguir a montagem da matriz de rigidez lateral global da estrutura, armazenando-a no array SKT.

Em seguida, realiza-se a análise dos diversos pórticos planos sujeitos somente às cargas verticais (duas hipóteses de cargas acidentais e uma de carga permanente). Esta análise é levada a cabo pela chamada da subrotina PORT e se processa segundo o roteiro da seção 2.1.4.

A seguir, é feita a análise do edifício sujeito à ação do vento. Inicialmente, são lidos os parâmetros estabelecidos pela norma. São eles a velocidade básica (V_0), o fator topográfico (S_1) e os fatores que levam em conta as dimensões da edificação, a rugosidade do terreno e a variação da velocidade do vento com a altura acima do terreno (vetor S_2). De posse destes valores e considerando as hipóteses do vento soprando segundo as direções X e Y, é feito o cálculo das forças horizontais atuantes em cada piso, conforme o estabelecido na seção 2.2.2. Essas cargas são armazenadas no vetor FF. Com a chamada da subrotina CARHO, há a transformação do vetor FF no vetor de cargas horizontais F. Este vetor F constitui parâmetro de entrada da subrotina SIMQ, que realiza a solução do sistema de equações, tendo na matriz SKT os coeficientes das incógnitas e no vetor F os termos independentes. Assim, com a execução da SIMQ, são obtidos os deslocamentos e a rotação de cada piso. A partir destes valores e das matrizes de rigidez lateral de cada pórtico plano, são calculadas as parcelas das cargas horizontais que irão atuar em cada pórtico plano, isoladamente. Então, por meio da chamada da PORT, é feita a análise individual para cada pórtico plano.

Finalmente, temos a análise dinâmica. Ela inicia com a execução da subrotina MMAS que é encarregada de fazer a leitura das massas e das inércias rotacionais dos pisos, e a formação da matriz de massas da estrutura. Em seguida, temos a execução da subrotina JACOB; essa subrotina usa o método de Jacobi para resolver o problema de autovetores, necessário para a obtenção das frequências e modos de vibrar da estrutura, os quais são armazenados, respectivamente, no vetor FREQ e na matriz MODVIB. A seguir, é feita a leitura dos parâmetros do espectro de projeto (RK1, RK2 e T0). Temos, então, o processo de determinação das forças dinâmicas de sismo, segundo o estabelecido na seção 2.2.3. Levam-se em conta as hipóteses de sismo nas direções X e Y. Os fatores de participação, as massas equivalentes, os esforços de

corte basal e as forças dinâmicas são armazenados, respectivamente, nos vetores FAPART, MASSEQ e ECBAS e na matriz FORDIN. Uma vez obtidas essas forças dinâmicas, segue-se o procedimento análogo ao da análise para o vento. A subrotina CARHO forma o vetor de forças horizontais, apto a ser utilizado por SIMQ; finalmente, a determinação das parcelas de cargas horizontais para cada um dos pôrticos planos e a análise estática dos mesmos, com a execução da PORT.

4.4 - SUBROTINA MARIH

Esta subrotina realiza a determinação e o armazenamento da matriz de rigidez lateral do pôrtico plano, apresentado na seção 2.1.4. Ela tem como parâmetro de entrada o indicador IND, o qual permite várias modalidades de criação da matriz de rigidez. Assim, para $IND = 2$, MARIH efetua a determinação da matriz de flexibilidade de um muro. Para isso, é feita uma leitura da base, da altura e dos módulos de elasticidade e de corte do mesmo. Se $IND = 1$, realiza-se somente o armazenamento da matriz de flexibilidade do muro, sendo que, neste caso, os valores da matriz são diretamente fornecidos pelo usuário.

As opções restantes são todas para a formação de matriz de rigidez. Para $IND = 3$, temos o fornecimento direto dos valores da matriz. Se $IND = 4$, MARIH atribui à matriz de rigidez os mesmos valores da matriz de um pôrtico já dados e o usuário só necessita informar a qual pôrtico deve ser feita esta atribuição. Finalmente, quando $IND = 5$, a determinação da matriz é feita com a chamada da subrotina PORT a qual está descrita na seção 4.6.

4.5 - SUBROTINA CARHO

Esta subrotina faz a montagem do vetor de cargas horizontais do pôrtico espacial. Tem como parâmetros de entrada as forças horizontais atuantes em cada piso, a direção segundo a qual elas atuam e as coordenadas dos centros de gravidade dos pisos. O vetor formado pela CARHO é constituído de três elementos

por piso: a componente da força segundo a direção X, a componente segundo Y e o momento causado na origem do sistema de coordenadas, levando-se em conta que a força atua no centro de gravidade do piso.

A figura 4.4 ilustra a situação. Nela, temos uma força F atuando no centro de gravidade (X_G, Y_G) e segundo uma direção que forma um ângulo ϕ com o eixo X. As componentes do vetor de cargas, referidas à origem do sistema XY, serão dadas por:

$$\text{força na direção X : } F_x = F \cos\phi$$

$$\text{força na direção Y : } F_y = F \sin\phi$$

$$\text{momento : } F_\theta = F (X_G \sin\phi - Y_G \cos\phi).$$

4.6 - SUBROTINA PORT

A subrotina PORT cumpre duas finalidades. A primeira, quando chamada por MARIH, é a determinação da matriz de rigidez lateral de um pórtico plano; a segunda, quando chamada por SATE, é a análise estática de um pórtico plano.

Na sua execução somente para a obtenção da matriz de rigidez lateral, tem-se, inicialmente, a determinação das matrizes de rigidez dos pisos que se armazenam em RIGP. Segundo o roteiro exposto na seção 2.1.4.1, efetua-se a obtenção da matriz de rigidez lateral, que é armazenada em SF.

A execução da FORT para análise estática se inicia com uma impressão das cargas verticais, seguida do cálculo das forças de engastamento perfeito e do seu agrupamento na matriz de forças nodais equivalentes FNUD. Segue-se a obtenção dos deslocamentos horizontais dos pisos e dos deslocamentos verticais e giros dos nós. Finalmente, temos a determinação, para cada estado de carga, dos esforços nos pilares e nas vigas. Para os pilares, são determinados a força normal e, em cada extremidade, o momento e o cortante, armazenando-se estes valores na matriz ESFCOL. Para as vigas, são determinados o cortante e o momento nas cinco seções referidas em 3.2, armazenando-se os valores na matriz ESF_VIG.

CAPÍTULO V

EXEMPLO

5.1 - DEFINIÇÃO DO PROBLEMA

Como exemplo de aplicação do programa PROADE, apresentaremos o projeto de um edifício de 5 pisos. O pavimento tipo é mostrado na figura 5.1. É composto por 12 lajes, 16 vigas na direção X, 15 vigas na direção Y e 20 pilares. Tais elementos estão identificados na figura, respectivamente, pelas notações L_i , VX_i , VY_i e P_i .

A divisão do problema em subestruturas do tipo pórtico plano implica na consideração de 4 pórticos na direção X e 5 na direção Y. Estes pórticos, na figura 5.1, aparecem associados, respectivamente, aos eixos auxiliares x_i ($i=1,2,3,4$) e y_i ($i=1,2,3,4,5$). Os pórticos na direção X são idênticos quanto à geometria e estão mostrados na figura 5.2. O mesmo acontece com os pórticos na direção Y, cuja geometria se vê na figura 5.3.

Reproduz-se, nas páginas seguintes, a listagem na qual constam os dados de geometria e carregamento da estrutura. Nela, temos, inicialmente, a publicação de dados gerais, seguidos das propriedades dos pilares e das vigas. A seguir, percorrendo piso por piso, listam-se a localização dos pilares, a localização das vigas na direção X, cargas uniformes das mesmas, localização das vigas na direção Y, cargas uniformes destas vigas, localização, propriedades e cargas das lajes.

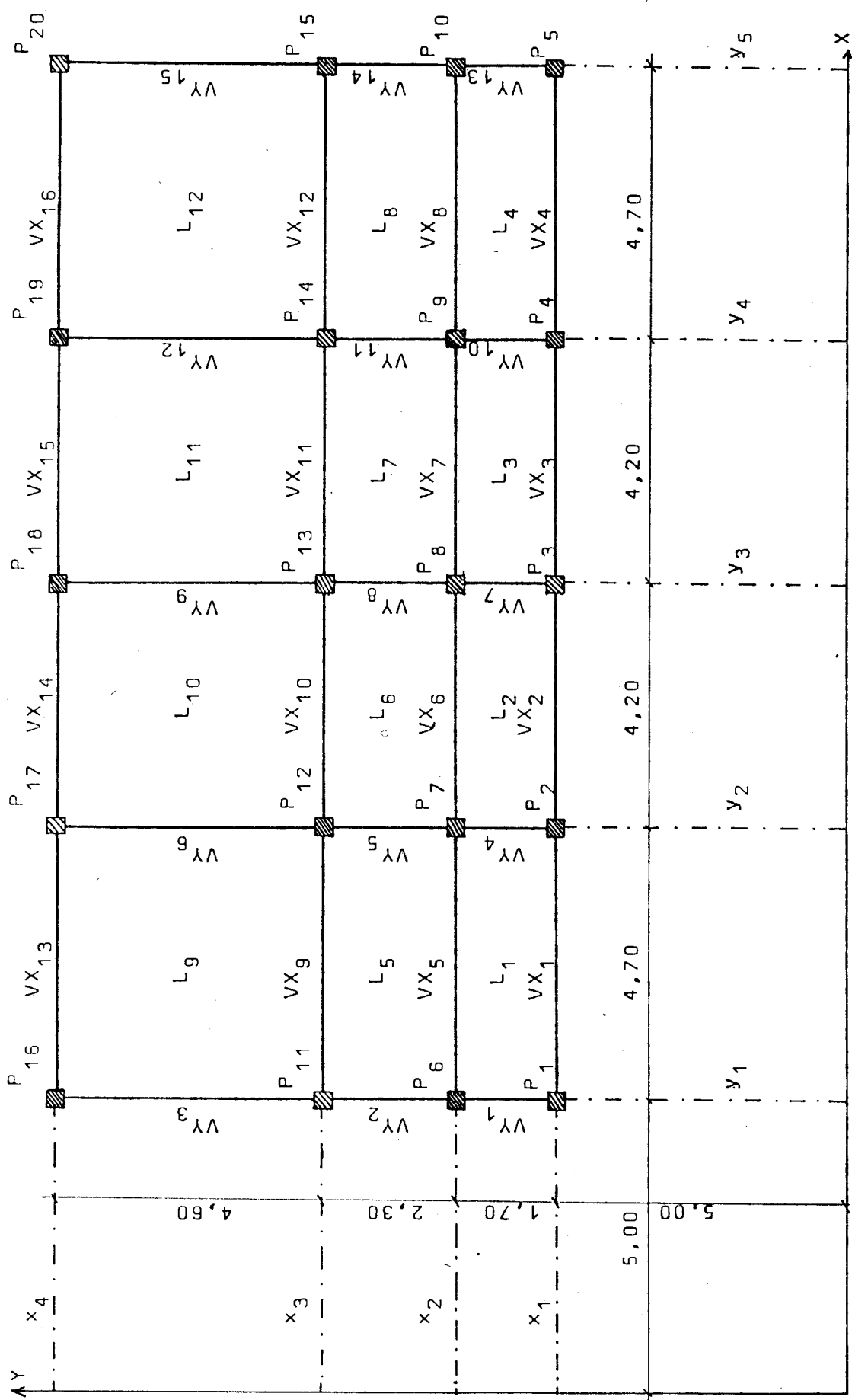


Figura 5.1

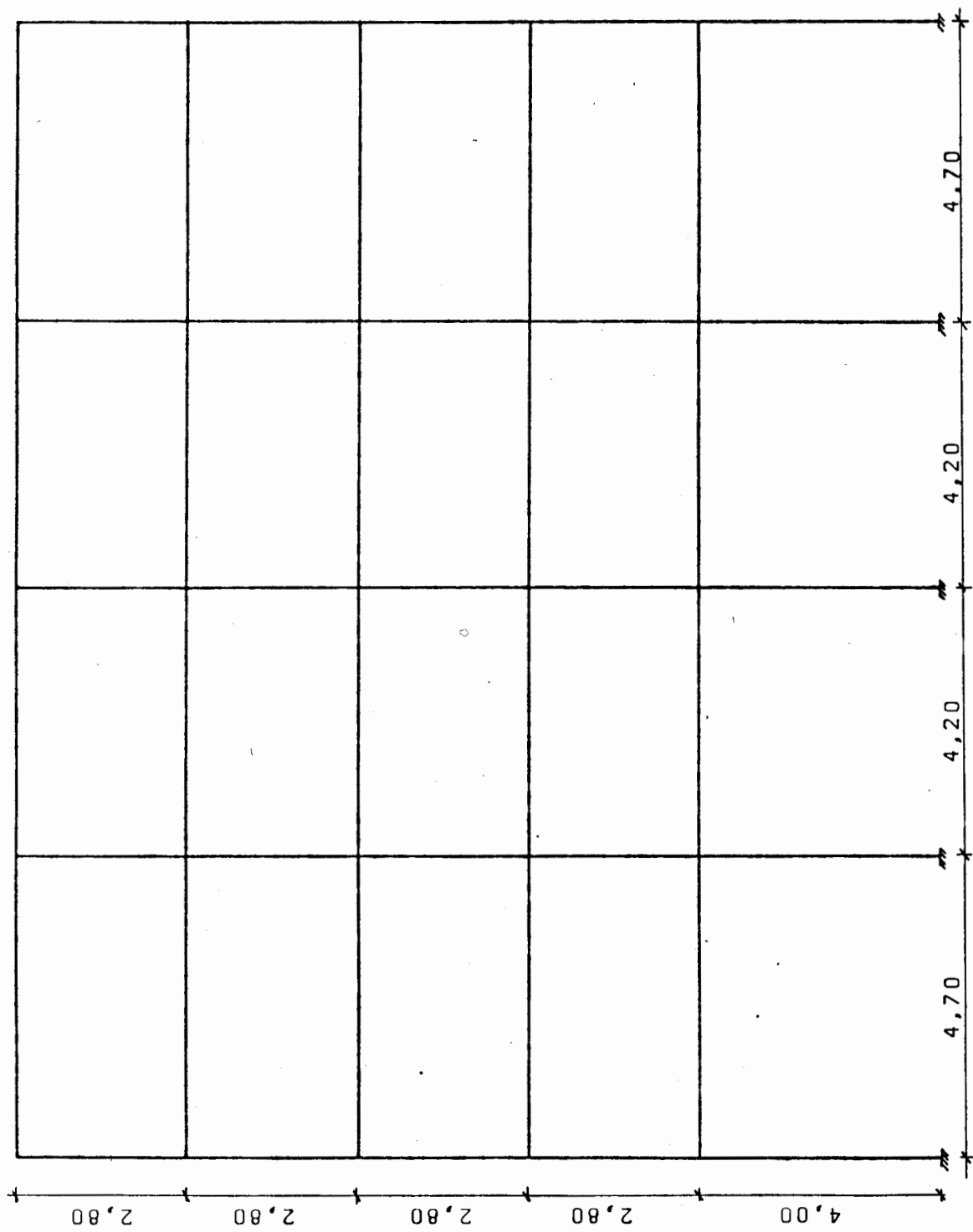


Figura 5.2 - Pórticos 1 a 4

Pórticos 5 a 9

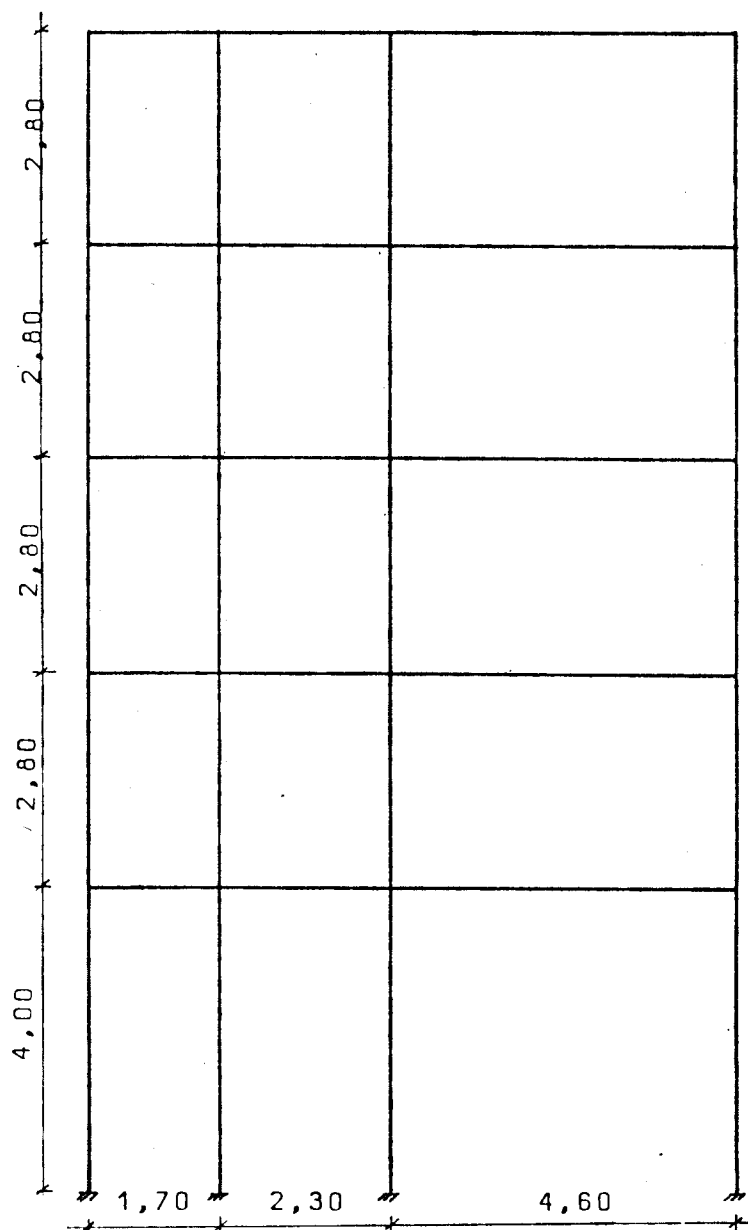


Figura 5.3

EXEMPLO TESE - EDIFÍCIO COM 5 PAVIMENTOS

ALTURA DOS PISOS.

PISO	ALTURA
1	2.00
2	2.50
3	2.00
4	2.00
5	4.00

ACOULHO DE ELASTICIDADE STANDARD = 2160000000.00

MODO DE DA CORTE STANDARD = 800000000.00

PESO ESPECÍFICO = 2500.00

PESO DE ELAS. TIPO X = 4

PESO DE ELAS. TIPO Y = 5

PIRELA DO PONTO DE INCERCAO = 35.000

PIRELA VERTICAL DO DESENHO = 30.000

PIRELA DO TIPO DE APLICACAO = 1

PIRELA DE URGAO DE LIGACAO = 1
RESISTENCIA DE CALCULO DO CONCRETO A COMPRESSAO = Fc = 107.1 Kgf/cm²

RESISTENCIA DE CALCULO DO ALCOA = Fy = 4347.0 Kgf/cm²

CONSTANTE DE DESAMPLIACAO = 0.25

CARGA ACIDENTAL = 1.40

CARGA DE VENTO = 1.40

CARGA DE SISMO = 1.40

ESPESSURA DE LAJE STANDARD = 0.07

CARGA ESTACIONAR STANDARD = 250.00

CARGA ACIDENTAL STANDARD = 150.00

DISTANCIAS DOS ELAS. TIPO X AO ELAS GLOBAL AB

ELAS. DISTANCIA

1	5.000
2	6.700
3	9.000
4	13.000

DISTANCIAS DOS ELAS. TIPO Y AO ELAS GLOBAL Y6

ELAS. DISTANCIA

1	5.000	5.000
2	9.700	9.700
3	13.400	13.400
4	15.100	15.100
	22.500	22.500
NUMERO DE CLASSES DE PILARES =		4
NUMERO DE CLASSES DE VIGAS =		2

PROPRIEDADES DOS PILARES

CLASSE SECAU	PA	PB	PC	PD	PE	PF	PE	E	G
1	2	0.200	0.200	0.000	0.000	0.000	210000000.00	000000000.00	000000000.00
2	2	0.250	0.250	0.000	0.000	0.000	210000000.00	000000000.00	000000000.00
3	2	0.300	0.300	0.000	0.000	0.000	210000000.00	000000000.00	000000000.00
4	2	0.350	0.350	0.000	0.000	0.000	210000000.00	000000000.00	000000000.00

PROBLEMAS DAS VIGAS

CLASSE SECAO	PA	μ_3	μ_5	μ_C	μ_U	μ_E	μ_F	$\mu_{F'}$	E	G
									PROBABILIDADES	PROBABILIDADES
1	2	0.150	0.500	0.000	0.000	0.000	0.000	0.000	210000000.00	800000000.00
2	2	0.150	0.250	0.000	0.000	0.000	0.000	0.000	210000000.00	800000000.00

PISO DE CIMA PARA BALANÇO = 1

LOCALIZACAO DOS PILARES

CLASSE	EIXO X	EIXO Y	PÚBLICO	UX		UY	
				1	2	3	4
1	1	1	1	0.000	0.000	0.000	0.000
2	1	1	1	0.000	0.000	0.000	0.000
3	1	1	1	0.000	0.000	0.000	0.000
4	1	1	1	0.000	0.000	0.000	0.000
5	1	1	1	0.000	0.000	0.000	0.000
6	1	1	1	0.000	0.000	0.000	0.000
7	1	1	1	0.000	0.000	0.000	0.000
8	1	1	1	0.000	0.000	0.000	0.000
9	1	1	1	0.000	0.000	0.000	0.000
10	1	1	1	0.000	0.000	0.000	0.000
11	1	1	1	0.000	0.000	0.000	0.000
12	1	1	1	0.000	0.000	0.000	0.000
13	1	1	1	0.000	0.000	0.000	0.000
14	1	1	1	0.000	0.000	0.000	0.000
15	1	1	1	0.000	0.000	0.000	0.000
16	1	1	1	0.000	0.000	0.000	0.000
17	1	1	1	0.000	0.000	0.000	0.000
18	1	1	1	0.000	0.000	0.000	0.000
19	1	1	1	0.000	0.000	0.000	0.000
20	1	1	1	0.000	0.000	0.000	0.000

LOCALIZACAO DAS VIGAS - CLASSE	VIGA	DIRECAO X	DIRECAO Y	EIXO X	EIXO Y	POSICAO	DISTANCIA A EIXO X	ALTURA	EX.
						0	0.000	0.000	EX. 1
						0	0.000	0.000	EX. 2
						0	0.000	0.000	EX. 3
						0	0.000	0.000	EX. 4
						0	0.000	0.000	EX. 5
						0	0.000	0.000	EX. 6
						0	0.000	0.000	EX. 7
						0	0.000	0.000	EX. 8
						0	0.000	0.000	EX. 9
						0	0.000	0.000	EX. 10
						0	0.000	0.000	EX. 11
						0	0.000	0.000	EX. 12
						0	0.000	0.000	EX. 13
						0	0.000	0.000	EX. 14
						0	0.000	0.000	EX. 15
						0	0.000	0.000	EX. 16
						0	0.000	0.000	EX. 17
						0	0.000	0.000	EX. 18
						0	0.000	0.000	EX. 19
						0	0.000	0.000	EX. 20
						0	0.000	0.000	EX. 21
						0	0.000	0.000	EX. 22
						0	0.000	0.000	EX. 23
						0	0.000	0.000	EX. 24
						0	0.000	0.000	EX. 25
						0	0.000	0.000	EX. 26
						0	0.000	0.000	EX. 27
						0	0.000	0.000	EX. 28
						0	0.000	0.000	EX. 29
						0	0.000	0.000	EX. 30
						0	0.000	0.000	EX. 31
						0	0.000	0.000	EX. 32
						0	0.000	0.000	EX. 33
						0	0.000	0.000	EX. 34
						0	0.000	0.000	EX. 35
						0	0.000	0.000	EX. 36
						0	0.000	0.000	EX. 37
						0	0.000	0.000	EX. 38
						0	0.000	0.000	EX. 39
						0	0.000	0.000	EX. 40
						0	0.000	0.000	EX. 41
						0	0.000	0.000	EX. 42
						0	0.000	0.000	EX. 43
						0	0.000	0.000	EX. 44
						0	0.000	0.000	EX. 45
						0	0.000	0.000	EX. 46
						0	0.000	0.000	EX. 47
						0	0.000	0.000	EX. 48
						0	0.000	0.000	EX. 49
						0	0.000	0.000	EX. 50
						0	0.000	0.000	EX. 51
						0	0.000	0.000	EX. 52
						0	0.000	0.000	EX. 53
						0	0.000	0.000	EX. 54
						0	0.000	0.000	EX. 55
						0	0.000	0.000	EX. 56
						0	0.000	0.000	EX. 57
						0	0.000	0.000	EX. 58
						0	0.000	0.000	EX. 59
						0	0.000	0.000	EX. 60
						0	0.000	0.000	EX. 61
						0	0.000	0.000	EX. 62
						0	0.000	0.000	EX. 63
						0	0.000	0.000	EX. 64
						0	0.000	0.000	EX. 65
						0	0.000	0.000	EX. 66
						0	0.000	0.000	EX. 67
						0	0.000	0.000	EX. 68
						0	0.000	0.000	EX. 69
						0	0.000	0.000	EX. 70
						0	0.000	0.000	EX. 71
						0	0.000	0.000	EX. 72
						0	0.000	0.000	EX. 73
						0	0.000	0.000	EX. 74
						0	0.000	0.000	EX. 75
						0	0.000	0.000	EX. 76
						0	0.000	0.000	EX. 77
						0	0.000	0.000	EX. 78
						0	0.000	0.000	EX. 79
						0	0.000	0.000	EX. 80
						0	0.000	0.000	EX. 81
						0	0.000	0.000	EX. 82
						0	0.000	0.000	EX. 83
						0	0.000	0.000	EX. 84
						0	0.000	0.000	EX. 85
						0	0.000	0.000	EX. 86
						0	0.000	0.000	EX. 87
						0	0.000	0.000	EX. 88
						0	0.000	0.000	EX. 89
						0	0.000	0.000	EX. 90
						0	0.000	0.000	EX. 91
						0	0.000	0.000	EX. 92
						0	0.000	0.000	EX. 93
						0	0.000	0.000	EX. 94
						0	0.000	0.000	EX. 95
						0	0.000	0.000	EX. 96
						0	0.000	0.000	EX. 97
						0	0.000	0.000	EX. 98
						0	0.000	0.000	EX. 99
						0	0.000	0.000	EX. 100

6	0.999
7	0.009
8	0.999
9	0.009
10	0.009
11	0.009
12	0.009
13	110.000
14	352.000
15	240.000

LOCALIZAÇÃO E PROPRIEDADES DAS LAJES

Laje	Jr	K1	K2	Nivel	Nivel	IND3	IND4	IND5	ESPRESSURA	C PERMANENTE	C ACIDENTAL
1	1	2	1	0	1	1	1	0	0.060	175.000	20.000
2	1	2	2	3	0	1	1	1	0.060	175.000	20.000
3	1	2	3	4	0	1	1	1	0.060	175.000	20.000
4	1	2	4	3	0	1	1	1	0.060	175.000	20.000
5	2	3	1	6	1	1	1	0	0.060	175.000	20.000
6	2	3	2	3	1	1	1	1	0.060	175.000	20.000
7	2	3	3	4	2	1	1	1	0.060	175.000	20.000
8	2	3	4	1	2	1	1	0	0.060	250.000	20.000
9	3	4	2	3	1	1	1	0	0.060	250.000	20.000
10	3	4	2	3	1	1	1	0	0.060	250.000	20.000
11	3	4	3	4	2	1	1	0	0.060	250.000	20.000
12	3	4	4	5	4	1	1	0	0.060	250.000	20.000

PISO DE CIMA PARA SALA = 2

LOCALIZAÇÃO DAS PLACAS

PLACA	CLASSE	PLACAS									
1	1	1	1	1	0	0.000	0.000	0.000	0.000	0.000	0.000
2	1	1	1	2	0	0.000	0.000	0.000	0.000	0.000	0.000
3	1	1	1	3	0	0.000	0.000	0.000	0.000	0.000	0.000
4	1	1	1	4	0	0.000	0.000	0.000	0.000	0.000	0.000
5	2	1	1	5	0	0.000	0.000	0.000	0.000	0.000	0.000
6	2	2	2	6	1	0.000	0.000	0.000	0.000	0.000	0.000
7	2	2	2	7	1	0.000	0.000	0.000	0.000	0.000	0.000
8	2	2	2	8	1	0.000	0.000	0.000	0.000	0.000	0.000
9	2	2	2	9	1	0.000	0.000	0.000	0.000	0.000	0.000
10	2	2	2	10	1	0.000	0.000	0.000	0.000	0.000	0.000
11	2	2	2	11	1	0.000	0.000	0.000	0.000	0.000	0.000
12	2	2	2	12	1	0.000	0.000	0.000	0.000	0.000	0.000
13	2	2	2	13	1	0.000	0.000	0.000	0.000	0.000	0.000
14	2	2	2	14	1	0.000	0.000	0.000	0.000	0.000	0.000
15	2	2	2	15	1	0.000	0.000	0.000	0.000	0.000	0.000
16	2	2	2	16	1	0.000	0.000	0.000	0.000	0.000	0.000
17	2	2	2	17	1	0.000	0.000	0.000	0.000	0.000	0.000
18	2	2	2	18	1	0.000	0.000	0.000	0.000	0.000	0.000
19	2	2	2	19	1	0.000	0.000	0.000	0.000	0.000	0.000

LOCALIZAÇÃO DAS VITRÍAS - SISTEMA X
INTERFICHA DO PISO 1

Características das vitrías - sistema X
 Viga - Concreto ultraforte
 1
 Aço - 0.00
 752.000

LOCALIZAÇÃO DAS FLORES - MATERIAIS
LITERATURA DO PINTO

CARAVAS - MIFODIUS' LARVAE VIEWS IN VIRECAY

1	16.95	0.99
2	16.95	0.99
3	9.95	0.99
4	5.15	0.99
5	2.15	0.99
6	4.65	0.99
7	3.15	0.99
8	3.15	0.99
9	3.15	0.99
10	3.15	0.99
11	3.15	0.99
12	3.15	0.99
13	3.15	0.99
14	1.55	0.99
15	1.55	0.99

LAER
LÖSCHER/14/1990 10:14:00
LÖSCHER/14/1990 10:14:00

3

LOCAL PLACE OF BIRTH	CLASS	FLYING HOURS	EXPERIENCE	POSITION	SEX	DR.
1	C	1	1	0	0.000	0.000
2	C	2	2	0	0.000	0.000
3	C	3	3	0	0.000	0.000

**EXCELENTE LOCALIZAÇÃO - DIREÇÃO X
IDENTICA AO PISO I**

CHARLES UNIFORMED DAY VISITS & NIGHTCLAS
LITERATURE IN THE PLATEAU

CONTINUAÇÃO DAS VIGAS - DIRECAO Y
LONDRA ESTICA AO PINTO I

CANADIAN JOURNAL OF BOTANY - CANADA - VOL. 54, NO. 10, OCTOBER 1976

1	LOCALIZACAO DAS VILAS - DIRECAO X IDENTICA A DO PISO 1
2	LOCALIZACAO DAS VILAS - DIRECAO X IDENTICA A DO PISO 2
3	LOCALIZACAO DAS VILAS - DIRECAO Y IDENTICA A DO PISO 1
4	LOCALIZACAO DAS VILAS - DIRECAO Y IDENTICA A DO PISO 2
5	LOCALIZACAO DAS VILAS - DIRECAO Z IDENTICA A DO PISO 1
6	LOCALIZACAO DAS VILAS - DIRECAO Z IDENTICA A DO PISO 2

LOCALIZACAO DAS VILAS - DIRECAO X
IDENTICA A DO PISO 1

CABOS UNIFORDES DAS VILAS - DIRECAO X
IDENTICA A DO PISO 2

LOCALIZACAO DAS VILAS - DIRECAO Y
IDENTICA A DO PISO 1

CABOS UNIFORDES DAS VILAS - DIRECAO Y
IDENTICA A DO PISO 2

LOCALIZACAO DAS VILAS - DIRECAO Z
IDENTICA A DO PISO 1

LOCALIZACAO DAS VILAS - DIRECAO Z
IDENTICA A DO PISO 2

LOCALIZACAO DAS VILAS - DIRECAO X
IDENTICA A DO PISO 1

CABOS UNIFORDES DAS VILAS - DIRECAO X
IDENTICA A DO PISO 2

LOCALIZACAO DAS VILAS - DIRECAO Y
IDENTICA A DO PISO 1

CABOS UNIFORDES DAS VILAS - DIRECAO Y
IDENTICA A DO PISO 2

LOCALIZACAO DAS VILAS - DIRECAO Z
IDENTICA A DO PISO 1

LOCALIZACAO DAS VILAS - DIRECAO Z
IDENTICA A DO PISO 2

LOCALIZACAO DAS VILAS - DIRECAO X
IDENTICA A DO PISO 1

CABOS UNIFORDES DAS VILAS - DIRECAO X
IDENTICA A DO PISO 2

IDENTICA A DO PISO 1

CARAS DIFERENTES DAS VISTAS - DIRECAO X
IDENTICA A DO PISO 2

LOCALIZACAO DAS VISTAS - DIRECAO Y
IDENTICA A DO PISO 1

CARAS DIFERENTES DAS VISTAS - DIRECAO Y
IDENTICA A DO PISO 2

LOCALIZACAO E PROPRIADES DAS LAREAS
IDENTICA A DO PISO 3

5.2 - AÇÃO DO VENTO

Para a análise da estrutura submetida à ação do vento, levou-se em consideração uma velocidade básica igual a 45 m/s e o fator topográfico igual a 1. Os fatores S_2 , especificados pela NB-599 e fornecidos para cada piso, constam na tabela 5.1. Para esse conjunto de dados, realizou o programa duas análises, levando em conta, em cada uma delas, o vento soprando em uma das direções principais X e Y. As forças horizontais, concentradas em cada piso, resultantes da ação do vento, se encontram também na tabela 5.1.

PISO	FATOR S_2	FORÇAS RESULT. DO VENTO (kgf)	
		DIREÇÃO X	DIREÇÃO Y
1	0,883	1188,10	3196,82
2	0,828	2089,40	5621,95
3	0,774	1825,76	4912,57
4	0,729	1619,63	4357,94
5	0,670	1661,24	4469,89

Tabela 5.1

5.3 - ESFORÇOS NOS MEMBROS

Após realizada a análise estática, o programa publica os esforços em cada membro, para cada estado de carga. Nas vigas, são listados a força cortante e o momento fletor em cada uma das cinco seções. A convenção de sinais destes esforços está mostrada na figura 5.4, onde as setas indicam o sentido positivo. Para os pilares são publicados a força normal (N), o esforço cortante segundo X e Y (QX e QY), constante ao longo do pilar, os momentos fletores segundo X e Y na extremidade inferior (M_{IX} e M_{IY}) e os mesmos momentos na extremidade superior (M_{SX} e M_{SY}). A força normal é positiva no caso de compressão. Quanto aos demais esforços, a convenção de sinais aparece na figura 5.5, com as setas indicando o sentido positivo. As unidades são o

kgf para as forças e o kgfm para os momentos.

A publicação dos esforços nos membros de toda a estrutura do presente exemplo ocuparia um espaço demasiadamente extenso neste trabalho ainda mais se contarmos que estes esforços são apenas resultados intermediários. Assim, a título de ilustração, aparecem nas páginas que seguem os esforços dos membros somente do 1º piso.

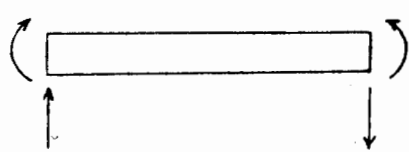


Figura 5.4

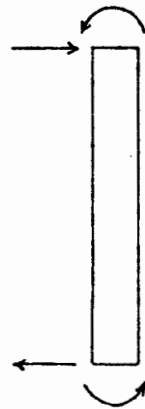


Figura 5.5

PISUONE CIVIA MARIA HALKO = 1

ESPECIES NAMES IN AGES

PILAR I	PERMANENTE	1511.94	uA	-293.15	MIX	-449.44	MIX	-312.31	uY	-35.95	wY	-60.58	wY	-40.09
	ACUERDO 1	76.52	uX	-5.50	MIX	-1.00	MIX	-13.90	uY	0.57	wY	2.12	wY	-1.36
	ACTUALIZAL 2	74.52	uX	-26.17	MIX	-51.14	MIX	-22.09	uY	-1.44	wY	-5.20	wY	1.10
	VIENTO X	-276.63	uX	45.40	MIX	57.68	MIX	87.43	uY	3.42	wY	4.21	wY	5.37
	VENTO Y	-60.04	uY	0.00	MIA	0.00	MIA	0.00	uY	73.00	wY	1.01	wY	112.99
	SISMICO	0.00	uX	0.00	MIA	0.00	MIA	0.00	uY	0.00	wY	0.00	wY	10.99
	CAMBIO	0.00	uA	0.00	MIA	0.00	MIA	0.00	uY	0.00	wY	0.00	wY	0.00

PILAR	2	3364.50	0X	26.55	0X	56.03	M5A	18.30	0Y	-66.21	M1Y	-96.07	0Z
N	N	78.79	0X	-11.94	0X	-26.01	M5A	-6.31	0Y	-6.31	M1Y	-14.26	0Z
N	N	65.39	0X	14.94	0X	36.27	M5A	14.26	0Y	-6.51	M1Y	-14.57	0Z
N	N	63.07	0X	63.07	0X	63.07	M5A	90.30	0Y	2.42	M1Y	3.03	0Z
N	N	-8.39	0X	0.00	0X	0.00	M5A	0.00	0Y	108.54	M1Y	141.95	0Z
N	N	-137.57	0X	0.00	0X	0.00	M5A	0.00	0Y	0.00	M1Y	162.12	0Z
N	N	6.00	0X	0.00	0X	0.00	M5A	0.00	0Y	0.00	M1Y	0.00	0Z
N	N	0.00	0X	0.00	0X	0.00	M5A	0.00	0Y	0.00	M1Y	0.00	0Z

PILAS 6

PERMANENTE	N	2102.94	UX
ACUERDIAL 1	N	107.13	UX
ACUERDIAL 2	N	134.42	UX
VFRIO X	N	-26.72	UX
VFRIO Y	N	-61.6	UX
SINDR X	N	0.00	UX
SINDR Y	N	0.00	UX

-LUEZ 7

PERMANENTE	N	2400.45	UX
ACUERDIAL 1	N	227.27	UX
ACUERDIAL 2	N	231.15	UX
VFRIO X	N	-64.05	UX
VFRIO Y	N	-64.05	UX
SINDR X	N	0.00	UX
SINDR Y	N	0.00	UX

-LUEZ 8

PERMANENTE	N	2692.59	UX
ACUERDIAL 1	N	235.55	UX
ACUERDIAL 2	N	231.17	UX
VFRIO X	N	-64.05	UX
VFRIO Y	N	-64.05	UX
SINDR X	N	0.00	UX
SINDR Y	N	0.00	UX

-LUEZ 9

PERMANENTE	N	2292.02	UX
ACUERDIAL 1	N	227.55	UX
ACUERDIAL 2	N	221.21	UX
VFRIO X	N	-64.05	UX
VFRIO Y	N	-64.05	UX
SINDR X	N	0.00	UX
SINDR Y	N	0.00	UX

-LUEZ 10

PERMANENTE	N	2117.32	UX
ACUERDIAL 1	N	141.42	UX
ACUERDIAL 2	N	104.05	UX
VFRIO X	N	-64.05	UX
VFRIO Y	N	-64.05	UX
SINDR X	N	0.00	UX
SINDR Y	N	0.00	UX

-LUEZ 11

PERMANENTE	N	-572.44	MIX
ACUERDIAL 1	N	-265.43	UX
ACUERDIAL 2	N	-175.00	UX
VFRIO X	N	-17.90	UX
VFRIO Y	N	-32.00	UX
SINDR X	N	0.00	UX
SINDR Y	N	0.00	UX

-LUEZ 12

PERMANENTE	N	-418.12	MIX
ACUERDIAL	N	-35.30	MIX
ACUERDIAL 2	N	-45.35	MIX
VFRIO X	N	-26.72	MIX
VFRIO Y	N	-61.6	MIX
SINDR X	N	0.00	MIX
SINDR Y	N	0.00	MIX

-LUEZ 13

PERMANENTE	N	-380.44	UX
ACUERDIAL	N	-30.86	MIX
ACUERDIAL 2	N	-51.22	UX
VFRIO X	N	-60.77	UX
VFRIO Y	N	-100.34	UX
SINDR X	N	0.00	UX
SINDR Y	N	0.00	UX

-LUEZ 14

PERMANENTE	N	-10.66	MIX
ACUERDIAL	N	-22.02	MIX
ACUERDIAL 2	N	-10.78	MIX
VFRIO X	N	40.84	MIX
VFRIO Y	N	40.84	MIX
SINDR X	N	10.74	MIX
SINDR Y	N	10.74	MIX

-LUEZ 15

PERMANENTE	N	-40.44	MIX
ACUERDIAL	N	-1.51	MIX
ACUERDIAL 2	N	-1.51	MIX
VFRIO X	N	-5.17	MIX
VFRIO Y	N	-5.17	MIX
SINDR X	N	2.02	MIX
SINDR Y	N	2.02	MIX

-LUEZ 16

PERMANENTE	N	-57.93	MIX
ACUERDIAL	N	-2.02	MIX
ACUERDIAL 2	N	-2.02	MIX
VFRIO X	N	-5.02	MIX
VFRIO Y	N	-5.02	MIX
SINDR X	N	2.02	MIX
SINDR Y	N	2.02	MIX

-LUEZ 17

PERMANENTE	N	-10.21	MIX
ACUERDIAL	N	2.02	MIX
ACUERDIAL 2	N	2.02	MIX
VFRIO X	N	1.02	MIX
VFRIO Y	N	1.02	MIX
SINDR X	N	0.00	MIX
SINDR Y	N	0.00	MIX

FILE # 12

PERMANENT	N	5741.05	UA	12.44	MIA	111.00	MIA	0.00	Y	-2817.38	Y	-599.59	Y
ACTUARIAL	1	4.66	UA	9.43	MIA	13.00	MIA	13.04	Y	-3.50	Y	-405.09	Y
ACTUARIAL	2	3.71	UA	9.83	MIA	14.70	MIA	8.02	Y	-3.14	Y	-42.47	Y
VARIOUS	A	14.21	UA	5.21	MIA	70.01	MIA	16.41	Y	-3.14	Y	-42.07	Y
VARIOUS	X	14.10	UA	0.00	MIA	0.00	MIA	0.00	Y	4.50	Y	0.04	Y
SIMUL	Y	0.00	UA	0.00	MIA	0.00	MIA	0.00	Y	20.00	Y	270.47	Y
SIMUL	Z	0.00	UA	0.00	MIA	0.00	MIA	0.00	Y	0.00	Y	0.00	Y

FILE # 13

PERMANENT	N	5056.15	UA	0.00	MIA	0.00	MIA	0.00	Y	-260.00	Y	-374.90	Y
ACTUARIAL	1	3.64	UA	-1.70	MIA	-0.96	MIA	-3.60	Y	-32.01	Y	-50.03	Y
ACTUARIAL	2	3.44	UA	-1.70	MIA	-0.96	MIA	-3.60	Y	-32.01	Y	-50.03	Y
VARIOUS	A	0.00	UA	50.00	MIA	0.00	MIA	13.41	Y	-3.14	Y	-40.00	Y
VARIOUS	X	4.10	UA	4.10	MIA	50.00	MIA	13.41	Y	-3.14	Y	-40.00	Y
SIMUL	Y	0.00	UA	0.00	MIA	0.00	MIA	0.00	Y	20.00	Y	265.02	Y
SIMUL	Z	0.00	UA	0.00	MIA	0.00	MIA	0.00	Y	0.00	Y	0.00	Y

FILE # 14

PERMANENT	N	5147.41	UA	12.44	MIA	111.00	MIA	0.00	Y	-281.00	Y	-30.64	Y
ACTUARIAL	1	3.63	UA	-6.83	MIA	-14.70	MIA	-13.00	Y	-2.82	Y	-12.24	Y
ACTUARIAL	2	3.43	UA	-6.83	MIA	-14.70	MIA	-13.00	Y	-2.82	Y	-12.24	Y
VARIOUS	A	-1.47	UA	52.21	MIA	70.01	MIA	70.01	Y	-3.14	Y	-41.07	Y
VARIOUS	X	-1.47	UA	0.00	MIA	0.00	MIA	0.00	Y	20.00	Y	265.02	Y
VARIOUS	Y	4.54	UA	0.00	MIA	0.00	MIA	0.00	Y	0.00	Y	0.00	Y
SIMUL	Z	0.00	UA	0.00	MIA	0.00	MIA	0.00	Y	0.00	Y	0.00	Y

FILE # 15

PERMANENT	N	4242.45	UA	672.49	MIA	101.00	MIA	871.11	Y	-281.00	Y	-44.13	Y
ACTUARIAL	1	127.27	UA	17.00	MIA	62.00	MIA	82.00	Y	-2.82	Y	-13.26	Y
ACTUARIAL	2	125.70	UA	75.80	MIA	112.76	MIA	98.49	Y	-2.82	Y	-13.26	Y
VARIOUS	A	32.17	UA	71.90	MIA	94.00	MIA	111.77	Y	-2.82	Y	-13.26	Y
VARIOUS	X	32.17	UA	0.00	MIA	0.00	MIA	0.00	Y	321.00	Y	420.00	Y
VARIOUS	Y	0.00	UA	0.00	MIA	0.00	MIA	0.00	Y	0.00	Y	0.00	Y
SIMUL	Z	0.00	UA	0.00	MIA	0.00	MIA	0.00	Y	0.00	Y	0.00	Y

FILE # 16

PERMANENT	N	3952.05	UA	-280.26	MIA	-412.00	MIA	50.00	Y	111.00	Y	400.00	Y
ACTUARIAL	1	2.02	UA	-7.63	MIA	-3.14	MIA	-10.24	Y	1.01	Y	4.04	Y
ACTUARIAL	2	2.02	UA	-12.13	MIA	-3.14	MIA	-10.24	Y	1.01	Y	4.04	Y
VARIOUS	A	-2.02	UA	-24.40	MIA	10.00	MIA	8.00	Y	0.00	Y	2.00	Y
VARIOUS	X	-2.02	UA	0.00	MIA	0.00	MIA	0.00	Y	0.00	Y	0.00	Y
SIMUL	Y	0.00	UA	0.00	MIA	0.00	MIA	0.00	Y	0.00	Y	0.00	Y
SIMUL	Z	0.00	UA	0.00	MIA	0.00	MIA	0.00	Y	0.00	Y	0.00	Y

PILAR 17

EFETUARTE	2	5766.93	0A	46.33	0A	-40.24	0A	54.79	0A	43.32	0A	71.36	0A
ACTUALIZAL	1	224.56	0A	-12.04	0A	2.94	0A	43.74	0A	67.42	0A	55.04	0A
ACTUALIZAL	2	224.50	0A	12.03	0A	26.30	0A	0.00	0A	42.95	0A	54.73	0A
VZ.0.0 X		5.17	0A	70.66	0A	46.54	0A	101.41	0A	43.40	0A	0.01	0A
VZ.410 Y		95.82	0A	0.00	0A	0.00	0A	0.00	0A	17.56	0A	22.25	0A
S15.0 X		0.00	0A	0.00	0A	0.00	0A	0.00	0A	0.00	0A	0.00	0A
S15.0 Y		0.00	0A	0.00	0A	0.00	0A	0.00	0A	0.00	0A	0.00	0A

PILAR 18

EFETUARTE	2	5791.97	0A	-0.00	0A	0.00	0A	0.00	0A	38.63	0A	36.46	0A
ACTUALIZAL	1	224.75	0A	4.30	0A	-13.03	0A	0.00	0A	43.32	0A	61.80	0A
ACTUALIZAL	2	224.76	0A	-4.30	0A	-13.03	0A	0.00	0A	43.32	0A	61.80	0A
VZ.0.0 X		-0.00	0A	70.40	0A	95.56	0A	101.77	0A	-0.00	0A	-0.00	0A
VZ.410 Y		90.32	0A	0.00	0A	0.00	0A	0.00	0A	160.22	0A	21.12	0A
S15.0 X		0.00	0A	0.00	0A	0.00	0A	0.00	0A	0.00	0A	0.00	0A
S15.0 Y		0.00	0A	0.00	0A	0.00	0A	0.00	0A	0.00	0A	0.00	0A

PILAR 19

EFETUARTE	2	5767.50	0A	-48.33	0A	-80.24	0A	-42.79	0A	397.27	0A	559.54	0A
ACTUALIZAL	1	224.73	0A	-12.02	0A	-26.02	0A	-6.33	0A	45.73	0A	13.12	0A
ACTUALIZAL	2	224.72	0A	3.22	0A	12.04	0A	-6.33	0A	45.73	0A	61.00	0A
VZ.0.0 X		-0.00	0A	70.40	0A	90.24	0A	101.71	0A	-3.76	0A	-5.51	0A
VZ.410 Y		60.40	0A	0.00	0A	0.00	0A	0.00	0A	160.22	0A	21.12	0A
S15.0 X		0.00	0A	0.00	0A	0.00	0A	0.00	0A	0.00	0A	0.00	0A
S15.0 Y		0.00	0A	0.00	0A	0.00	0A	0.00	0A	0.00	0A	0.00	0A

PILAR 20

EFETUARTE	2	280.26	0A	412.36	0A	376.30	0A	333.06	0A	481.00	0A	481.00	0A
ACTUALIZAL	1	19.13	0A	19.13	0A	1.05	0A	22.07	0A	44.71	0A	44.71	0A
ACTUALIZAL	2	19.20	0A	7.65	0A	3.14	0A	18.24	0A	43.17	0A	43.17	0A
VZ.0.0 X		224.53	0A	54.49	0A	70.45	0A	61.57	0A	130.32	0A	130.32	0A
VZ.410 Y		113.49	0A	0.00	0A								
S15.0 X		0.00	0A										
S15.0 Y		0.00	0A										

ESFORCOS NAS VIGAS - DIRECAO X

Viga 1

EFETUARTE	01	1106.86	M1	-312.37	02	310.48	M2	590.70	03	-119.76	M3	825.24	04
ACTUALIZAL	1	62.83	M1	-13.96	02	47.75	M2	-0.01	03	-37.10	M3	-20.45	04
ACTUALIZAL	2	62.81	M1	-22.94	02	-14.23	M2	2.43	03	-13.21	M3	2.43	04
VZ.0.0 X		-22.81	M1	53.43	02	-62.91	M2	42.21	M3	12.50	M4	-22.41	M5
VZ.410 Y		-9.90	M1	0.00	02	-0.00	M2	0.00	M3	-0.00	M4	-0.00	M5
S15.0 X		0.00	M1	0.00	M2	0.00	M3	0.00	M4	0.00	M5	0.00	M6
S15.0 Y		0.00	M1	0.00	M2	0.00	M3	0.00	M4	0.00	M5	0.00	M6

Viga 2

EFETUARTE	01	1106.86	M1	-312.37	02	310.48	M2	590.70	03	-119.76	M3	825.22	04
ACTUALIZAL	1	62.83	M1	-13.96	02	47.75	M2	-0.01	03	-37.10	M3	-20.45	04
ACTUALIZAL	2	62.81	M1	-22.94	02	-14.23	M2	2.43	03	-13.21	M3	2.43	04
VZ.0.0 X		-22.81	M1	53.43	02	-62.91	M2	42.21	M3	12.50	M4	-22.41	M5
VZ.410 Y		-9.90	M1	0.00	02	-0.00	M2	0.00	M3	-0.00	M4	-0.00	M5
S15.0 X		0.00	M1	0.00	M2	0.00	M3	0.00	M4	0.00	M5	0.00	M6
S15.0 Y		0.00	M1	0.00	M2	0.00	M3	0.00	M4	0.00	M5	0.00	M6

01 1106.86 M1 -312.37 02 310.48 M2 590.70 03 -119.76 M3 825.22 04

01 1106.86 M1 -312.37 02 310.48 M2 590.70 03 -119.76 M3 825.22 04

01 1106.86 M1 -312.37 02 310.48 M2 590.70 03 -119.76 M3 825.22 04

ACTUAL	1	01	-3.25	M1	-21.11	02	-3.26	M2	-3.20	M3	-3.26	M4	-3.26	M5	-3.26	M6
ACTUAL	2	01	-4.43	M1	-26.71	02	-4.42	M2	-4.14	M3	-4.10	M4	-4.09	M5	-4.09	M6
ACTUAL	3	01	-2.52	M1	-26.02	02	-3.25	M2	-3.03	M3	-3.03	M4	-3.03	M5	-3.03	M6
VE410 X	01	-0.09	M1	-0.00	M2	-0.00	M3	-0.00	M4	-0.00	M5	-0.00	M6	-0.00	M7	
VE410 Y	01	0.00	M1	0.00	M2	0.00	M3	0.00	M4	0.00	M5	0.00	M6	0.00	M7	
S1549 X	01	0.00	M1	0.00	M2	0.00	M3	0.00	M4	0.00	M5	0.00	M6	0.00	M7	
S1549 Y	01	0.00	M1	0.00	M2	0.00	M3	0.00	M4	0.00	M5	0.00	M6	0.00	M7	

V164 3

PERIODIC	01	1664.59	M1	-1293.36	02	908.12	M2	67.11	03	204.24	04	-61.46	05	-31.39	06	-3.26	07
ACTUAL	1	01	-2.43	M1	-30.57	02	-6.00	M2	-23.70	03	5.14	04	-4.44	05	-3.01	06	
ACTUAL	2	01	-3.23	M1	-34.82	02	-3.20	M2	-31.34	03	3.20	04	-3.20	05	-21.23	06	
VE410 X	01	-0.09	M1	0.00	M2	-0.00	M3	-0.00	M4	-0.00	M5	-0.00	M6	-0.00	M7		
VE410 Y	01	0.00	M1	0.00	M2	0.00	M3	0.00	M4	0.00	M5	0.00	M6	0.00	M7		
S1549 X	01	0.00	M1	0.00	M2	0.00	M3	0.00	M4	0.00	M5	0.00	M6	0.00	M7		
S1549 Y	01	0.00	M1	0.00	M2	0.00	M3	0.00	M4	0.00	M5	0.00	M6	0.00	M7		

V164 4

PERIODIC	01	1321.62	M1	-921.48	02	750.04	M2	309.42	03	112.78	04	-722.22	05	-202.90	06	-602.90	07
ACTUAL	1	01	-2.43	M1	-10.02	02	-6.43	M2	-13.37	03	4.19	04	-2.44	05	-2.44	06	
ACTUAL	2	01	-26.56	M1	-12.61	02	-12.61	M2	-31.16	03	0.61	04	-3.20	05	-13.75	06	
VE410 X	01	-0.09	M1	0.00	M2	-0.00	M3	-0.00	M4	-0.00	M5	-0.00	M6	-0.00	M7		
VE410 Y	01	0.00	M1	0.00	M2	0.00	M3	0.00	M4	0.00	M5	0.00	M6	0.00	M7		
S1549 X	01	0.00	M1	0.00	M2	0.00	M3	0.00	M4	0.00	M5	0.00	M6	0.00	M7		
S1549 Y	01	0.00	M1	0.00	M2	0.00	M3	0.00	M4	0.00	M5	0.00	M6	0.00	M7		

V164 5

PERIODIC	01	1110.34	M1	-360.44	02	257.44	M2	69.20	03	120.91	04	-220.24	05	-372.37	06	-602.90	07
ACTUAL	1	01	104.26	M1	-42.34	02	-1.71	M2	-56.14	03	16.37	04	-2.44	05	-2.44	06	
ACTUAL	2	01	169.33	M1	-51.42	02	0.10	M2	-56.17	03	6.01	04	-6.02	05	-13.75	06	
VE410 X	01	-23.94	M1	-75.46	02	-23.46	M2	-43.16	03	-22.61	04	-2.44	05	-2.44	06		
VE410 Y	01	-0.99	M1	0.00	M2	-0.00	M3	0.00	M4	-0.00	M5	-0.00	M6	-0.00	M7		
S1549 X	01	0.00	M1	0.00	M2	0.00	M3	0.00	M4	0.00	M5	0.00	M6	0.00	M7		
S1549 Y	01	0.00	M1	0.00	M2	0.00	M3	0.00	M4	0.00	M5	0.00	M6	0.00	M7		

V164 6

PERIODIC	01	1110.34	M1	-360.44	02	257.44	M2	69.20	03	120.91	04	-220.24	05	-372.37	06	-602.90	07
ACTUAL	1	01	19.94	M1	10.47	02	22.36	M2	10.47	03	7.74	04	-0.49	05	-0.49	06	
ACTUAL	2	01	75.34	M1	48.25	02	14.16	M2	35.17	03	6.01	04	-6.02	05	-13.75	06	
VE410 X	01	-22.32	M1	51.45	02	-22.22	M2	26.53	03	-22.53	04	-2.44	05	-2.44	06		
VE410 Y	01	-3.06	M1	0.00	M2	-0.00	M3	0.00	M4	-0.00	M5	-0.00	M6	-0.00	M7		
S1549 X	01	0.00	M1	0.00	M2	0.00	M3	0.00	M4	0.00	M5	0.00	M6	0.00	M7		
S1549 Y	01	0.00	M1	0.00	M2	0.00	M3	0.00	M4	0.00	M5	0.00	M6	0.00	M7		

V164 7

PERIODIC	01	667.19	M1	-820.69	02	597.46	M2	44.77	03	-120.91	04	-220.24	05	-372.37	06	-602.90	07
ACTUAL	1	01	19.94	M1	-49.25	02	67.35	M2	-4.05	03	10.71	04	-3.01	05	-3.01	06	
ACTUAL	2	01	97.44	M1	-95.76	02	69.24	M2	-44.05	03	-2.70	04	-2.70	05	-13.75	06	
VE410 X	01	-26.33	M1	53.06	02	-25.26	M2	22.14	03	-25.03	04	-2.44	05	-2.44	06		
VE410 Y	01	-0.00	M1	0.00	M2	-0.00	M3	0.00	M4	-0.00	M5	-0.00	M6	-0.00	M7		
S1549 X	01	0.00	M1	0.00	M2	0.00	M3	0.00	M4	0.00	M5	0.00	M6	0.00	M7		
S1549 Y	01	0.00	M1	0.00	M2	0.00	M3	0.00	M4	0.00	M5	0.00	M6	0.00	M7		

V164 8

PERIODIC	01	1017.24	M1	-763.05	02	629.42	M2	44.77	03	-120.91	04	-220.24	05	-372.37	06	-602.90	07
ACTUAL	1	01	76.34	M1	-49.25	02	67.35	M2	-4.05	03	10.71	04	-3.01	05	-3.01	06	
ACTUAL	2	01	97.44	M1	-95.76	02	69.24	M2	-44.05	03	-2.70	04	-2.70	05	-13.75	06	
VE410 X	01	-26.33	M1	53.06	02	-25.26	M2	22.14	03	-25.03	04	-2.44	05	-2.44	06		
VE410 Y	01	-0.00	M1	0.00	M2	-0.00	M3	0.00	M4	-0.00	M5	-0.00	M6	-0.00	M7		
S1549 X	01	0.00	M1	0.00	M2	0.00	M3	0.00	M4	0.00	M5	0.00	M6	0.00	M7		
S1549 Y	01	0.00	M1	0.00	M2	0.00	M3	0.00	M4	0.00	M5	0.00	M6	0.00	M7		

VIGA 8

PERIODIC	01	1446.02	01	-823.16	02	784.98	02	416.48	03	100.56	03	41.01	04	10.64	04	4.11	05	0.67	05	0.00	06	0.00	06	0.00
AC1051AL1	01	146.15	01	-64.72	02	71.66	02	41.01	03	10.64	03	4.11	04	1.00	04	0.24	05	58.46	05	11.62	06	2.32	06	0.00
AC1051AL2	01	146.15	01	-54.89	02	61.90	02	30.00	03	6.67	03	2.00	04	0.50	04	0.13	05	59.40	05	11.61	06	2.32	06	0.00
AC1051AL3	01	-12.86	01	36.45	02	-22.86	02	11.43	03	2.66	03	0.67	04	0.13	04	0.03	05	59.40	05	11.61	06	2.32	06	0.00
YR1051A	01	-0.00	01	0.00	02	0.00	02	-0.00	03	0.00	03	-0.00	04	0.00	04	0.00	05	59.40	05	11.61	06	2.32	06	0.00
YR1051Y	01	0.00	01	0.00	02	0.00	02	0.00	03	0.00	03	0.00	04	0.00	04	0.00	05	59.40	05	11.61	06	2.32	06	0.00
S1540X	01	0.00	01	0.00	02	0.00	02	0.00	03	0.00	03	0.00	04	0.00	04	0.00	05	59.40	05	11.61	06	2.32	06	0.00
S1540Y	01	0.00	01	0.00	02	0.00	02	0.00	03	0.00	03	0.00	04	0.00	04	0.00	05	59.40	05	11.61	06	2.32	06	0.00

VIGA 9

PERIODIC	01	1492.36	01	-57.11	02	1910.51	02	804.00	03	-200.01	03	17.01	04	1.01	04	0.24	05	1.31	05	0.22	06	0.00	06	0.00
AC1051AL1	01	145.75	01	-62.04	02	117.00	02	64.25	03	-25.14	03	1.51	04	0.47	04	0.13	05	1.04	05	0.22	06	0.00	06	0.00
AC1051AL2	01	145.75	01	-62.04	02	117.00	02	64.25	03	-25.14	03	1.51	04	0.47	04	0.13	05	1.04	05	0.22	06	0.00	06	0.00
AC1051AL3	01	-3.74	01	111.77	02	-3.74	02	111.77	03	-33.99	03	31.90	04	9.67	04	2.67	05	6.67	05	1.67	06	0.00	06	0.00
YR1051A	01	-0.00	01	0.00	02	-0.00	02	0.00	03	-0.00	03	0.00	04	0.00	04	0.00	05	-0.00	05	0.00	06	0.00	06	0.00
YR1051Y	01	0.00	01	0.00	02	0.00	02	0.00	03	0.00	03	0.00	04	0.00	04	0.00	05	0.00	05	0.00	06	0.00	06	0.00
S1540X	01	0.00	01	0.00	02	0.00	02	0.00	03	0.00	03	0.00	04	0.00	04	0.00	05	0.00	05	0.00	06	0.00	06	0.00
S1540Y	01	0.00	01	0.00	02	0.00	02	0.00	03	0.00	03	0.00	04	0.00	04	0.00	05	0.00	05	0.00	06	0.00	06	0.00

VIGA 10

PERIODIC	01	1363.96	01	-1220.07	02	812.70	02	64.25	03	-25.14	03	1.51	04	0.47	04	0.13	05	1.04	05	0.22	06	0.00	06	0.00
AC1051AL1	01	105.10	01	-77.08	02	125.05	02	67.07	03	-25.14	03	1.51	04	0.47	04	0.13	05	1.04	05	0.22	06	0.00	06	0.00
AC1051AL2	01	-12.44	01	125.05	02	-125.05	02	125.05	03	-15.44	03	-15.44	04	0.00	04	0.00	05	-15.44	05	-15.44	06	0.00	06	0.00
YR1051X	01	-0.00	01	0.00	02	-0.00	02	0.00	03	-0.00	03	0.00	04	0.00	04	0.00	05	-0.00	05	0.00	06	0.00	06	0.00
YR1051Y	01	0.00	01	0.00	02	0.00	02	0.00	03	0.00	03	0.00	04	0.00	04	0.00	05	0.00	05	0.00	06	0.00	06	0.00
S1540X	01	0.00	01	0.00	02	0.00	02	0.00	03	0.00	03	0.00	04	0.00	04	0.00	05	0.00	05	0.00	06	0.00	06	0.00
S1540Y	01	0.00	01	0.00	02	0.00	02	0.00	03	0.00	03	0.00	04	0.00	04	0.00	05	0.00	05	0.00	06	0.00	06	0.00

VIGA 11

PERIODIC	01	1192.97	01	-100.01	02	768.50	02	768.50	03	72.05	03	12.05	04	1.01	04	0.24	05	1.31	05	0.22	06	0.00	06	0.00
AC1051AL1	01	114.46	01	-91.33	02	125.05	02	67.07	03	-25.14	03	1.51	04	0.47	04	0.13	05	1.04	05	0.22	06	0.00	06	0.00
AC1051AL2	01	-43.27	01	125.05	02	-125.05	02	125.05	03	-15.44	03	-15.44	04	0.00	04	0.00	05	-15.44	05	-15.44	06	0.00	06	0.00
YR1051X	01	-15.44	01	100.00	02	0.00	02	-0.00	03	0.00	03	0.00	04	0.00	04	0.00	05	-0.00	05	0.00	06	0.00	06	0.00
YR1051Y	01	0.00	01	0.00	02	0.00	02	0.00	03	0.00	03	0.00	04	0.00	04	0.00	05	0.00	05	0.00	06	0.00	06	0.00
S1540X	01	0.00	01	0.00	02	0.00	02	0.00	03	0.00	03	0.00	04	0.00	04	0.00	05	0.00	05	0.00	06	0.00	06	0.00
S1540Y	01	0.00	01	0.00	02	0.00	02	0.00	03	0.00	03	0.00	04	0.00	04	0.00	05	0.00	05	0.00	06	0.00	06	0.00

VIGA 12

PERIODIC	01	1494.87	01	-1312.74	02	1161.65	02	434.80	03	206.71	03	126.91	04	1.01	04	0.24	05	1.31	05	0.22	06	0.00	06	0.00
AC1051AL1	01	1494.87	01	-1312.74	02	1161.65	02	434.80	03	206.71	03	126.91	04	1.01	04	0.24	05	1.31	05	0.22	06	0.00	06	0.00
AC1051AL2	01	-47.74	01	1312.74	02	-126.91	02	126.91	03	20.14	03	13.91	04	0.47	04	0.13	05	1.04	05	0.22	06	0.00	06	0.00
YR1051X	01	-33.99	01	47.74	02	-33.99	02	50.00	03	-33.99	03	50.00	04	1.01	04	0.24	05	1.31	05	0.22	06	0.00	06	0.00
YR1051Y	01	-9.01	01	0.00	02	0.00	02	0.00	03	0.00	03	0.00	04	0.00	04	0.00	05	0.00	05	0.00	06	0.00	06	0.00
S1540X	01	0.00	01	0.00	02	0.00	02	0.00	03	0.00	03	0.00	04	0.00	04	0.00	05	0.00	05	0.00	06	0.00	06	0.00
S1540Y	01	0.00	01	0.00	02	0.00	02	0.00	03	0.00	03	0.00	04	0.00	04	0.00	05	0.00	05	0.00	06	0.00	06	0.00

VIGA 13

PERIODIC	01	1352.44	01	-312.36	02	61.65	02	61.65	03	116.05	03	116.05	04	1.01	04	0.24	05	1.31	05	0.22	06	0.00	06	0.00
AC1051AL1	01	146.15	01	-64.72	02	61.65	02	61.65	03	116.05	03	116.05	04	1.01	04	0.24	05	1.31	05	0.22	06	0.00	06	0.00
AC1051AL2	01																							

Y	Q1	0.00 M1	0.00 G2	0.00 H2	0.00 I2	0.00 J2	0.00 K2	0.00 L2	0.00 M2	0.00 N2	0.00 O2	0.00 P2	0.00 Q2	0.00 R2	0.00 S2	0.00 T2	0.00 U2	0.00 V2	0.00 W2	0.00 X2	0.00 Y2	0.00 Z2
PERCENTILE	0.1	-17.05	-3.31	-1.25	6.72	0.2	9.25	-3.39	M2	126.59	0.3	-14.10	M3	618.91	0.4	-953.75	M4	96.82	0.5	-173.19	M5	-1326.26
PERCENTILE	0.1	5.57	51	-34.38	62	5.57	M2	-4.65	M2	2.57	M3	-4.65	M4	0.27	K4	-3.55	P4	2.57	M5	-31.00	M6	-31.00
PERCENTILE	0.1	60.01	41	-10.06	62	40.01	M2	40.01	M3	-3.50	M3	40.01	M4	-0.13	M4	3.50	M5	-67.35	M6	-31.00	M7	-31.00
PERCENTILE	0.1	-24.78	41	53.69	62	-24.78	M2	27.14	M3	-24.78	M3	1.10	M4	-24.78	M4	1.10	M5	-24.78	M6	-24.78	M7	-24.78
PERCENTILE	0.1	-0.09	41	0.00	62	0.00	M2	-0.09	M3	0.00	M3	0.00	M4	-0.09	M4	0.00	M5	-0.09	M6	-0.09	M7	-0.09
PERCENTILE	0.1	6.09	41	0.00	62	0.00	M2	0.00	M3	0.00	M3	0.00	M4	0.00	M4	0.00	M5	0.00	M6	0.00	M7	0.00
PERCENTILE	0.1	0.00	41	0.00	62	0.00	M2	0.00	M3	0.00	M3	0.00	M4	0.00	M4	0.00	M5	0.00	M6	0.00	M7	0.00

۲۷

٦٦

ESFORCOS NAS VIGAS - DIREÇÃO

1	185.08	-40.09	0.2	0.2.65	0.2	17.93	0.3	-44.17	M.3	26.26	0.3	-154.14	M.4	-17.36	0.3	-253.62	M.3	-105.57	M.3
2	15.69	-1.35	0.2	11.16	0.2	4.07	0.3	-0.32	M.3	7.02	0.3	-0.32	M.4	2.02	0.3	-9.71	M.3	0.55	M.3
3	-1.71	0.1	0.2	-1.75	0.2	-1.75	0.3	-7.17	M.3	-5.01	0.3	-7.17	M.4	-5.01	0.3	-7.17	M.3	-11.04	M.3
4	-5.74	0.1	0.2	-5.74	0.2	-5.74	0.3	-3.26	M.3	-3.26	0.3	-3.26	M.4	0.01	0.3	-3.26	M.3	-8.45	M.3
5	-6.04	0.1	0.2	-6.04	0.2	-6.04	0.3	-6.04	M.3	-6.04	0.3	-6.04	M.4	10.74	0.3	-6.04	M.3	-23.05	M.3
6	0.01	0.1	0.2	0.00	0.2	0.00	0.3	0.00	M.3	0.00	0.3	0.00	M.4	0.00	0.3	0.00	M.3	0.00	M.3

2

PERMANENT	01	1436.49	M1	-727.42	M2	664.38	M3	114.46	M4	126.36	M4	-793.21	M4	875.96	05	-145.15	M5	-445.66
ACTUAL 1	01	95.07	M1	-40.46	M2	73.95	M2	29.24	M3	10.71	M3	-67.50	M4	85.04	05	-100.56	M5	-17.42
ACTUAL 2	01	-1.43	M1	-1.37	M2	-1.41	M2	-1.26	M3	-1.04	M3	-1.43	M4	-16.30	M4	-1.41	M5	-2.02
ACTUAL 3	01	-5.42	M1	14.67	M2	-5.42	M2	10.71	M3	-2.42	M3	-7.42	M4	-7.42	M4	-2.42	M5	-1.37
Vr 419 A	01	-113.48	M1	396.05	M2	-113.48	M2	165.52	M3	-113.48	M3	42.00	M4	-113.48	M4	-113.48	M5	-215.42
Vr 419 Y	01	0.30	M1	0.00	M2	0.00	M2	0.00	M3	0.00	M3	0.00	M4	0.00	M4	0.00	M5	0.00
SIS 0 Y	01	0.63	M1	0.00	M2	0.00	M2	0.00	M3	0.00	M3	0.00	M4	0.00	M4	0.00	M5	0.00

VISA 4

PERMANENT	01	246.09	M1	-69.39	M2	191.44	M2	16.03	M3	12.20	M3	59.81	M4	-122.47	M4	34.14	M5	-35.34
ACTUAL 1	01	25.19	M1	-9.16	M2	17.67	M2	0.40	M3	-2.67	M3	3.06	M4	-16.17	M4	-8.90	M5	-8.90
ACTUAL 2	01	-4.24	M1	-9.63	M2	10.07	M2	0.10	M3	-3.13	M3	3.06	M4	-15.00	M4	-21.22	M5	-21.22
ACTUAL 3	01	-1.41	M1	3.07	M2	-5.07	M2	-3.07	M3	-1.07	M3	1.07	M4	-9.07	M4	-3.07	M5	-1.50
Vr 419 A	01	-137.43	M1	162.12	M2	-157.43	M2	104.71	M3	-137.43	M3	45.30	M4	-137.43	M4	-137.43	M5	-71.21
Vr 419 Y	01	0.00	M1	0.00	M2	0.00	M2	0.00	M3	0.00	M3	0.00	M4	0.00	M4	0.00	M5	0.00
SIS 0 Y	01	0.00	M1	0.00	M2	0.00	M2	0.00	M3	0.00	M3	0.00	M4	0.00	M4	0.00	M5	0.00

VISA 5

PERMANENT	01	163.97	M1	-87.56	M2	75.20	M2	-6.67	M3	-15.20	M3	-23.20	M4	-33.20	M4	24.00	M5	-27.07
ACTUAL 1	01	23.42	M1	-12.82	M2	12.52	M2	-1.00	M3	-1.37	M3	1.37	M4	-12.52	M4	-2.71	M5	-3.71
ACTUAL 2	01	-2.71	M1	-14.22	M2	-17.09	M2	-0.74	M3	-7.13	M3	-3.13	M4	-17.09	M4	-1.71	M5	-3.07
ACTUAL 3	01	-2.34	M1	3.07	M2	-2.79	M2	-2.01	M3	-2.01	M3	0.36	M4	-2.79	M4	-1.01	M5	-3.07
Vr 419 A	01	-126.51	M1	161.65	M2	-128.61	M2	117.93	M3	-128.61	M3	1.93	M4	-128.61	M4	-1.93	M5	-1.93
Vr 419 Y	01	0.00	M1	0.00	M2	0.00	M2	0.00	M3	0.00	M3	0.00	M4	0.00	M4	0.00	M5	0.00
SIS 0 Y	01	0.00	M1	0.00	M2	0.00	M2	0.00	M3	0.00	M3	0.00	M4	0.00	M4	0.00	M5	0.00

VISA 6

PERMANENT	01	163.97	M1	-87.56	M2	75.20	M2	-6.67	M3	-15.20	M3	-23.20	M4	-33.20	M4	24.00	M5	-27.07
ACTUAL 1	01	174.60	M1	-77.55	M2	124.49	M2	9.02	M3	10.02	M3	-12.50	M4	-12.44	M4	-1.71	M5	-2.71
ACTUAL 2	01	142.45	M1	-13.42	M2	113.41	M2	8.47	M3	12.22	M3	1.20	M4	11.07	M4	-1.02	M5	-2.02
ACTUAL 3	01	-2.11	M1	3.07	M2	-2.11	M2	1.47	M3	-2.11	M3	-1.02	M4	-2.11	M4	-2.11	M5	-0.01
Vr 419 A	01	-92.51	M1	0.00	M2	-62.62	M2	62.62	M3	-0.00	M3	-44.50	M4	-2.50	M4	-2.50	M5	-2.50
Vr 419 Y	01	0.00	M1	0.00	M2	0.00	M2	0.00	M3	0.00	M3	0.00	M4	0.00	M4	0.00	M5	0.00
SIS 0 Y	01	0.00	M1	0.00	M2	0.00	M2	0.00	M3	0.00	M3	0.00	M4	0.00	M4	0.00	M5	0.00

VISA 7

PERMANENT	01	232.70	M1	-71.20	M2	142.43	M2	117.20	M3	122.00	M3	65.60	M4	-11.60	M4	56.00	M5	-1.15
ACTUAL 1	01	25.39	M1	-9.63	M2	17.67	M2	0.35	M3	-2.35	M3	3.06	M4	-12.20	M4	-1.20	M5	-1.20
ACTUAL 2	01	25.39	M1	-9.63	M2	17.67	M2	0.35	M3	-2.35	M3	3.06	M4	-12.20	M4	-1.20	M5	-1.20
ACTUAL 3	01	0.00	M1	-14.01	M2	17.67	M2	0.00	M3	-1.00	M3	0.00	M4	-1.00	M4	0.00	M5	0.00
Vr 419 A	01	0.00	M1	-14.01	M2	-15.64	M2	-1.00	M3	-1.00	M3	0.00	M4	-1.00	M4	-1.00	M5	-1.00
Vr 419 Y	01	0.00	M1	0.00	M2	0.00	M2	0.00	M3	0.00	M3	0.00	M4	0.00	M4	0.00	M5	0.00
SIS 0 Y	01	0.00	M1	0.00	M2	0.00	M2	0.00	M3	0.00	M3	0.00	M4	0.00	M4	0.00	M5	0.00

VISA 8

PERMANENT	01	203.12	M1	-74.43	M2	41.39	M2	-7.11	M3	-130.10	M3	-14.42	M4	-30.34	M4	56.00	M5	-10.30
ACTUAL 1	01	203.12	M1	-74.43	M2	41.39	M2	-7.11	M3	-130.10	M3	-14.42	M4	-30.34	M4	56.00	M5	-10.30
ACTUAL 2	01	0.00	M1	0.00	M2	0.00	M2	0.00	M3	0.00	M3	0.00	M4	0.00	M4	0.00	M5	0.00
ACTUAL 3	01	0.00	M1	0.00	M2	0.00	M2	0.00	M3	0.00	M3	0.00	M4	0.00	M4	0.00	M5	0.00
Vr 419 A	01	0.00	M1	0.00	M2	0.00	M2	0.00	M3	0.00	M3	0.00	M4	0.00	M4	0.00	M5	0.00
Vr 419 Y	01	0.00	M1	0.00	M2	0.00	M2	0.00	M3	0.00	M3	0.00	M4	0.00	M4	0.00	M5	0.00
SIS 0 Y	01	0.00	M1	0.00	M2	0.00	M2	0.00	M3	0.00	M3	0.00	M4	0.00	M4	0.00	M5	0.00

VIGA 9

PERMANENTE	01	1909.49	M1	-741.16	42	1363.64	M2	1156.53	M3	165.14	M4	2092.45	M5	-152.24	M6	1405.62	M7	-204.55	M8	-201.30
ACUERDOS 1	01	145.07	M1	-70.16	02	113.01	M2	62.15	M3	14.02	M4	164.45	M5	-105.50	M6	-105.50	M7	-3.43	M8	
ACUERDOS 2	01	145.07	M1	-70.16	02	113.01	M2	62.15	M3	14.02	M4	164.45	M5	-105.50	M6	-105.50	M7	-3.43	M8	
ACUERDOS X	01	0.00	M1	0.00	02	0.00	M2	0.00	M3	0.00	M4	0.00	M5	0.00	M6	0.00	M7	0.00	M8	
VERG 1 X	01	-145.07	M1	179.45	02	-90.02	M2	55.77	M3	-90.02	M4	-46.40	M5	-152.07	M6	-152.07	M7	0.00	M8	
VERG 1 Y	01	0.00	M1	0.00	02	0.00	M2	0.00	M3	0.00	M4	0.00	M5	0.00	M6	0.00	M7	-256.64	M8	
SIS 5 Z	01	0.00	M1	0.00	02	0.00	M2	0.00	M3	0.00	M4	0.00	M5	0.00	M6	0.00	M7	0.00	M8	
SIS 5 Y	01	0.00	M1	0.00	02	0.00	M2	0.00	M3	0.00	M4	0.00	M5	0.00	M6	0.00	M7	0.00	M8	

VIGA 10

PERMANENTE	01	295.14	M1	-742.77	02	201.65	M2	16.87	M3	22.20	M4	64.92	M5	-112.41	M6	-145.87	M7	-21.60
ACUERDOS 1	01	27.70	M1	-79.02	02	17.45	M2	-6.01	M3	-2.04	M4	3.42	M5	-12.24	M6	-16.00	M7	-6.25
ACUERDOS 2	01	27.70	M1	-79.02	02	17.45	M2	-6.01	M3	-2.04	M4	3.42	M5	-12.24	M6	-16.00	M7	-6.25
ACUERDOS X	01	0.00	M1	0.00	02	0.00	M2	0.00	M3	0.00	M4	0.00	M5	0.00	M6	0.00	M7	0.00
VERG 1 X	01	-145.07	M1	3.10	02	-3.47	M2	-1.19	M3	-0.31	M4	0.12	M5	-1.19	M6	-1.19	M7	-0.31
VERG 1 Y	01	-145.07	M1	154.92	02	-154.92	M2	0.00	M3	-2.15	M4	3.10	M5	0.00	M6	0.00	M7	0.00
SIS 5 Z	01	0.00	M1	0.00	02	0.00	M2	0.00	M3	-136.95	M4	30.32	M5	-136.95	M6	-136.95	M7	0.00
SIS 5 Y	01	0.00	M1	0.00	02	0.00	M2	0.00	M3	0.00	M4	0.00	M5	0.00	M6	0.00	M7	0.00

VIGA 11

PERMANENTE	01	169.14	M1	-79.00	02	89.42	M2	-2.29	M3	-159.07	M4	-25.10	M5	-366.00	M6	-366.00	M7	-445.40
ACUERDOS 1	01	25.09	M1	-13.09	02	1.42	M2	-0.30	M3	-6.00	M4	2.79	M5	-12.00	M6	-12.00	M7	-3.10
ACUERDOS 2	01	25.09	M1	-13.09	02	1.42	M2	-0.30	M3	-6.00	M4	2.79	M5	-12.00	M6	-12.00	M7	-3.10
ACUERDOS X	01	0.00	M1	0.00	02	0.00	M2	0.00	M3	0.00	M4	0.00	M5	0.00	M6	0.00	M7	0.00
VERG 1 X	01	-145.07	M1	3.10	02	-3.47	M2	-1.19	M3	-0.31	M4	0.12	M5	-1.19	M6	-1.19	M7	-0.31
VERG 1 Y	01	-145.07	M1	173.77	02	-173.77	M2	0.00	M3	-2.15	M4	3.10	M5	0.00	M6	0.00	M7	0.00
SIS 5 Z	01	0.00	M1	0.00	02	0.00	M2	0.00	M3	-136.95	M4	30.32	M5	-136.95	M6	-136.95	M7	0.00
SIS 5 Y	01	0.00	M1	0.00	02	0.00	M2	0.00	M3	0.00	M4	0.00	M5	0.00	M6	0.00	M7	0.00

VIGA 12

PERMANENTE	01	1479.37	M1	-644.47	02	1424.12	M2	1110.13	M3	221.06	M4	217.00	M5	-1326.14	M6	-1326.14	M7	-222.65
ACUERDOS 1	01	140.22	M1	-73.63	02	113.46	M2	32.03	M3	15.30	M4	161.90	M5	-110.26	M6	-110.26	M7	-2.61
ACUERDOS 2	01	140.22	M1	-73.63	02	113.46	M2	32.03	M3	15.30	M4	161.90	M5	-110.26	M6	-110.26	M7	-2.61
ACUERDOS X	01	0.00	M1	0.00	02	0.00	M2	0.00	M3	0.00	M4	0.00	M5	0.00	M6	0.00	M7	0.00
VERG 1 X	01	-6.79	M1	-6.79	02	1.14	M2	-0.04	M3	0.00	M4	1.14	M5	-0.04	M6	-0.04	M7	0.00
VERG 1 Y	01	0.00	M1	0.00	02	0.00	M2	0.00	M3	0.00	M4	0.00	M5	0.00	M6	0.00	M7	0.00
SIS 5 Z	01	0.00	M1	0.00	02	0.00	M2	0.00	M3	0.00	M4	0.00	M5	0.00	M6	0.00	M7	0.00
SIS 5 Y	01	0.00	M1	0.00	02	0.00	M2	0.00	M3	0.00	M4	0.00	M5	0.00	M6	0.00	M7	0.00

VIGA 13

PERMANENTE	01	1652.08	M1	-40.03	02	92.00	M2	17.29	M3	-44.17	M4	26.20	M5	-117.03	M6	-117.03	M7	-115.57
ACUERDOS 1	01	-7.17	M1	-1.10	02	-7.17	M2	-1.10	M3	-7.17	M4	-7.17	M5	-117.03	M6	-117.03	M7	-115.57
ACUERDOS 2	01	15.62	M1	-1.39	02	11.14	M2	4.07	M3	-9.32	M4	7.02	M5	-117.03	M6	-117.03	M7	-115.57
ACUERDOS X	01	3.74	M1	-2.37	02	3.74	M2	-6.14	M3	-3.74	M4	-2.20	M5	-117.03	M6	-117.03	M7	-115.57
VERG 1 X	01	-6.04	M1	112.99	02	76.27	M2	0.00	M3	-80.04	M4	44.70	M5	-10.47	M6	-10.47	M7	-24.04
VERG 1 Y	01	0.00	M1	0.00	02	0.00	M2	0.00	M3	0.00	M4	0.00	M5	0.00	M6	0.00	M7	0.00
SIS 5 Z	01	0.00	M1	0.00	02	0.00	M2	0.00	M3	0.00	M4	0.00	M5	0.00	M6	0.00	M7	0.00
SIS 5 Y	01	0.00	M1	0.00	02	0.00	M2	0.00	M3	0.00	M4	0.00	M5	0.00	M6	0.00	M7	0.00

VIGA 14

PERMANENTE	01	458.75	M1	-128.48	02	61.02	M2	140.12	M3	84.95	M4	-39.10	M5	-601.00	M6	-301.00	M7	-31.43
ACUERDOS 1	01	22.01	M1	-8.25	02	18.04	M2	3.92	M3	3.92	M4	10.07	M5	-12.35	M6	-12.35	M7	0.26
ACUERDOS 2	01	-7.03	M1	0.32	02	7.03	M2	-6.28	M3	-7.03	M4	-7.03	M5	-12.03	M6	-12.03	M7	-11.19
ACUERDOS X	01	5.07	M1	-7.03	02	5.07	M2	-7.03	M3	-7.03	M4	0.07	M5	-12.03	M6	-12.03	M7	-11.19
VERG 1 X	01	-145.07	M1	158.12	02	-143.08	M2	158.12	M3	-143.08	M4	-143.08	M5	-143.08	M6	-143.08	M7	-12.04
VERG 1 Y	01	0.00	M1	0.00	02	0.00	M2	0.00	M3	0.00	M4	0.00	M5	0.00	M6	0.00	M7	0.00

PERMANENCE	01	1464-44	M1	-123-51	02	897-42	M2	674-38	03	119-40	M3	126-10	04	0.00	M4	0.00	M5	0.00	M6	0.00	M7	0.00	M8	0.00
ACCIDENTAL 1	01	-1-43	M1	-13-54	02	-1-43	M2	-15-24	03	-1-43	M3	-16-24	04	-1-43	M4	-16-20	M5	-1-43	M6	-20-24	M7	-20-24	M8	-20-24
ACCIDENTAL 2	01	63-07	M1	-4-0-46	02	13-78	M2	59-24	03	16-71	M3	110-05	04	-6-1-30	M4	85-04	M5	-10-56	M6	-17-73	M7	-17-73	M8	-17-73
DR. FIO A.	01	2-45	M1	-14-76	02	5-42	M2	-7-45	03	2-42	M3	-2-18	04	2-42	M4	4-7	M5	2-42	M6	10-7	M7	10-7	M8	10-7
PERMANENCE	01	-113-43	M1	306-05	02	-113-48	M2	175-55	03	-113-48	M3	45-06	04	-113-08	M4	-60-44	M5	-113-46	M6	-215-34	M7	-215-34	M8	-215-34
PERMANENCE	01	0-00	M1	0-00	02	0-00	M2	0-00	03	0-00	M3	0-00	04	0-00	M4	0-00	M5	0-00	M6	0-00	M7	0-00	M8	0-00
PERMANENCE	01	0-00	M1	0-00	02	0-00	M2	0-00	03	0-00	M3	0-00	04	0-00	M4	0-00	M5	0-00	M6	0-00	M7	0-00	M8	0-00

5.4 - SOLICITAÇÕES DE CÁLCULO E ARMADURAS

Apresentamos, nas páginas seguintes, os resultados finais, que constam das solicitações de cálculo e das áreas de armadura para cada membro da estrutura.

Para os pilares, publicam-se a força normal máxima e a mínima, o momento fletor de cálculo na situação de flexo-compressão e a área de armadura longitudinal em cada face; a força cortante segundo X e Y e a área de armadura transversal, necessária para resistir a ela.

Quanto às vigas, são impressos, para cada uma das cinco seções, o máximo momento positivo e o máximo negativo, com as armaduras longitudinais inferior e superior correspondentes; a força cortante, com a respectiva armadura transversal e o ângulo que a mesma forma com o eixo longitudinal da viga.

PISO. DE CIMA PARA BAIXO = 1

SOLICITAÇÕES DE CÁLCULO E ARMADURAS NECESSÁRIAS DOS PILARES

PILAR 1

FORÇA VERTICAL MÁXIMA = 2416.05 KGf FORÇA NORMAL MÍNIMA = 2088.66 KGf
 MOMENTO FLEXIONAL DE CÁLCULO NA SITUAÇÃO DE FLEXOCOMPRESSÃO: 1018.66 KGf.m CURTAINAS: QX = 318.38 KGf QY = 154.58 KGf
 ARMADURAS - LONGITUDINAL PUNK FACE: AST01/4 = 1.33 CM² - TRANSVERSAL PUNK METRÔ: AST = 0.00 CM²/M

PILAR 2

FORÇA VERTICAL MÁXIMA = 2416.05 KGf FORÇA NORMAL MÍNIMA = 4520.70 KGf
 MOMENTO FLEXIONAL DE CÁLCULO NA SITUAÇÃO DE FLEXOCOMPRESSÃO: 754.21 KGf.m CURTAINAS: QX = 150.73 KGf QY = 268.35 KGf
 ARMADURAS - LONGITUDINAL PUNK FACE: AST01/4 = 0.80 CM² - TRANSVERSAL PUNK METRÔ: AST = 0.00 CM²/M

PILAR 3

FORÇA VERTICAL MÁXIMA = 5686.90 KGf FORÇA NORMAL MÍNIMA = 526.11 KGf
 MOMENTO FLEXIONAL DE CÁLCULO NA SITUAÇÃO DE FLEXOCOMPRESSÃO: 676.48 KGf.m CURTAINAS: QX = 101.34 KGf QY = 251.44 KGf
 ARMADURAS - LONGITUDINAL PUNK FACE: AST01/4 = 0.80 CM² - TRANSVERSAL PUNK METRÔ: AST = 0.00 CM²/M

PLATE 4

FORCA NORMAL MAXIMA = 5162.10 KGF
MIGAR 1.15 FLÉTUR DE CALCULO NA SITUAÇÃO DE FLEXOCOMPRESSAO:
ARMADAS = LONITIJINAL P/M FACE: AST01/4 = 0.80 CM2 - TRANSVERSAL P/M METRO: AST = 0.00 CM2/M
CURTANTES: UX = 150.73 KGF UR = 254.05 KGF

PLATE 5

FORCA NORMAL MAXIMA = 2416.08 KGF FORCA NORMAL MINIMA = 2088.68 KGF
MIGAR 1.15 FLÉTUR DE CALCULO NA SITUAÇÃO DE FLEXOCOMPRESSAO:
ARMADAS = LONITIJINAL P/M FACE: AST01/4 = 1.36 CM2 - TRANSVERSAL P/M METRO: AST = 0.00 CM2/M
CURTANTES: UX = 318.93 KGF UR = 130.58 KGF

PLATE 6

FORCA NORMAL MAXIMA = 3319.32 KGF FORCA NORMAL MINIMA = 2854.93 KGF
MIGAR 1.15 FLÉTUR DE CALCULO NA SITUAÇÃO DE FLEXOCOMPRESSAO:
ARMADAS = LONITIJINAL P/M FACE: AST01/4 = 1.43 CM2 - TRANSVERSAL P/M METRO: AST = 0.00 CM2/M
CURTANTES: UX = 303.23 KGF UR = 166.04 KGF

PLATE 7

FORCA NORMAL MAXIMA = 4725.94 KGF FORCA NORMAL MINIMA = 4059.44 KGF
MIGAR 1.15 FLÉTUR DE CALCULO NA SITUAÇÃO DE FLEXOCOMPRESSAO:
ARMADAS = LONITIJINAL P/M FACE: AST01/4 = 0.80 CM2 - TRANSVERSAL P/M METRO: AST = 0.00 CM2/M
CURTANTES: UX = 112.03 KGF UR = 203.21 KGF

PLATE 8

FORCA NORMAL MAXIMA = 4441.53 KGF FORCA NORMAL MINIMA = 3768.14 KGF
MIGAR 1.15 FLÉTUR DE CALCULO NA SITUAÇÃO DE FLEXOCOMPRESSAO:
ARMADAS = LONITIJINAL P/M FACE: AST01/4 = 0.80 CM2 - TRANSVERSAL P/M METRO: AST = 0.00 CM2/M
CURTANTES: UX = 114.62 KGF UR = 323.12 KGF

PLATE 9

FORCA NORMAL MAXIMA = 4639.94 KGF FORCA NORMAL MINIMA = 4000.17 KGF
MIGAR 1.15 FLÉTUR DE CALCULO NA SITUAÇÃO DE FLEXOCOMPRESSAO:
ARMADAS = LONITIJINAL P/M FACE: AST01/4 = 0.80 CM2 - TRANSVERSAL P/M METRO: AST = 0.00 CM2/M
CURTANTES: UX = 193.74 KGF UR = 314.12 KGF

PLATE 10

FORCA NORMAL MAXIMA = 3404.00 KGF FORCA NORMAL MINIMA = 2814.99 KGF
MIGAR 1.15 FLÉTUR DE CALCULO NA SITUAÇÃO DE FLEXOCOMPRESSAO:
ARMADAS = LONITIJINAL P/M FACE: AST01/4 = 1.50 CM2 - TRANSVERSAL P/M METRO: AST = 0.00 CM2/M
CURTANTES: UX = 583.44 KGF UR = 166.04 KGF

PLATE 11

FORCA NORMAL MAXIMA = 6620.44 KGF FORCA NORMAL MINIMA = 5950.01 KGF
MIGAR 1.15 FLÉTUR DE CALCULO NA SITUAÇÃO DE FLEXOCOMPRESSAO:
ARMADAS = LONITIJINAL P/M FACE: AST01/4 = 3.00 CM2 - TRANSVERSAL P/M METRO: AST = 0.00 CM2/M
CURTANTES: UX = 1257.53 KGF UR = 896.57 KGF

PLATE 12

FORCA NORMAL MAXIMA = 9278.14 KGF FORCA NORMAL MINIMA = 7791.26 KGF
MIGAR 1.15 FLÉTUR DE CALCULO NA SITUAÇÃO DE FLEXOCOMPRESSAO:
ARMADAS = LONITIJINAL P/M FACE: AST01/4 = 1.90 CM2 - TRANSVERSAL P/M METRO: AST = 0.00 CM2/M
CURTANTES: UX = 201.89 KGF UR = 792.40 KGF

PILAR 13

FORCA NORMAL MAXIMA = 924.074 KGF FORCA NORMAL MINIMA = 702.044 KGF
MOMENTO DE FLEIÇÃO DE CALCULO NA SITUAÇÃO DE FLEXOCOMPRESSAO: 1530.36 KGF CURTANES: UX = 0.00 CM2/M
ARMADURA = LARGITUDINAL P/ FACE: AST01/4 = 1.54 CM2 - TRANSVERSAL P/UR METRO: AST = 0.00 CM2/M

PILAR 14

FORCA NORMAL MAXIMA = 9308.25 KGF FORCA NORMAL MINIMA = 7962.17 KGF
MOMENTO DE FLEIÇÃO DE CALCULO NA SITUAÇÃO DE FLEXOCOMPRESSAO: 1720.01 KGF CURTANES: UX = 0.00 CM2/M
ARMADURA = LARGITUDINAL P/ FACE: AST01/4 = 1.70 CM2 - TRANSVERSAL P/UR METRO: AST = 0.00 CM2/M

PILAR 15

FORCA NORMAL MAXIMA = 6520.45 KGF FORCA NORMAL MINIMA = 5950.01 KGF
MOMENTO DE FLEIÇÃO DE CALCULO NA SITUAÇÃO DE FLEXOCOMPRESSAO: 3150.70 KGF CURTANES: UX = 0.00 CM2/M
ARMADURA = LARGITUDINAL P/ FACE: AST01/4 = 3.00 CM2 - TRANSVERSAL P/UR METRO: AST = 0.00 CM2/M

PILAR 16

FORCA NORMAL MAXIMA = 4756.00 KGF FORCA NORMAL MINIMA = 4150.16 KGF
MOMENTO DE FLEIÇÃO DE CALCULO NA SITUAÇÃO DE FLEXOCOMPRESSAO: 1781.24 KGF CURTANES: UX = 0.00 CM2/M
ARMADURA = LARGITUDINAL P/ FACE: AST01/4 = 2.29 CM2 - TRANSVERSAL P/UR METRO: AST = 0.00 CM2/M

PILAR 17

FORCA NORMAL MAXIMA = 8747.00 KGF FORCA NORMAL MINIMA = 7439.06 KGF
MOMENTO DE FLEIÇÃO DE CALCULO NA SITUAÇÃO DE FLEXOCOMPRESSAO: 1884.02 KGF CURTANES: UX = 0.00 CM2/M
ARMADURA = LARGITUDINAL P/ FACE: AST01/4 = 2.07 CM2 - TRANSVERSAL P/UR METRO: AST = 0.00 CM2/M

PILAR 18

FORCA NORMAL MAXIMA = 8743.20 KGF FORCA NORMAL MINIMA = 7681.84 KGF
MOMENTO DE FLEIÇÃO DE CALCULO NA SITUAÇÃO DE FLEXOCOMPRESSAO: 1740.52 KGF CURTANES: UX = 0.00 CM2/M
ARMADURA = LARGITUDINAL P/ FACE: AST01/4 = 1.83 CM2 - TRANSVERSAL P/UR METRO: AST = 0.00 CM2/M

PILAR 19

FORCA NORMAL MAXIMA = 4756.00 KGF FORCA NORMAL MINIMA = 4150.16 KGF
MOMENTO DE FLEIÇÃO DE CALCULO NA SITUAÇÃO DE FLEXOCOMPRESSAO: 1942.82 KGF CURTANES: UX = 0.00 CM2/M
ARMADURA = LARGITUDINAL P/ FACE: AST01/4 = 2.10 CM2 - TRANSVERSAL P/UR METRO: AST = 0.00 CM2/M

PILAR 20

FORCA NORMAL MAXIMA = 4756.00 KGF FORCA NORMAL MINIMA = 4150.16 KGF
MOMENTO DE FLEIÇÃO DE CALCULO NA SITUAÇÃO DE FLEXOCOMPRESSAO: 1751.01 KGF CURTANES: UX = 0.00 CM2/M
ARMADURA = LARGITUDINAL P/ FACE: AST01/4 = 2.24 CM2 - TRANSVERSAL P/UR METRO: AST = 0.00 CM2/M

SOLICITACOES DE CALCULO E ARMADURAS NECESSARIAS DAS VIAS NA DIRECAO X

SEÇÃO	NOM. MÁXIMO (KGFM)	NOM. MÍNIMO (KGFM)	CORANTE • (KGFM)	ARMAU. INF. (CMZ)	ARMAU. SUP. (CMZ)	ARM. TRANSV. (CMZ)	ARMAD. SUP.	
							(CMZ)	(CMZ)
V154	1	-424.4	-669.0	1673.1	0.00	1.00	2.10	2.10
	2	420.4	767.5	800.5	1.00	0.00	2.10	2.10
	3	1643.1	1126.5	159.8	1.00	0.00	2.10	2.10
	4	494.7	417.0	102.1	1.00	0.00	2.10	2.10
	5	-1236.2	-1376.2	1674.5	0.00	1.00	2.10	2.10
V155	1	-1191.3	-1301.5	2126.9	0.00	1.00	2.10	2.10
	2	423.3	326.5	1073.4	1.00	0.00	2.10	2.10
	3	863.2	825.2	162.7	1.00	0.00	2.10	2.10
	4	123.6	53.2	1303.9	1.00	0.00	2.10	2.10
	5	-1746.9	-1662.0	2382.0	0.00	1.00	2.10	2.10
V156	1	-1746.9	-1966.0	2447.1	0.00	1.00	2.10	2.10
	2	123.5	53.2	1365.6	1.00	0.00	2.10	2.10
	3	663.3	623.2	116.0	1.00	0.00	2.10	2.10
	4	420.5	326.5	1063.6	1.00	0.00	2.10	2.10
	5	-1191.3	-1361.5	2102.0	0.00	1.00	2.10	2.10
V156	1	-1302.2	-1316.0	1908.7	0.00	1.00	2.10	2.10
	2	494.7	417.0	1130.4	1.00	0.00	2.10	2.10
	3	1643.1	1126.5	197.2	1.00	0.00	2.10	2.10
	4	420.4	767.5	740.8	1.00	0.00	2.10	2.10
	5	-424.1	-669.0	1908.9	0.00	1.00	2.10	2.10
V156	1	-1302.2	-1316.0	1908.7	0.00	1.00	2.10	2.10
	2	494.7	417.0	1130.4	1.00	0.00	2.10	2.10
	3	1643.1	1126.5	197.2	1.00	0.00	2.10	2.10
	4	420.4	767.5	740.8	1.00	0.00	2.10	2.10
	5	-424.1	-669.0	1908.9	0.00	1.00	2.10	2.10
V156	1	-405.5	-735.2	1837.3	0.00	1.00	2.10	2.10
	2	1174.5	872.2	950.2	1.00	0.00	2.10	2.10
	3	1563.4	1263.9	202.2	1.00	0.00	2.10	2.10
	4	674.6	315.1	1225.8	1.00	0.00	2.10	2.10
	5	-1164.3	-1407.1	2027.5	0.00	1.00	2.10	2.10
V156	1	-1074.6	-1386.7	1631.7	0.00	1.00	2.10	2.10
	2	137.4	25.1	1010.8	1.00	0.00	2.10	2.10
	3	593.6	492.1	445.6	1.00	0.00	2.10	2.10
	4	66.1	-101.7	1012.7	1.00	0.00	2.10	2.10
	5	-1133.1	-1510.5	1055.6	0.00	1.00	2.10	2.10

7

1	-1134.4	-1548.1	1733.4	0.00	1.00	2.10
2	85.1	5.7	1110.5	1.00	0.00	2.10
3	641.4	267.0	74.7	1.00	0.00	2.10
4	215.2	77.9	411.0	1.00	0.00	2.10
5	265.2	-1273.3	1553.9	0.00	1.00	2.10
6	2424.0	-261.2	1848.0	0.00	1.00	2.10
7	1	-11348.6	2066.8	0.00	1.00	2.10
8	5.5	267.6	1325.1	1.00	0.00	2.10
9	1544.9	1292.4	142.1	1.00	0.00	2.10
10	1155.0	672.1	440.9	1.00	0.00	2.10
11	4224.0	-761.2	1848.0	0.00	1.00	2.10

VIGA 8

1	-1065.1	-1630.7	2045.6	0.00	1.00	2.10
2	490.7	1025.1	1729.6	1.00	0.00	2.10
3	251.7	1752.7	337.0	1.11	0.00	2.10
4	751.7	597.2	1666.1	1.00	0.00	2.10
5	-1352.2	-2197.2	2701.8	0.00	1.11	2.10
6	1	-1065.2	-2010.3	2124.2	0.00	1.00
7	-32.3	-65.9	1443.4	0.00	1.00	2.10
8	752.4	656.4	44.4	1.00	0.00	2.10
9	131.6	72.4	1254.6	1.00	0.00	2.10
10	-1352.2	-1116.4	1935.4	0.00	1.00	2.10

VIGA 9

1	-1065.2	-2010.3	2124.2	0.00	1.00	2.10
2	-32.3	-65.9	1443.4	0.00	1.00	2.10
3	752.4	656.4	44.4	1.00	0.00	2.10
4	131.6	72.4	1254.6	1.00	0.00	2.10
5	-1352.2	-1116.4	1935.4	0.00	1.00	2.10
6	1	-1065.2	-1716.4	1476.8	0.00	1.00
7	131.6	72.4	1296.0	1.00	0.00	2.10
8	752.4	656.4	44.4	1.00	0.00	2.10
9	-68.9	-68.9	1400.0	0.00	1.00	2.10
10	-1665.3	-2010.3	2800.8	0.00	1.00	2.10

VIGA 10

1	-1065.2	-1716.4	1476.8	0.00	1.00	2.10
2	131.6	72.4	1296.0	1.00	0.00	2.10
3	752.4	656.4	44.4	1.00	0.00	2.10
4	-68.9	-68.9	1400.0	0.00	1.00	2.10
5	-1665.3	-2010.3	2800.8	0.00	1.00	2.10
6	1	-1065.4	-2147.2	2747.0	0.00	1.11
7	131.6	59.2	1561.2	1.00	0.00	2.10
8	752.7	1752.7	377.4	1.11	0.00	2.10
9	1400.1	1025.1	1054.4	1.00	0.00	2.10
10	-1665.1	-1630.7	2750.4	0.00	1.00	2.10
11	1	-1065.4	-2147.2	2747.0	0.00	1.11
12	131.6	59.2	1561.2	1.00	0.00	2.10
13	752.7	1752.7	377.4	1.11	0.00	2.10
14	1400.1	1025.1	1054.4	1.00	0.00	2.10
15	-1665.1	-1630.7	2750.4	0.00	1.00	2.10

VIGA 11

1	-1065.4	-2147.2	2747.0	0.00	1.11	2.10
2	131.6	59.2	1561.2	1.00	0.00	2.10
3	752.7	1752.7	377.4	1.11	0.00	2.10
4	1400.1	1025.1	1054.4	1.00	0.00	2.10
5	-1665.1	-1630.7	2750.4	0.00	1.00	2.10
6	1	-1065.4	-2147.2	2747.0	0.00	1.11
7	131.6	59.2	1561.2	1.00	0.00	2.10
8	752.7	1752.7	377.4	1.11	0.00	2.10
9	1400.1	1025.1	1054.4	1.00	0.00	2.10
10	-1665.1	-1630.7	2750.4	0.00	1.00	2.10

VIGA 12

1	-1065.7	-665.5	2071.7	0.00	1.00	2.10
2	162.6	1126.8	1078.5	1.00	0.00	2.10
3	162.4	1516.7	408.3	1.00	0.00	2.10
4	400.2	322.1	1507.8	1.00	0.00	2.10
5	-1784.7	-2036.7	2438.4	0.00	1.00	2.10

VIGA 13

VIGA 14

-1755.7	-1950.1	2514.7	0.00	1.05	2.10
255.8	167.3	199.1	1.00	0.00	2.10
899.0	664.8	54.5	1.00	0.00	2.10
170.4	42.0	137.0	1.00	0.00	2.10
-1665.4	-2019.0	2479.6	0.00	1.05	2.10
-1755.7	-2019.0	2544.0	0.00	1.05	2.10
255.8	45.5	1454.1	1.00	0.00	2.10
899.0	664.8	51.9	1.00	0.00	2.10
170.4	125.3	1330.4	1.00	0.00	2.10
-1665.4	-1950.1	2442.3	0.00	1.05	2.10
-1755.7	-2019.0	2544.0	0.00	1.05	2.10
255.8	45.5	1454.1	1.00	0.00	2.10
899.0	664.8	51.9	1.00	0.00	2.10
170.4	125.3	1330.4	1.00	0.00	2.10
-1665.4	-1950.1	2442.3	0.00	1.05	2.10

۵۰

-1784.7	-2035.7	2516.2	0.00	1.06	2.10
486.2	347.1	1645.6	1.06	0.00	2.10
1699.4	1518.7	440.2	1.06	0.00	2.10
1156.8	1156.8	1000.7	1.06	0.00	2.10
-4061.7	-662.5	1955.9	0.00	1.06	2.10

SOLICITAÇÕES DE CALCULO E ARMADURA NECESSÁRIAS DAS VIGAS NA DIRECAU Y

MUHAMMAD ABDUL RAHMAN	MUMIN YAHYU	LUTTANTE (NGF)	ABDUL MAJID INF.	ABDUL RAHMAN
(KURM)	(KURM)		(CMZ)	(CMZ)

102.1	-214.7	393.1	6.65	0.50
139.3	-66.5	255.4	0.50	0.50
120.2	-26.2	175.9	0.50	0.50
-74.9	-44.8	533.4	0.00	0.50
-115.7	-194.5	467.5	0.00	0.50

9

6

2	166.3	-132.1	508.6	0.00	0.00	2.10
3	156.4	20.3	201.4	0.70	0.00	2.10
4	66.1	26.3	303.9	0.50	0.00	2.10
5	50.6	-175.8	403.4	0.00	0.00	2.10

V164 6

1	104.0	-587.3	510.9	0.50	0.50	2.10
2	115.5	-135.2	331.3	0.50	0.00	2.10
3	-7.0	-52.2	395.2	0.00	0.50	2.10
4	-170.0	-500.1	711.7	0.00	0.50	2.10
5	-425.5	-892.4	466.2	0.00	1.00	2.10

V164 7

1	934.4	-1637.0	3418.9	0.00	1.00	2.10
2	175.2	1250.4	2461.6	1.00	0.00	2.10
3	200.9	2989.7	501.8	1.00	0.00	2.10
4	215.6	1250.0	2038.2	1.00	0.00	2.10
5	-957.0	-1294.1	3302.1	0.00	1.00	2.10

V164 8

1	94.0	-370.3	607.9	0.50	0.50	2.10
2	145.4	-112.4	213.6	0.50	0.50	2.10
3	146.9	32.3	205.8	0.50	0.00	2.10
4	79.4	20.2	357.3	0.50	0.00	2.10
5	60.0	-175.6	451.4	0.50	0.50	2.10

V164 9

1	110.4	-422.6	10.5	0.50	0.50	2.10
2	125.2	-147.4	371.5	0.50	0.50	2.10
3	12.1	-43.9	364.8	0.50	0.50	2.10
4	-141.1	-342.2	703.3	0.00	0.50	2.10
5	-134.9	-859.7	859.7	0.00	0.50	2.10

V164 10

1	110.6	-1526.0	3209.7	0.00	1.00	2.10
2	145.2	1238.3	2252.4	1.00	0.00	2.10
3	345.6	2861.6	401.0	1.00	0.00	2.10
4	2519.0	1837.6	1420.7	1.00	0.00	2.10
5	-558.3	-1207.1	3140.6	0.00	1.00	2.10

V164 11

1	87.0	-314.1	681.8	0.50	0.50	2.10
2	156.2	-110.6	527.5	0.50	0.50	2.10
3	132.7	39.3	220.7	0.50	0.00	2.10
4	72.1	-29.1	51.9	0.50	0.00	2.10
5	83.6	-160.7	451.9	0.50	0.50	2.10

V164 12

1	131.6	-367.2	504.6	0.50	0.50	2.10
---	-------	--------	-------	------	------	------

1	192·1	-214·7	303·1	0·20	210
2	135·2	-65·5	25·4	0·50	210
3	102·7	-25·2	1·9	0·50	210
4	77·0	-4·4	1·4	0·50	210
5	-112·0	-144·5	407·5	0·20	210

1654. 14		1654. 15		1654. 16	
1	411.5	664.5	0.50	0.50	2.10
2	191.5	407.3	0.50	0.50	2.10
3	152.4	342.9	0.50	0.00	2.10
4	43.4	106.2	0.50	0.20	2.10
5	-263.4	1126.7	0.50	0.87	2.10
1	-411.5	0.50	0.50	1.00	2.10
2	-191.5	0.50	0.50	0.00	2.10
3	-152.4	0.50	0.50	0.00	2.10
4	-43.4	0.50	0.50	0.00	2.10
5	-1126.7	0.50	0.50	1.00	2.10
1	-151.1	2365.4	0.00	1.00	2.10
2	1237.5	1216.8	1.00	0.00	2.10
3	1434.0	347.5	1.00	0.00	2.10
4	-321.4	1100.7	1.00	0.00	2.10
5	-579.6	1264.4	0.00	1.00	2.10

PISO. DE CIMA PARA BAIXO = 2

PUBLICATIONS RECEIVED

211-2

PILAR 2

FORCA NORMAL MAXIMA = 16159.96 KGF
FORCA FLEXION DE CALCULO YA SITUACAO DE FLEXOCOMPRESSAO: 1650.91 KGF
AFUNDIJADAS - LONGITUDINAL PUR FACE: AST01/4 = 1.33 CM2 - TRANSVERSAL PUR METRO: AST = 0.00 CM2/M
UR = 395.00 KGF

PILAR 4

FORCA NORMAL MAXIMA = 16925.59 KGF
FORCA FLEXION DE CALCULO YA SITUACAO DE FLEXOCOMPRESSAO: 1688.71 KGF
AFUNDIJADAS - LONGITUDINAL PUR FACE: AST01/4 = 1.30 CM2 - TRANSVERSAL PUR METRO: AST = 0.00 CM2/M
UR = 390.88 KGF

PILAR 5

FORCA NORMAL MAXIMA = 9095.65 KGF
FORCA FLEXION DE CALCULO YA SITUACAO DE FLEXOCOMPRESSAO: 1681.24 KGF
AFUNDIJADAS - LONGITUDINAL PUR FACE: AST01/4 = 2.22 CM2 - TRANSVERSAL PUR METRO: AST = 0.00 CM2/M
UR = 316.03 KGF

PILAR 6

FORCA NORMAL MAXIMA = 13598.57 KGF
FORCA FLEXION DE CALCULO YA SITUACAO DE FLEXOCOMPRESSAO: 4030.43 KGF
AFUNDIJADAS - LONGITUDINAL PUR FACE: AST01/4 = 3.42 CM2 - TRANSVERSAL PUR METRO: AST = 0.00 CM2/M
UR = 616.89 KGF

PILAR 7

FORCA NORMAL MAXIMA = 20913.10 KGF
FORCA FLEXION DE CALCULO YA SITUACAO DE FLEXOCOMPRESSAO: 2749.23 KGF
AFUNDIJADAS - LONGITUDINAL PUR FACE: AST01/4 = 3.45 CM2 - TRANSVERSAL PUR METRO: AST = 0.00 CM2/M
UR = 831.12 KGF

PILAR 8

FORCA NORMAL MAXIMA = 18466.22 KGF
FORCA FLEXION DE CALCULO YA SITUACAO DE FLEXOCOMPRESSAO: 1703.91 KGF
AFUNDIJADAS - LONGITUDINAL PUR FACE: AST01/4 = 1.94 CM2 - TRANSVERSAL PUR METRO: AST = 0.00 CM2/M
UR = 517.76 KGF

PILAR 9

FORCA NORMAL MAXIMA = 25555.35 KGF
FORCA FLEXION DE CALCULO YA SITUACAO DE FLEXOCOMPRESSAO: 1940.53 KGF
AFUNDIJADAS - LONGITUDINAL PUR FACE: AST01/4 = 1.94 CM2 - TRANSVERSAL PUR METRO: AST = 0.00 CM2/M
UR = 517.76 KGF

PILAR 10

FORCA NORMAL MAXIMA = 13618.67 KGF
FORCA FLEXION DE CALCULO YA SITUACAO DE FLEXOCOMPRESSAO: 3450.54 KGF
AFUNDIJADAS - LONGITUDINAL PUR FACE: AST01/4 = 3.33 CM2 - TRANSVERSAL PUR METRO: AST = 0.00 CM2/M
UR = 816.89 KGF

PILAR 11

FORCA NORMAL MAXIMA = 21373.46 KGF
FORCA FLEXION DE CALCULO YA SITUACAO DE FLEXOCOMPRESSAO: 5149.21 KGF
AFUNDIJADAS - LONGITUDINAL PUR FACE: AST01/4 = 4.40 CM2 - TRANSVERSAL PUR METRO: AST = 0.00 CM2/M
UR = 1427.11 KGF
UR = 1484.52 KGF

PILAR 12

FORCA NORMAL MAXIMA = 3137.11 KGF
MOMENTO FLETOR DE CALCULO NA SITUACAO DE FLEXOCOMPRESSAO: 4092.46 KGM CONTANTES: $\Delta x = 0.00$ CM2/M
AINDA JUNTO - LARGITUINAL PUK FACE: ASTOT/4 = 4.17 CM2 - TRANSVERSAL PUK METRO: AST = 0.00 CM2/M
AINDA JUNTO - LARGITUINAL PUK FACE: ASTOT/4 = 4.17 CM2 - LONGITUINAL PUK FACE: ASTOT/4 = 3.43 CM2 - LONGITUINAL PUK FACE: ASTOT/4 = 3.43 CM2 - LONGITUINAL PUK FACE: ASTOT/4 = 3.43 CM2

PILAR 13

FORCA NORMAL MAXIMA = 27016.61 KGF FUNCA NORMAL MINIMA = 22769.62 KGF
MOMENTO FLETOR DE CALCULO NA SITUACAO DE FLEXOCOMPRESSAO: 4474.18 KGM CONTANTES: $\Delta x = 0.00$ CM2/M
AINDA JUNTO - LARGITUINAL PUK FACE: ASTOT/4 = 4.17 CM2 - TRANSVERSAL PUK METRO: AST = 0.00 CM2/M
AINDA JUNTO - LARGITUINAL PUK FACE: ASTOT/4 = 4.17 CM2 - LONGITUINAL PUK FACE: ASTOT/4 = 3.43 CM2 - LONGITUINAL PUK FACE: ASTOT/4 = 3.43 CM2 - LONGITUINAL PUK FACE: ASTOT/4 = 3.43 CM2

PILAR 14

FORCA NORMAL MAXIMA = 31315.30 KGF FUNCA NORMAL MINIMA = 22889.67 KGF
MOMENTO FLETOR DE CALCULO NA SITUACAO DE FLEXOCOMPRESSAO: 5077.24 KGM CONTANTES: $\Delta x = 0.00$ CM2/M
AINDA JUNTO - LARGITUINAL PUK FACE: ASTOT/4 = 4.17 CM2 - TRANSVERSAL PUK METRO: AST = 0.00 CM2/M
AINDA JUNTO - LARGITUINAL PUK FACE: ASTOT/4 = 4.17 CM2 - LONGITUINAL PUK FACE: ASTOT/4 = 3.43 CM2 - LONGITUINAL PUK FACE: ASTOT/4 = 3.43 CM2

PILAR 15

FORCA NORMAL MAXIMA = 21374.46 KGF FUNCA NORMAL MINIMA = 1687.72 KGF
MOMENTO FLETOR DE CALCULO NA SITUACAO DE FLEXOCOMPRESSAO: 4160.21 KGM CONTANTES: $\Delta x = 0.00$ CM2/M
AINDA JUNTO - LARGITUINAL PUK FACE: ASTOT/4 = 4.40 CM2 - TRANSVERSAL PUK METRO: AST = 0.00 CM2/M
AINDA JUNTO - LARGITUINAL PUK FACE: ASTOT/4 = 4.40 CM2 - LONGITUINAL PUK FACE: ASTOT/4 = 3.43 CM2 - LONGITUINAL PUK FACE: ASTOT/4 = 3.43 CM2

PILAR 16

FORCA NORMAL MAXIMA = 15478.43 KGF FUNCA NORMAL MINIMA = 12859.03 KGF
MOMENTO FLETOR DE CALCULO NA SITUACAO DE FLEXOCOMPRESSAO: 4160.00 KGM CONTANTES: $\Delta x = 0.00$ CM2/M
AINDA JUNTO - LARGITUINAL PUK FACE: ASTOT/4 = 4.16 CM2 - TRANSVERSAL PUK METRO: AST = 0.00 CM2/M
AINDA JUNTO - LARGITUINAL PUK FACE: ASTOT/4 = 4.16 CM2 - LONGITUINAL PUK FACE: ASTOT/4 = 3.43 CM2 - LONGITUINAL PUK FACE: ASTOT/4 = 3.43 CM2

PILAR 17

FORCA NORMAL MAXIMA = 252711.40 KGF FUNCA NORMAL MINIMA = 22000.63 KGF
MOMENTO FLETOR DE CALCULO NA SITUACAO DE FLEXOCOMPRESSAO: 5011.47 KGM CONTANTES: $\Delta x = 0.00$ CM2/M
AINDA JUNTO - LARGITUINAL PUK FACE: ASTOT/4 = 4.03 CM2 - TRANSVERSAL PUK METRO: AST = 0.00 CM2/M
AINDA JUNTO - LARGITUINAL PUK FACE: ASTOT/4 = 4.03 CM2 - LONGITUINAL PUK FACE: ASTOT/4 = 3.43 CM2 - LONGITUINAL PUK FACE: ASTOT/4 = 3.43 CM2

PILAR 18

FORCA NORMAL MAXIMA = 242710.00 KGF FUNCA NORMAL MINIMA = 20274.34 KGF
MOMENTO FLETOR DE CALCULO NA SITUACAO DE FLEXOCOMPRESSAO: 4626.97 KGM CONTANTES: $\Delta x = 0.00$ CM2/M
AINDA JUNTO - LARGITUINAL PUK FACE: ASTOT/4 = 4.03 CM2 - TRANSVERSAL PUK METRO: AST = 0.00 CM2/M
AINDA JUNTO - LARGITUINAL PUK FACE: ASTOT/4 = 4.03 CM2 - LONGITUINAL PUK FACE: ASTOT/4 = 3.43 CM2 - LONGITUINAL PUK FACE: ASTOT/4 = 3.43 CM2

PILAR 19

FORCA NORMAL MAXIMA = 15478.43 KGF FUNCA NORMAL MINIMA = 12059.03 KGF
MOMENTO FLETOR DE CALCULO NA SITUACAO DE FLEXOCOMPRESSAO: 4160.00 KGM CONTANTES: $\Delta x = 0.00$ CM2/M
AINDA JUNTO - LARGITUINAL PUK FACE: ASTOT/4 = 4.16 CM2 - TRANSVERSAL PUK METRO: AST = 0.00 CM2/M
AINDA JUNTO - LARGITUINAL PUK FACE: ASTOT/4 = 4.16 CM2 - LONGITUINAL PUK FACE: ASTOT/4 = 3.43 CM2 - LONGITUINAL PUK FACE: ASTOT/4 = 3.43 CM2

PILAR 20

FORCA NORMAL MAXIMA = 15478.43 KGF FUNCA NORMAL MINIMA = 12059.03 KGF
MOMENTO FLETOR DE CALCULO NA SITUACAO DE FLEXOCOMPRESSAO: 4160.00 KGM CONTANTES: $\Delta x = 0.00$ CM2/M
AINDA JUNTO - LARGITUINAL PUK FACE: ASTOT/4 = 4.16 CM2 - TRANSVERSAL PUK METRO: AST = 0.00 CM2/M
AINDA JUNTO - LARGITUINAL PUK FACE: ASTOT/4 = 4.16 CM2 - LONGITUINAL PUK FACE: ASTOT/4 = 3.43 CM2 - LONGITUINAL PUK FACE: ASTOT/4 = 3.43 CM2

SOLICITAÇÕES DE CÁLCULO E ARMADURAS NECESSÁRIAS DAS VIAS NA URGÊNCIA X

NO.	NAME	NUM. MINIMO (KGF)	CURVATURE (KGF)	ARMADA INF. (CMZ)	ARMADA SUP. (CMZ)	ARM. TANZV. (CMZ/M)	ANNUAL
1	-939.2	-1824.4	4349.4	0.00	1.00	2.10	2.10
2	2420.5	1726.2	2071.6	1.26	0.00	2.10	2.10
3	3121.0	2023.4	559.7	1.63	0.00	2.10	2.10
4	1127.9	631.9	2013.0	1.05	0.00	2.10	2.10
5	-3024.1	-3994.2	4470.9	0.00	2.11	2.10	2.10

	1	2	3	4	5
1	-2981.5	-3736.3	4359.2	0.00	1.97
2	112.0	-114.3	2452.9	1.06	2.10
3	1116.7	1172.0	272.3	1.05	2.10
4	427.6	190.2	1908.2	1.06	2.10
5	-2271.6	-3040.1	3014.6	0.00	1.97

164
1 -2271.4
2 45.6
3 1310.2
4 1114.7
5 1112.0
6 1116.0
7 1117.2
8 246.8
9 2261.4
10 1.06
11 1.05
12 1.05
13 0.00
14 0.00
15 0.00
16 0.00
17 0.00
18 0.00
19 0.00
20 0.00
21 0.00
22 0.00
23 0.00
24 0.00
25 0.00
26 0.00
27 0.00
28 0.00
29 0.00
30 0.00
31 0.00
32 0.00
33 0.00
34 0.00
35 0.00
36 0.00
37 0.00
38 0.00
39 0.00
40 0.00
41 0.00
42 0.00
43 0.00
44 0.00
45 0.00
46 0.00
47 0.00
48 0.00
49 0.00
50 0.00
51 0.00
52 0.00
53 0.00
54 0.00
55 0.00
56 0.00
57 0.00
58 0.00
59 0.00
60 0.00

	1162	4	-3994.2	5235.5	0.00	2.11
1			1124.9	3121.1	1.05	2.00
2			1124.9	2123.4	1.63	2.10
3			1124.9	1650.2	1.26	0.00
4			1124.9	4092.8	0.00	1.00
5			1124.9	4092.8	0.00	2.00

Fig.	5	-1702.3	-3273.4	6017.5	0.00	1.71	2.37
1		2751.6	1690.3	3141.7	1.49	0.00	2.14
2		4055.7	2941.0	5585.8	2.15	0.00	2.10
3		1380.1	785.0	3977.0	1.06	0.00	2.10
4		-1515.7	-2610.1	6325.5	0.97	3.07	2.00

	1	2	3	4	5	6	7	8	9	10	11	12
1	168.2	168.2	194.2	1401.6	561.5	561.5	561.5	561.5	561.5	2.00	2.00	2.00
2	-140.3	-140.3	-140.3	-140.3	3.35.2	3.35.2	3.35.2	3.35.2	3.35.2	1.00.	1.00.	1.00.
3	1401.6	1401.6	271.3	271.3	2639.8	2639.8	2639.8	2639.8	2639.8	1.00.	1.00.	1.00.
4	561.5	561.5	561.5	561.5	561.5	561.5	561.5	561.5	561.5	0.00	0.00	0.00
5	3.35.2	3.35.2	3.35.2	3.35.2	3.35.2	3.35.2	3.35.2	3.35.2	3.35.2	2.15	2.15	2.15

7

1	-2808.3	-4055.4	5053.5	0.00	2.15
2	526.4	261.1	3041.0	1.05	2.10
3	1913.6	142.6	210.4	1.05	2.10
4	195.7	-39.5	3307.1	1.05	2.10
5	-3421.4	-4685.4	5311.6	0.00	2.05

V16A 8

1	-3614.6	-5365.9	6629.3	0.00	2.92
2	1414.5	935.6	4255.8	1.05	2.10
3	4194.2	2939.9	6944.5	2.23	2.10
4	2415.1	1720.1	2054.9	0.00	2.10
5	-11705.9	-3222.8	5740.7	0.00	2.22

V16A 9

1	-2460.4	-4003.6	6766.7	0.00	2.14
2	2492.7	1356.6	3666.7	1.05	2.10
3	4714.6	3410.3	734.8	2.43	2.10
4	1306.9	6044.4	4942.1	1.05	2.10
5	-2566.9	-6122.6	6810.4	0.00	2.02

V16A 10

1	-3477.0	-5374.0	5666.7	0.00	2.92
2	17.9	-202.0	3722.9	1.05	2.10
3	1944.0	1588.9	416.2	0.05	2.10
4	512.1	2740.5	2940.5	0.05	2.10
5	-2566.9	-4097.4	4844.2	0.00	2.17

V16A 11

1	-2490.4	-4097.4	5053.1	0.00	2.14
2	512.1	2740.2	3132.3	1.05	2.10
3	1494.0	1588.9	3410.8	1.05	2.10
4	17.9	-202.0	3544.1	1.05	2.10
5	-3517.0	-5374.0	5447.8	0.00	2.02

V16A 12

1	-4377.0	-6122.6	7048.3	0.00	3.40
2	1390.9	6044.4	4840.1	1.05	2.10
3	4714.2	3471.3	935.2	2.45	2.10
4	2775.7	1493.6	3508.7	1.05	2.10
5	-2490.4	-4003.5	6408.8	0.00	2.04

V16A 13

1	-1157.0	-2492.6	4634.8	0.00	1.29
2	2565.7	1644.5	2536.0	1.05	2.10
3	3262.4	2612.5	550.8	1.71	2.10
4	1024.7	72.7	5087.6	0.05	2.10
5	-3497.0	-4450.8	5131.4	0.00	2.06

V16A 14

1	-3105.6	-3935.9	4455.2	0.00	2.00
2	87.4	-201.3	2391.2	1.00	2.00
3	1368.5	1222.2	324.2	0.00	2.00
4	47.5	-140.2	2026.3	1.00	2.00
5	-2370.7	-3109.8	3612.6	0.00	1.00

VIGA 15

1	-2370.7	-3109.8	4035.5	0.00	1.00
2	471.5	190.2	2198.5	1.00	2.00
3	1368.5	1222.2	2268.8	1.00	2.00
4	67.5	-201.3	2370.3	1.00	2.00
5	-3109.8	-3935.9	4204.5	0.00	2.00

VIGA 16

1	-3497.6	-4450.8	5474.7	0.00	2.30
2	1024.7	121.7	3370.9	1.00	2.00
3	3263.4	2612.5	742.6	1.071	2.00
4	2363.7	1692.5	2280.9	1.23	2.00
5	-1517.0	-2492.6	4550.5	0.00	1.29

SOLICITÓES DE CALCULO E ARMAZENAS NECESSARIAS DAS VIGAS NA DIRECAO Y

VIGA	MOD. MAIOR	MOD. MINIMU	LARGANTE	ARMAD. INF.	ARMAD. SUP.	ARM. TENS.	ARM. TENS.
	(KGR/M)	(KGR/M)	(KGR)	(CM2)	(CM2)	(CM2)	(CM2)

1	224.1	-804.6	2007.5	0.50	0.91	2.10	2.10
2	444.6	-98.1	1324.1	0.50	0.50	2.10	2.10
3	391.0	222.4	718.4	0.50	0.00	2.10	2.10
4	329.2	-210.1	1451.2	0.50	0.50	2.10	2.10
5	70.4	-1016.1	2142.4	0.50	1.16	2.10	2.10

VIGA 1

1	-100.1	-1335.6	2460.4	0.00	1.50	2.10	2.10
2	447.3	-192.9	1471.2	0.50	0.50	2.10	2.10
3	391.7	390.2	669.4	0.50	0.00	2.10	2.10
4	127.1	-308.4	1022.9	0.50	0.50	2.10	2.10
5	-634.4	-1775.6	2605.4	0.00	2.23	2.36	2.36

VIGA 2

1	-100.1	-1335.6	2460.4	0.00	1.50	2.10	2.10
2	447.3	-192.9	1471.2	0.50	0.50	2.10	2.10
3	391.7	390.2	669.4	0.50	0.00	2.10	2.10
4	127.1	-308.4	1022.9	0.50	0.50	2.10	2.10
5	-634.4	-1775.6	2605.4	0.00	2.23	2.36	2.36

VIGA 3

1	-1351.2	-4231.4	5004.7	0.00	2.26	2.10	2.10
2	2232.4	615.0	3450.1	1.10	0.00	2.10	2.10
3	391.0	307.6	290.1	1.064	0.00	2.10	2.10
4	2690.0	124.3	2600.7	1.44	0.00	2.10	2.10
5	-620.4	-3574.2	4709.4	0.00	1.88	2.10	2.10

VIGA 4

1	282.0	-926.1	139.3	0.50	1.00
2	420.0	-157.3	120.3	0.50	2.10
3	301.9	164.4	153.7	0.50	2.10
4	354.7	-252.5	1352.7	0.50	2.10
5	211.1	-1047.2	167.6	0.50	2.10

1	-102.0	-1452.5	2527.4	0.00	1.74
2	449.2	-215.4	1022.5	0.50	2.10
3	450.7	250.0	730.4	0.50	2.10
4	23.7	-403.7	2012.3	0.50	2.10
5	-831.2	-2127.6	2164.7	0.00	2.83

VIGA 5

1	-185.6	-5145.6	6752.3	0.00	2.74
2	2603.8	1179.3	4830.0	1.40	2.00
3	5277.1	3664.0	1160.4	2.88	2.00
4	4014.0	1715.4	3601.4	2.13	2.00
5	-962.9	-4463.5	5957.4	0.00	2.31

1	-185.6	-5145.6	6752.3	0.00	2.74
2	2603.8	1179.3	4830.0	1.40	2.00
3	5277.1	3664.0	1160.4	2.88	2.00
4	4014.0	1715.4	3601.4	2.13	2.00
5	-962.9	-4463.5	5957.4	0.00	2.31

VIGA 6

1	267.9	-938.0	2038.4	0.50	1.07
2	435.4	-237.4	1412.3	0.50	2.10
3	340.6	104.2	676.7	0.50	2.10
4	194.4	-175.6	1255.8	0.50	2.10
5	25.4	-931.4	1090.0	0.50	2.10

1	267.9	-938.0	2038.4	0.50	1.07
2	435.4	-237.4	1412.3	0.50	2.10
3	340.6	104.2	676.7	0.50	2.10
4	194.4	-175.6	1255.8	0.50	2.10
5	25.4	-931.4	1090.0	0.50	2.10

VIGA 7

1	267.9	-938.0	2038.4	0.50	1.07
2	435.4	-237.4	1412.3	0.50	2.10
3	340.6	104.2	676.7	0.50	2.10
4	194.4	-175.6	1255.8	0.50	2.10
5	25.4	-931.4	1090.0	0.50	2.10

1	267.9	-938.0	2038.4	0.50	1.07
2	435.4	-237.4	1412.3	0.50	2.10
3	340.6	104.2	676.7	0.50	2.10
4	194.4	-175.6	1255.8	0.50	2.10
5	25.4	-931.4	1090.0	0.50	2.10

VIGA 8

1	-207.4	-1306.9	2402.1	0.50	1.54
2	371.0	-107.1	1617.2	0.50	2.00
3	444.7	303.8	869.4	0.50	2.10
4	51.1	-463.4	1944.4	0.51	2.10
5	-844.5	-2060.5	2047.2	0.00	2.71

VIGA 9

1	-1623.2	-1013.4	6082.3	0.50	2.91
2	2834.7	1072.3	4754.9	1.48	2.10
3	5099.1	373.2	1125.5	1.70	2.10
4	3956.4	1265.5	3495.4	2.03	2.10
5	-731.4	-4484.5	5601.7	0.00	2.39

VIGA 10

1	269.6	-741.1	2048.1	0.50	1.07
2	437.7	-235.6	1429.1	0.50	2.10
3	340.3	105.4	674.4	0.50	2.10
4	203.5	-170.9	1253.4	0.50	2.10
5	39.7	-925.1	1688.3	0.50	2.10

VIGA 11

		24/7/2	0.00	1.46	2.11
1	399.9	-94.3	1272.3	0.50	2.11
2	430.4	359.2	999.5	0.50	2.11
3	239.1	-500.1	1475.0	0.50	2.11
4	-652.6	-2119.9	2727.4	0.00	2.02
					2.26

--

LITERATURAS DE CALCIDO E GUIMARÃES NEGRÃO

2

RESISTENCIA NORMAL MAXIMA = 29446.75 KG
MOMENTO FLETOR DE CALCULO YA SITUACION DE
ANAMORFOSIS = 1046700000 KG MM

PILAR 3

FORCA NORMAL MAXIMA = 27329.75 KGF
FORCA FLEXION DE CALCULO YA SITUACAO DE FLEXOCOMPRESSAO: 2510.0 KGF
AFUNDIMENTO = LUNGITUDINAL PUK FACE: ASTU/4 = 1.25 CM2 - TRANSVERBAL POR MEFHU: AST = 0.00 CM2/M

PILAU 4

FORCA NORMAL MAXIMA = 29314.97 KGF
FORCA FLEXION DE CALCULO YA SITUACAO DE FLEXOCOMPRESSAO: 2853.43 KGF
AFUNDIMENTO = LUNGITUDINAL PUK FACE: ASTU/4 = 1.50 CM2 - TRANSVERBAL PUR METHU: AST = 0.00 CM2/M

PILAU 5

FORCA NORMAL MAXIMA = 16010.72 KGF
FORCA FLEXION DE CALCULO YA SITUACAO DE FLEXOCOMPRESSAO: 3451.15 KGF
AFUNDIMENTO = LUNGITUDINAL PUK FACE: ASTU/4 = 2.50 CM2 - TRANSVERBAL PUR METHU: AST = 0.00 CM2/M

PILAU 6

FORCA NORMAL MAXIMA = 24076.59 KGF
FORCA FLEXION DE CALCULO YA SITUACAO DE FLEXOCOMPRESSAO: 3490.04 KGF
AFUNDIMENTO = LUNGITUDINAL PUK FACE: ASTU/4 = 2.85 CM2 - TRANSVERBAL PUR METHU: AST = 0.00 CM2/M

PILAU 7

FORCA NORMAL MAXIMA = 37287.26 KGF
FORCA FLEXION DE CALCULO YA SITUACAO DE FLEXOCOMPRESSAO: 3050.43 KGF
AFUNDIMENTO = LUNGITUDINAL PUK FACE: ASTU/4 = 1.83 CM2 - TRANSVERBAL PUR METHU: AST = 0.00 CM2/M

PILAU 8

FORCA NORMAL MAXIMA = 33227.24 KGF
FORCA FLEXION DE CALCULO YA SITUACAO DE FLEXOCOMPRESSAO: 3421.01 KGF
AFUNDIMENTO = LUNGITUDINAL PUK FACE: ASTU/4 = 1.83 CM2 - TRANSVERBAL PUR METHU: AST = 0.00 CM2/M

PILAU 9

FORCA NORMAL MAXIMA = 36891.24 KGF
FORCA FLEXION DE CALCULO YA SITUACAO DE FLEXOCOMPRESSAO: 3421.01 KGF
AFUNDIMENTO = LUNGITUDINAL PUK FACE: ASTU/4 = 2.59 CM2 - TRANSVERBAL PUR METHU: AST = 0.00 CM2/M

PILAU 10

FORCA NORMAL MAXIMA = 24117.08 KGF
FORCA FLEXION DE CALCULO YA SITUACAO DE FLEXOCOMPRESSAO: 3998.04 KGF
AFUNDIMENTO = LUNGITUDINAL PUK FACE: ASTU/4 = 2.87 CM2 - TRANSVERBAL PUR METHU: AST = 0.00 CM2/M

PILAU 11

FORCA NORMAL MAXIMA = 36557.09 KGF
FORCA FLEXION DE CALCULO YA SITUACAO DE FLEXOCOMPRESSAO: 8257.16 KGF
AFUNDIMENTO = LUNGITUDINAL PUK FACE: ASTU/4 = 5.19 CM2 - TRANSVERBAL PUR METHU: AST = 0.00 CM2/M

641.18 KGF
682.61 KGF
663.79 KGF
689.33 KGF
790.42 KGF
812.50 KGF
879.65 KGF
689.33 KGF
2142.53 KGF
2491.07 KGF

PIŁAR 12

FORCA NORMAL MAXIMA = 53537.58 KGF • FORCA NORMAL MINIMA = 43146.92 KGF
AGRADEJTO FLĘTUM DE CALCULO YA SITUACAO DE FLEXOCOMPRESSAU: 7051.43 KGF CURTANES: UΑ = 826.04 NUR ΥΥ = 2700.94 KUF
AGRADEJTO - LONGITUDINAL PUR FACE: AST01/4 = 4.78 CM2 - TRANSVERSAL PUR METRO: AST = 0.00 CM2/M

PIŁAR 13

FORCA NORMAL MAXIMA = 47665.02 KGF • FORCA NORMAL MINIMA = 3850.34 KGF
AGRADEJTO FLĘTUM DE CALCULO YA SITUACAO DE FLEXOCOMPRESSAU: 6515.52 KGF CURTANES: UΑ = 444.47 NUR ΥΥ = 2828.33 KUF
AGRADEJTO - LONGITUDINAL PUR FACE: AST01/4 = 3.86 CM2 - TRANSVERSAL PUR METRO: AST = 0.00 CM2/M

PIŁAR 14

FORCA NORMAL MAXIMA = 53850.69 KGF • FORCA NORMAL MINIMA = 43022.66 KGF
AGRADEJTO FLĘTUM DE CALCULO YA SITUACAO DE FLEXOCOMPRESSAU: 6994.94 KGF CURTANES: UΑ = 826.04 NUR ΥΥ = 2606.41 KUF
AGRADEJTO - LONGITUDINAL PUR FACE: AST01/4 = 4.74 CM2 - TRANSVERSAL PUR METRO: AST = 0.00 CM2/M

PIŁAR 15

FORCA NORMAL MAXIMA = 36557.04 KGF • FORCA NORMAL MINIMA = 31158.05 KGF
AGRADEJTO FLĘTUM DE CALCULO YA SITUACAO DE FLEXOCOMPRESSAU: 8257.18 KGF CURTANES: UΑ = 2142.53 NUR ΥΥ = 2491.07 KUF
AGRADEJTO - LONGITUDINAL PUR FACE: AST01/4 = 5.19 CM2 - TRANSVERSAL PUR METRO: AST = 0.00 CM2/M

PIŁAR 16

FORCA NORMAL MAXIMA = 27439.10 KGF • FORCA NORMAL MINIMA = 21552.20 KGF
AGRADEJTO FLĘTUM DE CALCULO YA SITUACAO DE FLEXOCOMPRESSAU: 7092.71 KGF CURTANES: UΑ = 1548.24 NUR ΥΥ = 2479.04 KUF
AGRADEJTO - LONGITUDINAL PUR FACE: AST01/4 = 4.36 CM2 - TRANSVERSAL PUR METRO: AST = 0.00 CM2/M

PIŁAR 17

FORCA NORMAL MAXIMA = 44278.48 KGF • FORCA NORMAL MINIMA = 36490.05 KGF
AGRADEJTO FLĘTUM DE CALCULO YA SITUACAO DE FLEXOCOMPRESSAU: 7204.35 KGF CURTANES: UΑ = 762.01 NUR ΥΥ = 3051.73 KUF
AGRADEJTO - LONGITUDINAL PUR FACE: AST01/4 = 4.40 CM2 - TRANSVERSAL PUR METRO: AST = 0.00 CM2/M

PIŁAR 18

FORCA NORMAL MAXIMA = 40938.17 KGF • FORCA NORMAL MINIMA = 32547.74 KGF
AGRADEJTO FLĘTUM DE CALCULO YA SITUACAO DE FLEXOCOMPRESSAU: 6740.06 KGF CURTANES: UΑ = 467.32 NUR ΥΥ = 2965.61 KUF
AGRADEJTO - LONGITUDINAL PUR FACE: AST01/4 = 3.79 CM2 - TRANSVERSAL PUR METRO: AST = 0.00 CM2/M

PIŁAR 19

FORCA NORMAL MAXIMA = 44346.50 KGF • FORCA NORMAL MINIMA = 35353.10 KGF
AGRADEJTO FLĘTUM DE CALCULO YA SITUACAO DE FLEXOCOMPRESSAU: 7175.06 KGF CURTANES: UΑ = 762.01 NUR ΥΥ = 3036.42 KUF
AGRADEJTO - LONGITUDINAL PUR FACE: AST01/4 = 4.37 CM2 - TRANSVERSAL PUR METRO: AST = 0.00 CM2/M

PIŁAR 20

FORCA NORMAL MAXIMA = 27439.10 KGF • FORCA NORMAL MINIMA = 21552.50 KGF
AGRADEJTO FLĘTUM DE CALCULO YA SITUACAO DE FLEXOCOMPRESSAU: 7092.71 KGF CURTANES: UΑ = 1546.24 NUR ΥΥ = 2479.04 KUF
AGRADEJTO - LONGITUDINAL PUR FACE: AST01/4 = 4.34 CM2 - TRANSVERSAL PUR METRO: AST = 0.00 CM2/M

SOLICITAÇÕES DE CALCULO E ARMAZENAMENTO NECESSÁRIAS DAS VIGAS NA DIRECÃO A

	SEÇÃO	MOM. MÁXIMO (KGFM)	MOM. MÍNIMO (KGFM)	CONSTANTE (KGF)	ARMAD. INF. (CM2)	ARMAD. SUP. (CM2)	ARM. TRANSV. (CM2/M)	ANÚGULO
VIGA 1								
1	-1210.7	-2757.2	4603.0	0.00	1.42	2.10	90	
2	2117.2	1170.2	2321.1	1.09	0.00	2.10	90	
3	2955.0	2962.7	341.9	1.49	0.00	2.10	90	
4	1110.7	623.1	2075.2	1.06	0.00	2.10	90	
5	-2764.2	-4175.3	4725.4	0.00	2.22	2.10	90	
VIGA 4								
1	-2516.8	-3744.0	4391.3	0.00	1.97	2.10	90	
2	321.1	-93.1	2485.0	1.05	1.06	2.10	90	
3	1376.2	1195.7	304.4	1.05	0.00	2.10	90	
4	550.9	73.5	2921.9	1.05	0.00	2.10	90	
5	-2134.0	-3333.9	3744.5	0.00	1.75	2.10	90	
VIGA 1								
1	-2134.0	-3333.9	4100.1	0.00	1.75	2.10	70	
2	550.9	73.5	2281.4	1.06	0.00	2.10	70	
3	1376.2	1195.7	290.0	1.05	0.00	2.10	70	
4	550.9	73.5	2146.3	1.05	1.00	2.10	70	
5	-2134.0	-3333.9	3744.5	0.00	1.75	2.10	70	
VIGA 1								
1	-2784.2	-4173.3	5198.5	0.00	2.22	2.10	90	
2	1110.7	623.1	3032.7	1.05	0.00	2.10	90	
3	2855.0	2342.7	3242.3	1.49	0.00	2.10	90	
4	2117.2	1170.2	2004.5	1.05	0.00	2.10	90	
5	-1210.7	-2737.2	4129.9	0.00	1.42	2.10	90	
VIGA 4								
1	-1295.1	-4177.7	6275.7	0.00	2.22	2.10	90	
2	2534.6	1212.5	3405.4	1.33	0.00	2.10	90	
3	3631.9	2722.0	3704.4	2.02	0.00	2.10	90	
4	1400.1	645.8	3714.6	1.05	0.00	2.10	90	
5	-3313.4	-5117.7	6090.3	0.00	3.14	2.41	90	
VIGA 5								
1	-2938.5	-4969.3	5515.3	0.00	2.69	2.10	90	
2	415.3	554.3	3512.4	1.06	1.06	2.10	90	
3	2601.0	1459.1	357.4	1.06	0.00	2.10	90	
4	642.3	137.1	2637.2	1.05	0.00	2.10	90	
5	-2556.9	-4404.5	4834.7	0.00	2.35	2.10	90	

VIGA 7

1	-2964.2	-4377.6	5211.9	0.00	2.33	2.10
2	672.7	123.9	3204.4	1.06	0.00	2.10
3	1951.3	1443.7	266.7	1.06	0.00	2.10
4	298.3	-59.4	3140.6	1.06	1.06	2.10
5	-3089.9	-4927.5	5143.1	0.00	2.65	2.10

VIGA 8

1	-3394.5	-5601.1	6610.3	0.00	3.06	2.71
2	1365.3	733.8	4234.8	1.06	0.00	2.10
3	3708.5	2130.8	675.5	2.07	0.00	2.10
4	2511.0	1244.9	2683.9	1.06	0.00	2.10
5	-1675.5	-4090.6	5754.7	0.00	2.17	2.23

VIGA 9

1	-2643.7	-5021.7	7031.5	0.00	2.71	2.94
2	2732.6	1363.8	4131.5	1.31	0.00	2.10
3	4187.6	3165.8	708.9	2.22	0.00	2.10
4	1224.1	662.7	4277.3	1.06	0.00	2.10
5	-4152.8	-6354.7	6545.6	0.00	3.55	2.67

VIGA 10

1	-3149.9	-5247.4	5664.0	0.00	2.85	2.17
2	325.4	-1358.2	3750.2	1.06	1.06	2.10
3	2113.9	1670.9	413.5	1.07	0.00	2.10
4	730.2	1405.6	4263.2	1.06	0.00	2.10
5	-2735.8	-4494.3	4830.9	0.00	2.40	2.10

VIGA 11

1	-2735.8	-4494.3	5245.7	0.00	2.40	2.10
2	730.2	1405.6	3381.9	1.06	0.00	2.10
3	2113.9	1670.9	370.7	1.07	0.00	2.10
4	325.4	-1358.2	3291.5	1.06	1.06	2.10
5	-3149.9	-5247.4	5205.2	0.00	2.05	2.10

VIGA 12

1	-4152.8	-6354.7	7023.4	0.00	3.55	2.94
2	1224.1	3165.8	4750.2	1.06	0.00	2.10
3	4157.6	1363.8	870.3	2.22	0.00	2.10
4	2532.3	1363.8	5295.7	1.31	0.00	2.10
5	-2043.5	-3210.7	6320.7	0.00	2.71	2.67

VIGA 13

1	-2152.7	-3777.0	5191.9	0.00	1.99	2.10
2	1732.1	904.2	2896.1	1.05	0.00	2.10
3	6837.9	2416.4	542.4	1.48	0.00	2.10
4	1102.7	4051.3	2919.8	1.05	0.00	2.10
5	-3107.8	-4266.0	4934.8	0.00	2.44	2.10

Vista 4

1	-2520.0	4446.4	0.00	2.02	2.10
2	426.7	2593.3	1.00	1.00	2.10
3	1471.4	314.4	1.00	0.00	2.10
4	516.4	2250.3	1.00	0.00	2.10
5	-2526.6	4040.6	0.00	1.85	2.10

Vista 5

1	-2256.7	-3525.6	4303.7	0.00	1.85	2.10
2	575.4	34.3	2448.1	1.00	0.00	2.10
3	1471.4	1347.0	300.7	1.00	0.00	2.10
4	426.7	-394.6	2352.1	1.00	1.00	2.10
5	-2526.6	-3526.0	4170.4	0.00	2.02	2.10

Vista 6

1	-3109.8	-4506.0	5341.6	0.00	2.44	2.10
2	1062.7	4755.3	3238.0	1.00	0.00	2.10
3	2637.9	2417.4	609.7	1.48	0.00	2.10
4	1782.1	904.2	2294.6	1.00	0.00	2.10
5	-2152.7	-3771.0	4745.4	0.00	1.99	2.10

SOLUÇÕES DE CALCULO E AGRADJADAS NECESSÁRIAS DAS VIGAS NA VISTA 6

Vista	SOLUÇÃO	MATERIAL	MATERIAL	CURVATURA (RAD.)	ARM. INF. (CNC)	ARM. SUP. (LH2)	ARM. TRANS. (C27/M)	ÂNGULO
1	1	554.9	-1463.4	2735.1	0.62	1.76	2.22	90
	2	579.6	-463.3	1990.7	0.64	0.51	2.10	90
	3	292.9	185.0	1131.9	0.50	0.00	2.10	90
	4	515.7	-347.5	1016.4	0.57	0.00	2.10	90
	5	540.0	-1302.8	2509.6	0.00	1.54	2.50	90

Vista 7

1	57.3	-1609.4	2610.5	0.50	2.03	2.33	90
2	520.0	-315.3	1601.2	0.60	0.00	2.10	90
3	429.4	310.0	004.0	0.50	0.00	2.10	90
4	370.4	-320.5	1937.5	0.50	0.00	2.10	90
5	-223.3	-1861.6	2920.1	0.00	2.37	2.50	90

Vista 8

1	-201.0	-5805.4	3949.1	0.00	3.24	2.06	90
2	2435.5	-209.5	3945.5	1.26	1.00	2.10	90
3	2905.5	255.5	1369.5	1.59	0.00	2.10	90
4	2910.3	-115.5	3605.5	1.52	1.06	2.10	90
5	-218.7	-5813.4	5702.2	1.06	3.23	2.16	90

VIGA 4

1	626.6	-1489.3	2104.4	0.70	1.80	2.17
2	583.6	-483.4	2091.4	0.65	0.55	2.10
3	366.0	135.3	1127.5	0.50	0.00	2.10
4	499.9	-569.6	1708.5	0.55	0.50	2.10
5	612.6	-1329.3	2141.4	0.68	1.57	2.10

VIGA 5

1	119.9	-1744.5	2931.0	0.50	2.26	2.48
2	336.2	-326.7	2088.0	0.56	0.50	2.10
3	530.2	390.7	812.2	0.59	0.00	2.10
4	324.0	-436.2	2047.6	0.50	0.50	2.10
5	-324.7	-2042.4	2040.0	0.50	2.77	2.40

VIGA 6

1	119.9	-7155.2	7244.2	0.60	2.06	2.10
2	2716.8	-735.3	3521.8	1.41	1.06	2.10
3	4417.4	3150.0	1672.2	0.36	0.00	2.10
4	4417.4	1704.4	4299.1	1.42	0.00	2.10
5	-4417.4	-7124.0	6377.4	0.00	4.06	2.57

VIGA 7

1	616.7	-1455.7	2988.6	0.66	1.75	2.10
2	593.1	-602.5	1074.3	0.50	0.50	2.10
3	593.0	67.1	1074.3	0.50	0.00	2.10
4	472.6	-335.6	1925.3	0.50	0.50	2.10
5	445.4	-1261.0	2088.2	0.50	1.48	2.10

VIGA 8

1	616.6	-1725.0	2924.4	0.00	2.15	2.50
2	461.2	-260.7	2072.5	0.53	0.50	2.10
3	330.7	436.2	152.1	0.55	0.00	2.10
4	374.2	-413.3	2027.5	0.50	0.50	2.10
5	-269.1	-2030.5	2174.9	0.00	2.66	2.33

VIGA 9

1	616.3	-7260.8	7165.7	0.00	4.11	3.02
2	2702.7	-260.9	5243.4	1.42	1.06	2.10
3	419.6	3063.1	1606.9	2.23	0.00	2.10
4	3609.2	65.2	4209.2	1.90	0.00	2.10
5	-2426.3	-7046.8	6257.5	0.00	4.03	2.52

VIGA 10

1	621.4	-1463.7	2628.5	0.74	1.74	2.10
2	797.4	-12.2	2009.4	0.67	0.57	2.10
3	551.5	73.7	1087.8	0.50	0.00	2.10
4	401.1	-339.8	1000.8	0.50	0.50	2.10
5	472.1	-1266.1	2101.7	0.53	1.49	2.10

FIGURA 11

1	-41.8	-1003.2	2869.8	0.00	2.04	2.04
2	-252.1	2024.9	0.55	2.14	2.14	2.14
3	430.5	777.6	0.56	2.14	2.14	2.14
4	509.7	-435.1	2034.0	0.56	2.14	2.14
5	330.1	-2075.0	2805.4	0.00	2.74	2.74
6	-353.5					

FIGURA 12

1	-822.9	-7306.3	7307.8	0.00	3.10	3.10
2	2736.9	-146.8	5305.5	1.44	1.00	2.14
3	4414.1	3155.7	1732.9	2.52	2.14	2.14
4	3760.8	132.7	4334.3	1.92	0.00	2.14
5	-279.5	-7200.7	6412.7	0.00	4.11	2.59
6						

FIGURA 13

1	554.7	-1463.4	2735.1	0.62	1.76	2.22
2	519.6	-463.3	1490.7	0.64	0.51	2.14
3	236.7	167.0	1131.9	0.50	0.00	2.14
4	515.7	-347.5	1616.4	0.57	0.50	2.14
5	540.0	-1302.5	2509.6	0.00	1.51	2.14
6						

FIGURA 14

1	57.3	-1643.4	2810.5	0.50	2.03	2.33
2	536.0	-315.3	1601.2	0.60	0.50	2.14
3	429.4	300.0	604.0	0.50	2.14	2.14
4	376.4	-335.6	1937.5	0.50	0.50	2.14
5	-626.3	-1361.8	2920.1	0.00	2.37	2.50
6						

FIGURA 15

1	-261.3	-5885.4	5999.1	0.00	3.24	2.36
2	2452.5	-209.8	3945.5	1.46	1.00	2.14
3	2956.5	250.5	1369.5	1.56	0.00	2.14
4	2919.1	-175.5	3003.5	1.56	1.06	2.14
5	61.7	-5673.6	5762.2	1.06	3.23	2.16
6						

PISO, DE CIMA PARA BAIXO = 4

SOLICITADOS DE CALCULO E ARREDONDADOS NECESSARIOS DOS PILARES

Plano 1

FORMA NORMAL MINIMA = 25117.10 KGF FORMA NORMAL MINIMA = 16300.99 KGF
 FORMA DE FLEXOCOMPRESSAO: 3539.23 KGF CONTANTES: $\alpha_1 = 1170.00$ KGF $\alpha_2 = 627.00$ KGF
 FORMA NORMAL MAXIMA = 42178.10 KGF FORMA NORMAL MAXIMA = 30900.91 KGF
 FORMA NORMAL MINIMA = 20750.00 KGF FORMA NORMAL MAXIMA = 30900.91 KGF

Plano 2

MOMENTO FLETCHER CULULU NA SITUAÇÃO DE FLEXOCOMPRESSAU: 3167.52 KGF CURVANTE: WA = 689.97 KGF OR = 493.17 KGF
MATERIAL = LIGA D'ESTEIRO MATERIAIS MATERIAIS FACE: AST01/4 = 2.63 CM² - TRANSVERSAIS PUX METRO: AST = 0.12/4

PILAR 3

FORCA NORMAL MAXIMA = 39193.07 KGF FORCA NORMAL MINIMA = 25450.41 KGF CURVANTE: WA = 504.04 KGF OR = 614.22 KGF
MATERIAL = LIGA D'ESTEIRO MATERIAIS MATERIAIS FACE: AST01/4 = 2.05 CM² - TRANSVERSAIS PUX METRO: AST = 0.00 CM²/4

PILAR 4

FORCA NORMAL MAXIMA = 42034.40 KGF FORCA NORMAL MINIMA = 31722.01 KGF CURVANTE: WA = 504.04 KGF OR = 590.94 KGF
MATERIAL = LIGA D'ESTEIRO MATERIAIS MATERIAIS FACE: AST01/4 = 2.62 CM² - TRANSVERSAIS PUX METRO: AST = 0.00 CM²/4

PILAR 5

FORCA NORMAL MAXIMA = 25117.10 KGF FORCA NORMAL MINIMA = 16306.44 KGF CURVANTE: WA = 511.00 KGF OR = 521.00 KGF
MATERIAL = LIGA D'ESTEIRO MATERIAIS MATERIAIS FACE: AST01/4 = 2.30 CM² - TRANSVERSAIS PUX METRO: AST = 0.00 CM²/4

PILAR 6

FORCA NORMAL MAXIMA = 35367.49 KGF FORCA NORMAL MINIMA = 27655.52 KGF CURVANTE: WA = 511.00 KGF OR = 521.00 KGF
MATERIAL = LIGA D'ESTEIRO MATERIAIS MATERIAIS FACE: AST01/4 = 3.62 CM² - TRANSVERSAIS PUX METRO: AST = 0.00 CM²/4

PILAR 7

FORCA NORMAL MAXIMA = 53956.60 KGF FORCA NORMAL MINIMA = 4688.47 KGF CURVANTE: WA = 510.00 KGF OR = 520.00 KGF
MATERIAL = LIGA D'ESTEIRO MATERIAIS MATERIAIS FACE: AST01/4 = 2.26 CM² - TRANSVERSAIS PUX METRO: AST = 0.00 CM²/4

PILAR 8

FORCA NORMAL MAXIMA = 4656.77 KGF FORCA NORMAL MINIMA = 36512.14 KGF CURVANTE: WA = 504.04 KGF OR = 514.04 KGF
MATERIAL = LIGA D'ESTEIRO MATERIAIS MATERIAIS FACE: AST01/4 = 1.96 CM² - TRANSVERSAIS PUX METRO: AST = 0.00 CM²/4

PILAR 9

FORCA NORMAL MAXIMA = 51546.59 KGF FORCA NORMAL MINIMA = 40388.47 KGF CURVANTE: WA = 510.00 KGF OR = 520.00 KGF
MATERIAL = LIGA D'ESTEIRO MATERIAIS MATERIAIS FACE: AST01/4 = 2.10 CM² - TRANSVERSAIS PUX METRO: AST = 0.00 CM²/4

PILAR 10

FORCA NORMAL MAXIMA = 35467.44 KGF FORCA NORMAL MINIMA = 21667.45 KGF CURVANTE: WA = 511.00 KGF OR = 508.02 KGF
MATERIAL = LIGA D'ESTEIRO MATERIAIS MATERIAIS FACE: AST01/4 = 3.62 CM² - TRANSVERSAIS PUX METRO: AST = 0.00 CM²/4

PILAR 11

FORCA NORMAL MAXIMA = 52072.37 KGF FORCA NORMAL MINIMA = 43399.29 KGF

Exercício 12: Fórmula de Cálculo na situação de flexão de pressão: $A_{st} = 5.93 \text{ cm}^2$ - Transversal pura: $A_{st} = 5.93 \text{ cm}^2$ - Largura da face: $A_{st}/4 = 1.48 \text{ cm}^2$ - Constantes: $U_A = 1931.06 \text{ kN}$ $U_f = 2603.63 \text{ kN}$

Fórmula normal máxima = 75000.51 kN Fórmula normal mínima = 60354.92 kN
Constantes de flexão de pressão: $A_{st} = 9637.13 \text{ cm}^2$ - Curtanito: $U_A = 1346.94 \text{ kN}$ $U_f = 1756.49 \text{ kN}$
Constante de resistência à flexão de pressão: $A_{st}/4 = 5.10 \text{ cm}^2$ - Transversal pura: $A_{st} = 5.10 \text{ cm}^2$ - Largura da face: $A_{st}/4 = 1.27 \text{ cm}^2$ - Constantes: $U_A = 1931.06 \text{ kN}$ $U_f = 2603.63 \text{ kN}$

Exercício 13: Fórmula normal máxima = 6161.35 kN Fórmula normal mínima = 53384.02 kN
Constantes de flexão de pressão: $A_{st} = 7115.01 \text{ cm}^2$ - Curtanito: $U_A = 1404.94 \text{ kN}$ $U_f = 1612.00 \text{ kN}$
Constante de resistência à flexão de pressão: $A_{st}/4 = 5.10 \text{ cm}^2$ - Transversal pura: $A_{st} = 5.10 \text{ cm}^2$ - Largura da face: $A_{st}/4 = 1.27 \text{ cm}^2$ - Constantes: $U_A = 1931.06 \text{ kN}$ $U_f = 2603.63 \text{ kN}$

Exercício 14: Fórmula normal máxima = 76374.26 kN Fórmula normal mínima = 60244.62 kN
Constantes de flexão de pressão: $A_{st} = 9060.65 \text{ cm}^2$ - Curtanito: $U_A = 1340.94 \text{ kN}$ $U_f = 1756.49 \text{ kN}$
Constante de resistência à flexão de pressão: $A_{st}/4 = 5.14 \text{ cm}^2$ - Transversal pura: $A_{st} = 5.14 \text{ cm}^2$ - Constantes: $U_A = 1931.06 \text{ kN}$ $U_f = 2603.63 \text{ kN}$

Exercício 15: Fórmula normal máxima = 52072.37 kN Fórmula normal mínima = 44344.24 kN
Constantes de flexão de pressão: $A_{st} = 8220.52 \text{ cm}^2$ - Curtanito: $U_A = 1401.06 \text{ kN}$ $U_f = 1612.00 \text{ kN}$
Constante de resistência à flexão de pressão: $A_{st}/4 = 5.09 \text{ cm}^2$ - Transversal pura: $A_{st} = 5.09 \text{ cm}^2$ - Constantes: $U_A = 1931.06 \text{ kN}$ $U_f = 2603.63 \text{ kN}$

Exercício 16: Fórmula normal máxima = 39946.11 kN Fórmula normal mínima = 29842.14 kN
Constantes de flexão de pressão: $A_{st} = 8094.56 \text{ cm}^2$ - Curtanito: $U_A = 1002.06 \text{ kN}$ $U_f = 1213.00 \text{ kN}$
Constante de resistência à flexão de pressão: $A_{st}/4 = 5.04 \text{ cm}^2$ - Transversal pura: $A_{st} = 5.04 \text{ cm}^2$ - Constantes: $U_A = 1931.06 \text{ kN}$ $U_f = 2603.63 \text{ kN}$

Exercício 17: Fórmula normal máxima = 62713.22 kN Fórmula normal mínima = 48404.72 kN
Constantes de flexão de pressão: $A_{st} = 7450.14 \text{ cm}^2$ - Curtanito: $U_A = 803.06 \text{ kN}$ $U_f = 994.04 \text{ kN}$
Constante de resistência à flexão de pressão: $A_{st}/4 = 5.09 \text{ cm}^2$ - Transversal pura: $A_{st} = 5.09 \text{ cm}^2$ - Constantes: $U_A = 1931.06 \text{ kN}$ $U_f = 2603.63 \text{ kN}$

Exercício 18: Fórmula normal máxima = 55070.61 kN Fórmula normal mínima = 44494.62 kN
Constantes de flexão de pressão: $A_{st} = 7239.01 \text{ cm}^2$ - Curtanito: $U_A = 942.05 \text{ kN}$ $U_f = 1132.04 \text{ kN}$
Constante de resistência à flexão de pressão: $A_{st}/4 = 5.32 \text{ cm}^2$ - Transversal pura: $A_{st} = 5.32 \text{ cm}^2$ - Constantes: $U_A = 1931.06 \text{ kN}$ $U_f = 2603.63 \text{ kN}$

Exercício 19: Fórmula normal máxima = 62778.95 kN Fórmula normal mínima = 48274.94 kN
Constantes de flexão de pressão: $A_{st} = 7455.06 \text{ cm}^2$ - Curtanito: $U_A = 807.03 \text{ kN}$ $U_f = 995.02 \text{ kN}$
Constante de resistência à flexão de pressão: $A_{st}/4 = 5.10 \text{ cm}^2$ - Transversal pura: $A_{st} = 5.10 \text{ cm}^2$ - Constantes: $U_A = 1931.06 \text{ kN}$ $U_f = 2603.63 \text{ kN}$

Exercício 20: Fórmula normal máxima = 39946.11 kN Fórmula normal mínima = 29842.14 kN

AN94-57 MUN. CURVANTES: 0.8
CURVA: 0.8 CURVA: 0.8 CURVA:
TRANVERSAL MUN. METR: ADI = 0.00 CURVA

SOLICITACOES DE CALCULO E ARMAZENAMENTO NECESSARIAS DAS VIGAS NA DIRECAO X

	SECAO	MUN. MAXIMO (KGFM)	MUN. MINIMO (KGFM)	CUMULANTE (KGF)	ARMAD. INF. (CM2)	ARMAD. SUP. (CM2)	ARM. TRANSA. (CM2)	ANULOU
V164	1	-1307.1	-3315.6	4764.9	0.00	1.7*	2.19	2.19
	2	1957.1	615.0	2485.1	1.00	0.00	2.10	2.10
	3	2675.7	2107.3	267.7	1.37	0.00	2.10	2.10
	4	1103.4	455.6	2701.0	1.00	0.00	2.10	2.10
	5	-2601.1	-4391.0	4700.5	0.00	2.3*	2.10	2.10
V164	2	-2267.1	-3665.2	4462.3	0.00	2.04	2.10	2.10
	1	465.7	-147.4	2556.0	1.00	1.00	2.10	2.10
	2	1404.1	1221.2	375.4	1.00	0.00	2.10	2.10
	3	653.0	-12.7	2120.3	1.00	1.00	2.10	2.10
	4	-1955.4	-3533.2	3700.9	0.00	1.00	2.10	2.10
V164	3	-1955.4	-3533.2	4277.4	0.00	1.80	2.10	2.10
	1	653.0	-12.7	2391.1	1.00	1.00	2.10	2.10
	2	1404.1	1221.2	363.9	1.00	0.00	2.10	2.10
	3	465.7	-147.4	2270.2	1.00	1.00	2.10	2.10
	4	-2267.1	-3865.2	4042.9	0.00	2.04	2.10	2.10
V164	4	-2601.1	-4391.0	3614.8	0.00	2.3*	2.10	2.10
	1	1103.4	435.6	3045.1	1.00	0.00	2.10	2.10
	2	2675.7	2107.3	605.7	1.39	0.00	2.10	2.10
	3	1103.4	317.6	2217.0	1.00	0.00	2.10	2.10
	4	-1307.1	-3315.6	4215.1	0.00	1.7*	2.10	2.10
V164	5	-2133.2	-4399.6	6435.6	0.00	2.04	2.01	2.01
	1	2267.1	556.8	357.7	1.10	0.00	2.10	2.10
	2	3557.7	2267.9	3644.1	1.07	0.00	2.10	2.10
	3	1304.7	425.7	3209.9	1.00	0.00	2.10	2.10
	4	-3204.4	-5465.3	3736.4	0.00	3.23	2.10	2.10
V164	6	-2617.3	-5040.6	5575.0	0.00	2.12	2.10	2.10
	1	619.6	-116.6	357.5	1.06	1.00	2.10	2.10
	2	2011.1	1515.0	341.4	1.00	0.00	2.10	2.10
	3	770.7	-5.3	2777.6	1.00	1.00	2.10	2.10
	4	-2387.7	-4713.6	4760.1	0.00	2.04	2.10	2.10

۱۶۴

-2.2527	-3.9509	4.5353	0.00	2.11
571.7	-150.6	2830.2	1.06	2.10
150.6	1367.7	400.3	1.06	2.10
697.0	-62.7	2375.3	1.06	2.10
-2044.0	-3151.2	4163.5	0.00	2.10

154 15

-2044.0	-3751.2	4442.5	0.00	1.98	2.10
897.0	-62.7	2567.5	1.06	1.06	2.10
1500.4	1507.7	3971.9	1.05	0.00	2.10
571.7	-150.3	2471.3	1.06	1.06	2.10
-2252.7	-3350.9	4259.6	0.00	2.11	2.10

14

CALCULO E ARMAJUNAS NECESSARIAS DAS VIGAS NA VILCAU Y

SEI (s)	MUA. MIZAWO [MURW]	MUA. MIYIMO [KOFM]	CUMIANTÉ [KUF]	AMMAU. INF. [CMC]	AKUAU. SUP. [CMC]	ANNULO
---------	-----------------------	-----------------------	-------------------	----------------------	----------------------	--------

9.3546	-1670.3	3624.6	1.06	2.38	2.76
741.4	-647.6	2519.3	0.83	0.72	0.19
243.4	220.5	1051.5	0.54	0.00	0.44
774.2	-616.7	2325.4	0.87	0.00	0.45
1419.7	1171.7	3013.1	1.18	2.25	2.72

116

9.55.6	-1870.3	3254.6	1.06	2.76
8	-647.6	2151.6	0.83	2.38
7	741.4	1051.5	0.54	0.72
6	245.0	232.7	0.07	0.10
5	774.2	301.9	1.19	2.45
4	117.1	1.9	1.19	2.25
3	22.0	1.1	0.00	0.00
2	1.7	0.7	0.00	0.00
1	0.1	0.1	0.00	0.00

130

176

	$f_{004.4}$	-7052.4	6449.4	1.00	4.03	≤ 5.6
1	2742.0	-570.4	4352.7	1.43	1.95	≤ 1.0
2	2835.2	2254.3	$1.32.7$	1.46	0.93	≤ 1.4
3	3266.8	-973.0	4091.6	1.71	1.06	≤ 1.0
4	922.4	-7253.0	$0.190.2$	1.05	4.75	≤ 4.4
5						

VIGA 4

1	974.6	-1/45.4	3030.4	1.11	2.18	2.49
2	741.6	-705.9	2419.4	0.83	2.10	2.10
3	266.5	162.0	157.4	0.50	2.10	2.10
4	660.6	-610.1	2154.8	0.60	2.10	2.10
5	930.5	-1763.5	2569.7	1.05	2.21	2.10

VIGA 5

1	331.4	-2132.4	3267.7	0.50	2.34	2.91
2	702.6	-465.9	2442.7	0.79	2.10	2.10
3	552.0	447.9	1075.6	0.01	2.10	2.10
4	582.2	55.2	6351.0	0.62	2.10	2.10
5	131.5	-240.4	3103.4	0.50	2.28	2.69

VIGA 6

1	166.0	-441.9	1751.1	1.06	2.39	2.32
2	318.0	-116.0	5866.7	1.03	2.23	2.23
3	376.1	290.3	2179.1	2.10	2.10	2.10
4	3659.3	-616.6	4604.7	1.94	2.10	2.10
5	424.1	-649.3	6883.1	1.05	2.04	2.04

VIGA 7

1	1020.4	-190.4	3241.9	1.17	2.44	2.72
2	752.4	-664.3	2622.9	0.64	2.10	2.10
3	255.3	171.3	1843.5	0.50	2.10	2.10
4	766.0	-65.3	2622.6	0.66	2.10	2.10
5	1197.0	-1016.5	2037.4	1.20	2.04	2.04

VIGA 8

1	312.6	-2226.5	3109.9	0.50	2.02	2.93
2	700.3	-219.2	2604.7	0.78	2.10	2.10
3	577.1	315.0	1032.5	0.64	2.10	2.10
4	527.0	-65.0	2306.0	0.50	2.04	2.04
5	86.3	-2276.5	3060.3	0.50	2.12	2.63

VIGA 9

1	155.2	-425.5	7511.6	1.06	4.66	3.18
2	395.2	-141.5	5589.2	1.58	2.10	2.10
3	266.6	266.6	8264.4	0.09	2.10	2.10
4	575.0	-824.2	4039.6	1.99	2.10	2.10
5	775.0	-177.1	6716.0	1.05	4.95	2.73

VIGA 10

1	977.3	-1145.6	3449.0	1.11	2.18	2.50
2	140.5	-2429.4	1404.4	0.63	2.10	2.10
3	261.4	111.1	1044.4	0.50	2.10	2.10
4	67.5	-103.5	2163.6	0.75	2.10	2.10
5	140.5	-1176.2	2546.7	1.05	2.23	2.10

VIA - 11

1	355.9	-2151.0	3500.0	0.50	0.87	2.92
2	707.1	-477.1	2455.0	0.79	0.53	2.10
3	554.2	445.5	1080.1	0.61	0.00	2.10
4	584.0	-559.6	2455.0	0.82	0.00	2.10
5	140.7	-2362.6	3107.9	0.50	3.20	2.04

VIA - 12

1	155.2	-8695.2	7745.0	1.05	2.34	3.21
2	3112.6	-1149.7	5820.6	1.03	1.00	2.23
3	3975.0	2908.4	2171.1	2.10	0.00	2.10
4	3681.1	-497.0	4830.3	1.94	1.00	2.10
5	224.9	-8458.4	6810.6	1.06	3.03	2.04

VIA - 13

1	955.6	-1870.3	3224.6	1.05	2.36	2.70
2	741.4	-647.6	2510.3	0.83	0.72	2.10
3	245.0	220.5	1651.5	0.20	0.00	2.10
4	774.2	-612.7	2523.4	0.87	0.00	2.10
5	1015.6	-1761.9	3014.0	1.16	2.24	2.45

VIA - 14

1	352.2	-2501.0	3114.5	0.50	2.65	2.70
2	704.5	-346.1	2105.3	0.74	0.50	2.10
3	469.6	348.6	1657.3	0.26	0.00	2.10
4	525.0	-4762.6	2160.6	0.55	0.55	2.10
5	99.1	-2074.3	3143.4	0.50	2.74	2.44

VIA - 15

1	604.4	-7002.6	5444.4	1.05	4.03	2.58
2	2742.0	-676.4	4332.7	1.43	1.00	2.10
3	3215.2	2207.3	1654.7	1.40	0.00	2.10
4	3266.9	-773.0	4041.6	1.71	1.00	2.10
5	982.4	-7255.8	6192.2	1.05	4.15	2.44

PESO DE CIMA PARA VIA = 5

SOLICITADO'S DE CALCULO E APROXIMADAS NECESSARIAS DAS PILARES

PESO = 1

FORCA NUMERAL MAXIMA = 3415.67 KG FORCA NUMERAL MINIMA = 20428.14 KG
 ANGULOS FLUTUAR DE CALCULO DA TIJACAO DE FLEXOUMPRESSAO: 59x5.47 KGM CUMPRIMENTO: 3.14 = 914.19 KG = 1169.41 KG
 ATRASADA - LONGITUDINAL PUN FACE: 45701/4 = 3.05 CM - TRANSVERSAL PUN MFLIKU: ADI = 0.00 CM2/M

ESCOLA DE ENGENHARIA
BIBLIOTECA

2

DUGA KURMAK MAXIMA = 52157.81 KG FUNKSI NORMAL MINIMA = -35696.03 KG
 DUGA KURMAK DE CALCULU VA DILUCAJU DE FLEXOCOMPRESIJA: 6112.75 KURM CUKTANESI: uA = 620.94 nur ur = 1006.43 KUF
 DUGA KURMAK = LONGITUDINAL PJK FACE: ASTO/4 = 3.65 CM2 = TRANSVERSAL PUK MFLRU: AST = 0.00 CM2/M

6

6

FUNCA NORMAL MINIMA = 20420.15 KUF
CUTANITS: $u_A = 9140.14$ nur $u_f = 11050.91$ KUF
FLEAUCHEMTESSAU: 6217.53 KUF
TRANVERSAL PUK MIKU: $A_f = 0.00$ UME/M

6

Transversal normal maxima = 47426.72 Kgf $F_{\text{MAX}} = 35950.44 \text{ Kgf}$
 Transversal flexion of Cyl. & flange of Flange plate = 7102.63 N/mm $C_{\text{FLX}} = 90400 \text{ N/mm}$
 Transversal shear force = 101.4 = 4.42 CM² $A_{\text{SH}} = 0.00 \text{ CM}^2/\text{M}$

7

1) $\sigma_c = \text{Normal Stress} = 7152.5 \text{ kg/cm}^2$
 $\sigma_a = \text{Atmospheric Pressure} = 101325 \text{ Pa}$
 $\sigma_t = \text{Tensile Stress} = 5000 \text{ Pa}$
 $\sigma_s = \text{Shear Stress} = 1000 \text{ Pa}$
 $\sigma_u = \text{Ultimate Tensile Stress} = 72000 \text{ Pa}$

11

9

UWCH. NORMAL MAXIMA = 71.27.40 KGF FURCA NORMAL MINIMA = 52588.35 KGF
UWCH. NORMAL PLEAUOUHRENSAUS = 6247.621 KUFM CUM LANES: UA = 721.94 KUF UU = 1199.43 KUF
UWCH. NORM. RUM M'KHO: ASI = U.UU UUU
UWCH. NORM. RUM M'KHO: ASI = U.UU UUU

10

YUKAL MINIMA = 35900.41 KUF
YUKAL MAXIMA = 6786.96 KUF
LUMINOSITY = 969.75 KUF
WAVELENGTH = 106000 KUF

PIEZA 12
FORCA NORMAL MAXIMA = 99546.14 KGF FORCA NORMAL MINIMA = 56476.09 KGF
MOVIMENTO FLETO DE CALCULO YA SITUACION DE PLEAUCLUMPERESAU: 11599.26 NURM CURTANES: U.A = 1334.00 NUR U.Y = 2883.01 KUF
ASIMETRICO - LONGITUDINAL PUR FACE: AS101/4 = 6.37 CM? - TRANSVERSAL PUR MF1KU: AS1 = 0.00 CM2/M

PIEZA 13
FORCA NORMAL MAXIMA = 99236.60 KGF FORCA NORMAL MINIMA = 77931.91 KGF
MOVIMENTO FLETO DE CALCULO YA SITUACION DE PLEAUCLUMPERESAU: 10294.00 KUF CURTANES: U.A = 1334.00 NUR U.Y = 2819.39 KUF
ASIMETRICO - LONGITUDINAL PUR FACE: AS101/4 = 7.67 CM? - TRANSVERSAL PUR MF1KU: AS1 = 0.00 CM2/M

PIEZA 14
FORCA NORMAL MAXIMA = 99938.41 KGF FORCA NORMAL MINIMA = 69588.06 KGF
MOVIMENTO FLETO DE CALCULO YA SITUACION DE PLEAUCLUMPERESAU: 10053.31 NURM CURTANES: U.A = 1334.00 NUR U.Y = 2819.39 KUF
ASIMETRICO - LONGITUDINAL PUR FACE: AS101/4 = 6.51 CM? - TRANSVERSAL PUR MF1KU: AS1 = 0.00 CM2/M

PIEZA 15
FORCA NORMAL MAXIMA = 99938.41 KGF FORCA NORMAL MINIMA = 77815.82 KGF
MOVIMENTO FLETO DE CALCULO YA SITUACION DE PLEAUCLUMPERESAU: 10311.04 NURM CURTANES: U.A = 1334.00 NUR U.Y = 2883.01 KUF
ASIMETRICO - LONGITUDINAL PUR FACE: AS101/4 = 7.71 CM? - TRANSVERSAL PUR MF1KU: AS1 = 0.00 CM2/M

PIEZA 16
FORCA NORMAL MAXIMA = 6970.92 KGF FORCA NORMAL MINIMA = 56476.09 KGF
MOVIMENTO FLETO DE CALCULO YA SITUACION DE PLEAUCLUMPERESAU: 11599.26 NURM CURTANES: U.A = 1334.00 NUR U.Y = 2883.01 KUF
ASIMETRICO - LONGITUDINAL PUR FACE: AS101/4 = 6.37 CM? - TRANSVERSAL PUR MF1KU: AS1 = 0.00 CM2/M

PIEZA 17
FORCA NORMAL MAXIMA = 52988.92 KGF FORCA NORMAL MINIMA = 37781.37 KGF
MOVIMENTO FLETO DE CALCULO YA SITUACION DE PLEAUCLUMPERESAU: 7680.27 NURM CURTANES: U.A = 1334.00 NUR U.Y = 1843.47 KUF
ASIMETRICO - LONGITUDINAL PUR FACE: AS101/4 = 5.42 CM? - TRANSVERSAL PUR MF1KU: AS1 = 0.00 CM2/M

PIEZA 18
FORCA NORMAL MAXIMA = 82725.94 KGF FORCA NORMAL MINIMA = 61875.04 KGF
MOVIMENTO FLETO DE CALCULO YA SITUACION DE PLEAUCLUMPERESAU: 10545.05 NURM CURTANES: U.A = 1334.00 NUR U.Y = 2824.47 KUF
ASIMETRICO - LONGITUDINAL PUR FACE: AS101/4 = 6.41 CM? - TRANSVERSAL PUR MF1KU: AS1 = 0.00 CM2/M

PIEZA 19
FORCA NORMAL MAXIMA = 76374.60 KGF FORCA NORMAL MINIMA = 56555.17 KGF
MOVIMENTO FLETO DE CALCULO YA SITUACION DE PLEAUCLUMPERESAU: 10102.93 NURM CURTANES: U.A = 1334.00 NUR U.Y = 2785.13 KUF
ASIMETRICO - LONGITUDINAL PUR FACE: AS101/4 = 5.54 CM? - TRANSVERSAL PUR MF1KU: AS1 = 0.00 CM2/M

PIEZA 20
FORCA NORMAL MAXIMA = 82791.61 KGF FORCA NORMAL MINIMA = 61745.24 KGF
MOVIMENTO FLETO DE CALCULO YA SITUACION DE PLEAUCLUMPERESAU: 10546.67 NURM CURTANES: U.A = 1334.00 NUR U.Y = 2824.47 KUF
ASIMETRICO - LONGITUDINAL PUR FACE: AS101/4 = 6.42 CM? - TRANSVERSAL PUR MF1KU: AS1 = 0.00 CM2/M

FORCA NORMAL = 52988.63 KGF
 $\text{M}_1/\text{M}_2 = \text{F}_1/\text{F}_2 = \text{C}_1/\text{C}_2 = \text{SITACAU}$
 $\text{A}_1/\text{A}_2 = \text{L}_1/\text{L}_2 = \text{TRANSMITTERAL PUX MÉTRICO ASÍ = 5.05 CM}^2$

FORCA NORMAL MINIMA = 37781.37 KGF
 $\text{M}_1/\text{M}_2 = \text{F}_1/\text{F}_2 = \text{C}_1/\text{C}_2 = \text{PITA CUMPRIMENTO SITACAU}$
 $\text{A}_1/\text{A}_2 = \text{L}_1/\text{L}_2 = \text{TRANSMITTERAL PUX MÉTRICO ASÍ = 5.05 CM}^2$

SOLICITAÇÕES DE CALCULO E ARMAZENAMENTO NECESSÁRIAS DAS VIGAS NA VIRECAU A

VIGA	MOM. MAXIMO (KGF.M)	MOM. MINIMO (KGF.M)	CURVANTE (KG.F)	ARMAD. INFR. (CM2)	ARMAD. SUP. (CM2)	ARM. IMANDE. (CM2/M)	ARM. VIRECAU
VIGA 1	1 -699.1 2 2297.5 3 2729.4 4 1143.3 5 -2450.2	-3553.3 060.7 2114.4 212.0 -4910.4	4443.7 2501.4 053.6 2436.9 4436.6	0.00 1.17 1.42 1.00 0.00	1.87 0.00 0.00 0.00 2.04	2.10 2.10 2.10 2.10 2.10	2.10 2.10 2.10 2.10 2.10
VIGA 2	1 -2156.0 2 444.5 3 1342.5 4 441.4 5 -1561.0	-4277.1 2547.5 1166.0 -117.5 -3695.5	4052.4 2400.6 360.0 2170.4 3509.1	0.00 1.06 1.06 1.06 0.00	2.20 1.00 0.00 1.06 1.95	2.10 2.10 2.10 2.10 2.10	2.10 2.10 2.10 2.10 2.10
VIGA 3	1 -1541.0 2 441.4 3 1342.5 4 441.4 5 -2157.0	-3645.5 -117.5 1166.0 -3447.5 -4277.1	4458.0 2451.7 3460.4 2453.2 4222.9	0.00 1.06 1.06 1.06 0.00	1.95 1.00 0.00 1.06 2.28	2.10 2.10 2.10 2.10 2.10	2.10 2.10 2.10 2.10 2.10
VIGA 4	1 -2450.4 2 1143.3 3 2729.4 4 7797.7 5 -699.3	-4910.4 212.0 2114.4 060.7 -3553.3	3456.7 3456.0 3456.0 2403.8 4356.9	0.00 1.06 1.42 1.17 0.00	2.08 0.00 0.00 0.00 1.87	2.10 2.10 2.10 2.10 2.10	2.10 2.10 2.10 2.10 2.10
VIGA 5	1 -1577.4 2 256.5 3 316.5 4 1373.9 5 -3024.1	-5012.3 718.7 2459.6 257.6 -6368.4	5033.2 777.9 3460.5 3460.0	0.00 1.33 1.90 1.00 0.00	2.71 0.00 0.00 0.10 3.57	2.65 2.10 2.10 2.10 2.28	2.65 2.10 2.10 2.10 2.10
VIGA 6	1 -2486.4 2 444.5	-7644.6 -353.6	5752.7 3701.6	0.00 1.03	2.97 1.06	2.23 2.10	2.23 2.10

2021.4	1493.4	585.2	1.06	0.00	2.10
966.1	-103.1	2700.1	1.06	1.06	2.10
-2025.0	-4863.5	4242.4	0.00	2.06	2.10

V164 7

1	-6021.6	-4865.2	5476.4	0.00	4.6	2.10
2	1.6	-164.6	3473.9	1.06	1.00	2.10
3	261.1	1492.2	546.7	1.06	0.00	2.10
4	643.0	-305.0	2911.9	1.06	1.00	2.10
5	-2467.3	-5446.8	4875.7	0.00	2.9	2.10

V164 8

1	-5921.6	-6388.5	6821.7	0.00	3.57	2.82
2	1.6	257.5	4440.2	1.06	0.00	2.10
3	591.6	2485.9	686.9	1.00	0.00	2.10
4	643.0	719.0	2030.8	1.33	0.00	2.10
5	-1673.4	-5010.7	3540.3	0.00	2.70	2.11

V164 9

1	-2419.6	-5693.2	7245.7	0.00	3.12	3.05
2	2640.4	974.7	4342.6	1.57	0.00	2.10
3	4613.1	3034.5	947.4	2.12	0.00	2.10
4	1307.0	160.5	4003.2	0.00	0.00	2.10
5	-2776.1	-7045.4	6331.4	0.00	4.04	2.55

1	-2719.7	-5244.6	5830.9	0.00	3.05	2.27
2	703.1	-32.4	341.1	1.06	1.00	2.10
3	2104.4	161.2	500.4	1.13	0.00	2.10
4	1.1	-51.1	300.5	1.00	1.00	2.10
5	-2506.6	-4960.1	4070.0	0.00	2.69	2.10

V164 10

1	-2354.2	-4980.1	5570.5	0.00	2.69	2.12
2	91.5	-57.1	3616.7	1.06	1.00	2.10
3	2184.9	168.2	547.0	1.13	0.00	2.10
4	700.1	-327.8	3202.5	1.06	1.00	2.10
5	-2714.7	-5505.6	4930.4	0.00	3.06	2.10

V164 11

1	-3770.1	-4983.4	7263.4	0.00	4.04	3.07
2	1307.5	160.5	4995.2	1.06	0.00	2.10
3	4613.1	3034.5	1110.3	2.12	0.00	2.10
4	1307.0	47.6	3471.0	1.37	0.00	2.10
5	-2714.6	-5035.2	6313.7	0.00	3.12	2.54

V164 12

1	-3770.1	-7093.4	7263.4	0.00	4.04	3.07
2	1307.5	160.5	4995.2	1.06	0.00	2.10
3	4613.1	3034.5	1110.3	2.12	0.00	2.10
4	1307.0	47.6	3471.0	1.37	0.00	2.10
5	-2714.6	-5035.2	6313.7	0.00	3.12	2.54

V164 13

1	-1307.3	-3993.2	5206.4	0.00	2.11	2.10
2	1307.5	2990.6	787.6	1.14	0.00	2.10

3	2826.5	2422.6	893.5	1.47	0.00	2.10
4	1119.3	44.7	327.0	1.00	0.00	2.00
5	-2950.0	-5426.4	2530.4	0.00	2.96	2.00

0.00	0.00	0.00	0.00	0.00	0.00	0.00
------	------	------	------	------	------	------

893.5	2422.6	893.5	1.47	0.00	2.10	2.00
1119.3	44.7	327.0	1.00	0.00	2.00	2.00
-2950.0	-5426.4	2530.4	0.00	2.96	2.00	2.00

VIGA 14

1	-2059.4	-4565.1	4744.0	0.00	2.44	2.10
2	654.1	-471.7	2936.9	1.00	1.00	2.10
3	1463.9	1333.7	665.0	1.00	0.00	2.10
4	924.7	-109.6	2475.9	1.00	1.00	2.10
5	-1560.2	-3962.1	4258.2	0.00	2.11	2.10

VIGA 15

1	-1560.2	-3982.0	4510.2	0.00	2.11	2.10
2	924.4	-199.6	2003.1	1.00	1.00	2.10
3	1463.7	1333.9	64.7	1.00	0.00	2.10
4	654.1	-471.7	2121.1	1.00	1.00	2.10
5	-2059.7	-4566.1	4259.4	0.00	2.44	2.10

VIGA 16

1	-2059.0	-5426.4	5703.1	0.00	2.90	2.20
2	1119.3	44.7	3599.3	1.00	0.00	2.10
3	-2026.2	2426.6	971.0	1.47	0.00	2.10
4	-2126.2	79.6	2090.1	1.14	0.00	2.10
5	-1333.4	-3993.2	4650.0	0.00	2.11	2.10

SOLICITACOES DE CALCULO E ARMAZENAMENTO NECESSARIAS DAS VIGAS NA VIRELAU Y

VIGA	MONTAGEM (KG/M)	MONTAGEM (KG/M)	MONTAGEM (KG/M)	CIMENTO (Kg/m)	ARMADIL. (Kg/m)	ARMADIL. (Kg/m)	ARMADIL. (Kg/m)	ANH. TRAVAS (CM/mt)	ANH. TRAVAS (CM/mt)
------	--------------------	--------------------	--------------------	-------------------	--------------------	--------------------	--------------------	------------------------	------------------------

1	176.4	-2059.1	3961.4	2.21	3.50	3.41	2.10	2.10	2.10
2	196.4	-100.7	3237.5	1.39	1.00	2.72	2.10	2.10	2.10
3	21.7	170.8	2475.6	0.50	0.00	2.10	2.10	2.10	2.10
4	196.4	-70.4	3212.6	1.19	1.00	2.71	2.10	2.10	2.10
5	1588.4	-2469.1	3295.4	1.94	3.50	3.57	3.60	3.60	3.60

VIGA 1

1	797.9	-2026.3	3316.3	0.90	3.00	2.66	2.10
2	914.7	-1031.4	2304.1	1.04	0.70	2.10	2.10
3	434.4	339.2	1444.0	0.50	0.00	2.10	2.10
4	663.5	-70.4	2277.6	0.72	0.00	2.10	2.10
5	330.5	-2601.3	3290.1	0.50	3.60	3.60	3.60

VIGA 2

1	1831.4	-6430.9	1013.4	1.00	5.01	2.90	2.10
2	3570.4	-1520.0	4250.0	1.00	1.00	2.10	2.10
3	1676.4	-2469.0	2469.0	1.00	1.00	2.10	2.10

VIGA 3

4	3864.1	-970.9	4445.6	2.06	1.06	2.10
5	2190.4	-7627.1	6545.2	1.13	4.42	2.63
1	1592.1	-2302.4	3648.8	1.95	3.16	3.00
2	1077.1	-9102.4	3130.7	1.24	1.02	2.70
3	316.6	124.0	2545.7	0.50	0.00	2.10
4	894.5	-851.9	2024.4	1.00	0.96	2.20
5	1413.5	-2264.2	3259.6	1.09	3.13	2.64

1	616.4	-2293.6	3405.0	0.04	3.14	3.01
2	646.4	-514.6	3160.0	0.96	0.63	2.10
3	544.0	427.3	1260.7	0.60	0.00	2.10
4	635.3	-720.1	2602.1	0.71	0.91	2.10
5	261.4	-2674.2	3455.0	0.50	3.75	2.99

1	1259.7	-9920.7	4275.4	1.06	6.23	3.61
2	3537.1	-1585.4	6353.0	1.94	1.00	2.53
3	4025.0	3056.9	2703.4	2.13	0.00	2.10
4	4493.3	-1052.3	5201.4	2.40	1.06	2.10
5	1617.0	-2366.2	1353.7	1.06	5.90	3.10

1	1636.4	-2446.5	3625.9	2.01	3.44	3.26
2	1035.2	-1412.0	3205.6	1.20	1.10	2.64
3	316.4	132.4	2699.8	0.50	0.00	2.10
4	969.0	-875.0	2075.8	1.10	0.99	2.32
5	1266.0	-2316.5	3313.7	1.50	3.19	2.67

1	631.1	-2327.4	3160.6	0.70	3.21	2.99
2	209.1	-604.4	2543.0	0.67	0.67	2.10
3	556.0	379.2	1325.6	0.62	0.00	2.10
4	579.1	-704.4	2600.9	0.64	0.73	2.10
5	196.4	-2605.3	3453.2	1.05	5.80	3.01

1	1594.1	-9440.0	6032.0	1.06	5.46	3.21
2	1074.0	-1343.1	6160.7	1.96	1.00	2.10
3	4586.8	485.4	2533.3	2.17	0.00	2.10
4	4555.8	-1163.4	1314.5	2.44	1.06	2.10
5	1218.4	-9615.3	4210.1	1.05	5.80	3.01

1	1594.1	-2105.2	3620.4	1.95	3.17	3.06
2	1074.0	-122.2	3031.7	1.24	1.03	2.50
3	317.5	-2240.0	3450.0	0.00	0.00	2.10

1	881.1	-2851.9	2027.0	1.00	0.40	2.25
2	1412.7	-2255.4	3261.9	1.69	3.13	2.65
3	614.7	-2293.0	3492.5	0.68	1.14	3.01
4	847.2	-5562.8	2550.5	0.95	0.63	2.10
5	564.0	-4224.4	1325.4	0.60	0.00	2.10
6	637.2	-721.1	2001.3	0.71	0.51	2.09
7	263.0	-2673.7	3355.7	0.50	0.99	2.75

FIG. 11

1	614.7	-2293.0	3492.5	0.68	1.14	3.01
2	847.2	-5562.8	2550.5	0.95	0.63	2.10
3	564.0	-4224.4	1325.4	0.60	0.00	2.10
4	637.2	-721.1	2001.3	0.71	0.51	2.09
5	263.0	-2673.7	3355.7	0.50	0.99	2.75

FIG. 12

1	1259.7	-9920.4	4275.4	1.06	6.23	3.51
2	3647.0	-1586.6	6353.0	1.94	1.05	2.53
3	4126.7	3657.1	2103.4	2.13	0.00	2.10
4	4603.0	-1152.1	5261.3	1.44	1.05	2.10
5	4203.0	-9536.4	7359.7	1.06	5.40	3.10

FIG. 13

1	1161.2	-2537.1	3951.4	2.21	3.44	3.44
2	1144.9	-1005.7	3237.5	1.34	1.15	2.72
3	311.4	110.8	2474.8	0.50	0.00	2.10
4	103.5	-918.8	3212.6	1.17	1.94	2.71
5	1793.2	-2466.1	3501.6	1.94	3.50	3.57

FIG. 14

1	797.4	-2252.3	3316.3	0.90	3.06	2.85
2	416.7	-531.4	2307.1	1.04	1.10	2.10
3	43.4	34.2	1444.0	0.50	0.00	2.10
4	63.5	-763.4	2771.6	0.72	0.86	2.10
5	339.5	-2500.3	3500.1	0.50	1.66	3.23

FIG. 15

1	1831.4	-4430.4	7013.4	1.06	2.90	2.01
2	3770.4	-1580.0	4774.4	1.04	1.05	2.10
3	2493.7	2480.0	2403.7	1.56	0.00	2.10
4	3845.4	-970.9	4440.6	2.04	1.05	2.10
5	2190.4	-7627.1	5525.2	1.13	4.42	2.63

CAPÍTULO VI

CONCLUSÕES

Conforme se mencionou no capítulo I, o presente trabalho representa um esforço inicial no sentido de se desenvolver um sistema computacional destinado ao projeto de edificações. Longe de pretender ser completo e definitivo, o programa PROADE foi concebido de forma a favorecer alterações e implementações que o tornem mais potente e eficiente.

Apesar de suas limitações, o uso do programa já proporciona uma economia de tempo e um auxílio considerável ao trabalho do projetista estrutural. Em se tratando de vigas e pilares, não resta muito a fazer. Uma vez que o programa fornece as áreas das armaduras, resta ao usuário a escolha das bitolas dos ferros e a determinação dos comprimentos de ancoragem, além do detalhamento.

Outro aspecto a salientar é a facilidade que tem o usuário de, uma vez constatadas anomalias no pré-dimensionamento através dos resultados, corrigir as peças mal dimensionadas e processar novamente o problema. Desta forma, tendo os resultados de um primeiro processamento, o projetista pode facilmente modificar os dados no sentido de diminuir as seções das peças que resultaram com armadura mínima e aumentar as das que exigiram armadura em demasia.

A facilidade do reprocessamento favorece também uma investigação mais meticulosa no que diz respeito às combinações dos estados de cargas. Podem ser investigadas várias hipóteses de distribuição da carga acidental vertical pela estrutura. A especificação de coeficientes de majoração distintos para cada tí-

po de carga torna o programa mais versátil, permitindo que o usuário verifique quantas alternativas quiser. Pode-se, inclusive, levar em consideração somente determinados estados de carga. Por exemplo, se num determinado problema, se quiser obter um dimensionamento sem levar em conta a influência do vento, basta especificar um valor nulo para o coeficiente de majoração da carga de vento.

A atual entrada de dados está relativamente bem esquematizada, com sua organização por pisos e a comodidade do formato livre. No entanto, para estruturas maiores, o volume de cartões de dados já se torna excessivo. A solução estaria na transformação de PROADE numa linguagem orientada, tipo LORANE, com uso de comandos otimizando a entrada de dados.

Cabe, aqui, uma consideração sobre o tratamento do problema por subestruturas. Dividindo-se o pórtico espacial em pórticos planos e estes, por sua vez, em subestruturas tipo piso, resulta uma grande economia de tempo de processamento. O programa SATE gastou cinco vezes menos tempo de processamento que o sistema LORANE para a análise da estrutura do exemplo do capítulo V.

A parte de análise, mesmo sendo a mais desenvolvida, apresenta várias limitações. Entre as que mais restringem o uso do programa para fins práticos, destacam-se o fato de só permitir plantas com eixos ortogonais e lajes nas quais em cada lado só ocorre uma laje adjacente. Além disso, não se consideram lajes em balanço.(marquises).

Assim, uma das primeiras modificações a serem realizadas é na análise a nível de pórtico plano, com a implementação de uma subestrutura do tipo da figura 2.5, dotada de vigas em balanço em ambas as extremidades. Isto acarretaria uma pequena alteração no cálculo das forças de engastamento perfeito.

Para se poder levar em conta campos de lajes mais complexos, deve ser implementada a análise de vigas secundárias. Esta análise deve ser levada a cabo antes da análise dos pórticos planos, uma vez que as reações daquelas se constituirão em cargas para estes. A consideração das vigas secundárias acarreta, nas vigas integrantes dos pórticos, um novo tipo de carga,

além dos mostrados na figura 2.14. Trata-se de uma ou mais cargas concentradas no interior do vão, resultantes do descarregamento das vigas secundárias; portanto, mais uma modificação na determinação das forças de engastamento perfeito.

Uma vez vencida esta etapa, poder-se-ia pensar na inclusão de lajes com contorno não retangular e com paredes diretamente sobre elas apoiadas.

A exemplo da análise, também na parte de dimensionamento há muito por fazer. Destacam-se aí várias providências iniciais.

A primeira é a implementação do dimensionamento de peças com seção transversal diferente da retangular; isto permitiria abranger os casos comuns de vigas e pilares com seção L, vigas de seção T e pilares de seção circular.

As outras são a programação do dimensionamento das lajes e das fundações, da escolha das bitolas das barras de aço e da determinação dos comprimentos de ancoragem.

Uma vez vencida esta etapa, poder-se-ia pensar em termos de detalhamento das armaduras. Uma vez que se dispusesse de um plotador apropriado, um vasto campo de trabalho se abriria na expansão do sistema PROADE.

Outra idéia seria o acoplamento de PROADE com um programa de otimização estrutural. Desta maneira, o usuário faria o pré-dimensionamento (aos moldes atuais) e o programa, trabalhando de forma iterativa, realizaria o redimensionamento, fornecendo a solução ótima.

APÊNDICE A

ESQUEMA DE ENTRADA DE DADOS

A.1 - FACILIDADES PARA A CODIFICAÇÃO

Veremos, inicialmente, algumas facilidades oferecidas ao usuário na codificação dos dados do programa PROADE. Conforme foi mencionado no capítulo IV, a especificação dos diversos ítems em um cartão é em formato livre, ou seja, basta que estejam separados por um ou mais brancos.

Caso diversos ítems em sequência tenham o mesmo valor, especifica-se este valor seguido do símbolo # e do número de vezes que ele aparece. Como exemplo, suponhamos que quatro ítems em sequência tivessem o valor 2.5. As duas maneiras de se especificar, respectivamente, a convencional e a otimizada, aparecem a baixo:

2.5 2.5 2.5 2.5
2.5#4

Caso um cartão não seja suficiente para a especificação dos ítems a ele destinados, continua-se em outro e põe-se, no fim do primeiro, o símbolo * para indicar tal continuação.

Quando os últimos ítems do cartão têm valor nulo, não se precisa especificá-los.

No esquema de entrada de dados que apresentaremos a seguir, usar-se-á a letra i para indicar números inteiros e a letra r para reais. Cumpre destacar que, quando um ítem real tiver sua parte decimal nula, pode-se especificá-lo como inteiro, ou seja, sem o ponto decimal.

A.2 - DADOS DE CONTROLE

Primeiramente, temos um conjunto de 9 cartões de dados de controle, conforme segue:

~~cartão 1º - nº de problema~~

1º cartão - título, podendo constar de qualquer texto.

2º cartão - $i_1 \ i_2 \ i_3 \ i_4 \ i_5$

onde i_1 = número de pisos;

i_2 = número de eixos auxiliares na direção X;

i_3 = idem, na direção Y;

i_4 = número de classes de pilares;

i_5 = número de classes de vigas.

3º cartão - $i_1 \ i_2 \ r_1 \ r_2 \ r_3 \ r_4 \ r_5 \ r_6 \ r_7$

onde i_1 = indicador do tipo de análise:

$\left\{ \begin{array}{l} \\ \\ \end{array} \right.$	= 0 realiza-se a análise estática e dinâmica;
$\left\{ \begin{array}{l} \\ \\ \end{array} \right.$	= 1 só análise estática;
$\left\{ \begin{array}{l} \\ \\ \end{array} \right.$	= 2 só análise dinâmica.

i_2 = indicador de opção de impressão:

$\left\{ \begin{array}{l} \\ \\ \end{array} \right.$	= 0 é impressa toda a informação, incluindo resultados interme- diários;
$\left\{ \begin{array}{l} \\ \\ \end{array} \right.$	= 1 são impressos os esforços nos membros para cada estado de carga e os resultados finais (solicitações de cálculo e á- reas de armadura);
$\left\{ \begin{array}{l} \\ \\ \end{array} \right.$	= 2 são impressos somente os re- sultados finais.

r_1 = módulo de elasticidade standard;

r_2 = módulo de corte standard;

r_3 = peso específico do concreto;

r_4 = coeficiente de majoração das ações de peso próprio;

r_5 = idem, sobrecarga;

r_6 = idem, vento;

r_7 = idem, sismo.

4º cartão - $r_1 \ r_2 \ r_3 \ r_4$

onde $r_1 = f_{ck}$;

$r_2 = f_{yk}$;

$r_3 = f_{cd}$;

$r_4 = f_{yd}$.

Caso se tenham os coeficientes de minoração de 1,4 para o concreto e de 1,15 para o aço, não se necessitam especificar r_3 e r_4 .

5º cartão - $r_1 \ r_2 \ r_3 \dots \ r_N$

onde r_i = altura do piso i , considerando a numeração dos pisos de cima para baixo.

6º cartão - $r_1 \ r_2$

onde r_1 = dimensão horizontal do desenho;

r_2 = dimensão vertical do desenho.

Estes dados não têm significado no atual estágio do programa. Serão necessários quando se usar plotador.

7º cartão - $r_1 \ r_2 \ r_3$

onde r_1 = espessura de laje standard;

r_2 = carga permanente standard;

r_3 = carga acidental standard.

8º cartão - $r_1 \ r_2 \ r_3 \dots \ r_{NEX}$

onde r_i = distância do eixo auxiliar x_i ao eixo global X.

9º cartão - $r_1 \ r_2 \ r_3 \dots \ r_{NEY}$

onde r_i = distância do eixo auxiliar y_i ao eixo global Y.

A.3 - PROPRIEDADES DE PILARES E VIGAS

Seguem-se as propriedades dos pilares. Para cada classe de pilares, especifica-se um cartão com o seguinte formato:

$i_1 \ r_1 \ r_2 \ r_3 \ r_4 \ r_5 \ r_6 \ r_7 \ r_8$

onde i_1 = indicador do tipo da seção (ver capítulo IV, seção 4.2.2);

$r_1 = a$;

```

r2 = b;
r3 = c;
r4 = d;
r5 = e;
r6 = f;
r7 = módulo de elasticidade;
r8 = módulo de corte.

```

a, b, c, d, e, f são as dimensões da seção transversal, conforme o estabelecido no capítulo IV, seção 4.2.2. Caso os módulos de elasticidade e corte sejam iguais aos valores fornecidos como standard, não se especificam r₇ e r₈, pois PROADE faz automaticamente esta atribuição.

Convém ressaltar que estas classes de seções são automaticamente numeradas a partir de 1, na ordem de entrada dos cartões.

Após os pilares, temos a especificação das propriedades das vigas. Para cada classe de vigas, tem-se um cartão com formato idêntico aos dos pilares, valendo também aqui as considerações feitas acima.

A.4 - ENTRADA DE DADOS POR PISOS

Descreve-se a seguir a especificação dos dados de geometria e carregamento vertical dos pilares, das vigas e das lajes. Esta especificação é distribuída por pisos, iniciando-se pelo mais alto e, seguindo-se pelo imediatamente inferior, até o mais baixo. Assim, o conjunto de cartões a seguir descrito repete-se para cada piso.

Primeiramente, temos os dados referentes à localização dos pilares. O primeiro cartão tem o seguinte formato:

i₁ i₂

Temos três alternativas para os valores de i₁ e i₂. Na primeira delas, i₁ é o número de pilares existentes no piso, não se especificando i₂. Neste caso, segue-se, para cada pilar, um cartão com o seguinte formato:

$i_3 \ i_4 \ i_5 \ i_6 \ r_1 \ r_2$
 onde i_3 = classe;
 i_4 = número do eixo auxiliar x;
 i_5 = número do eixo auxiliar y;
 i_6 = indicador da posição da seção (ver capítulo IV, seção 4.2.2);
 r_1 = distância do ponto característico da seção ao eixo auxiliar x correspondente (DX da figura 4.1);
 r_2 = idem, com respeito ao eixo auxiliar y.

A segunda alternativa ocorre quando todos os pilares são idênticos aos de outro piso, já dados. Neste caso, especifica-se zero para i_1 e i_2 toma o número do piso ao qual se faz a atribuição (numeração dos pisos de cima para baixo).

A terceira alternativa ocorre quando todos os pilares, menos alguns, são idênticos aos de outro piso. Neste caso, i_2 é o número do referido piso e i_1 , o número de pilares que mudam. Segue-se, para cada pilar que muda, um cartão com o mesmo formato descrito acima ($i_3 \ i_4 \ i_5 \ i_6 \ r_1 \ r_2$).

Após os pilares, temos a especificação da localização das vigas na direção X. As três alternativas usadas nos pilares são também válidas aqui. Assim, temos o cartão inicial com o formato $i_1 \ i_2$. Após, se for o caso, os cartões com o formato seguinte:

$i_3 \ i_4 \ i_5 \ i_6 \ i_7 \ r_1 \ r_2 \ r_3 \ r_4$
 onde i_3 = classe;
 i_4 = número do eixo auxiliar x correspondente ao desenvolvimento da viga;
 i_5 = número do eixo auxiliar y correspondente ao início da viga;
 i_6 = idem, com referência ao fim da viga;
 i_7 = indicador da posição da seção;
 r_1 = distância do eixo longitudinal da viga ao eixo auxiliar x correspondente;
 r_2 = altura do ponto característico da seção em relação ao piso;
 r_3 = tramo rígido no início da viga (EX1 da figura

ra 4.2);

r_4 = idem, com referência ao fim da viga.

Segue-se a especificação das cargas distribuídas das vigas na direção X. Temos novamente o cartão com o formato $i_1 i_2$. No caso da primeira alternativa, segue-se um cartão com o formato

$r_1 r_2 r_3 \dots r_{NVPX}$

onde r_i = carga distribuída da viga i .

No caso da terceira alternativa, segue-se, para cada viga que muda o valor da carga, um cartão com o formato

$i_3 r_1$

onde i_3 = número da viga;

r_1 = valor da carga.

Temos a seguir a especificação da localização e das cargas das vigas na direção Y, para as quais valem as considerações feitas para as vigas na direção X.

Finalmente, tem-se a especificação das propriedades, localização e cargas das lajes. Após o cartão com o formato $i_1 i_2$, tem-se, se for o caso um grupo de cartões com o formato seguinte:

$i_3 i_4 i_5 i_6 i_7 i_8 i_9 i_{10} i_{11} r_1 r_2 r_3$

onde i_3 = eixo x_{j1} da figura 4.3;

i_4 = eixo x_{j2} ;

i_5 = eixo y_{k1} ;

i_6 = eixo y_{k2} ;

i_7 = ind_1 ;

i_8 = ind_2 ;

i_9 = ind_3 ;

i_{10} = ind_4 ;

i_{11} = ind_5 ;

r_1 = espessura da laje;

r_2 = carga permanente;

r_3 = carga acidental.

Os indicadores ind_i ($i = 1, \dots, 5$) são os estabelecidos no capítulo IV, seção 4.2.2, fazendo-se a numeração dos lados da laje conforme a figura 4.3.

A.5 - CENTROS DE GRAVIDADE DOS PISOS

Seguem-se dois cartões com o seguinte formato:

 $r_1 \ r_2 \ r_3 \ \dots \ r_N$

onde r_i = coordenada X do centro de gravidade do piso i, no primeiro cartão;

r_i = coordenada Y do centro de gravidade do piso i, no segundo cartão.

A.6 - MATRIZES DE RIGIDEZ

As matrizes de rigidez são especificadas para cada pórtico plano. Especificam-se primeiro as dos pórticos associados aos eixos auxiliares x_i , seguindo a ordem de numeração destes e, após, as dos pórticos associados aos eixos y_i .

Assim, para cada pórtico, temos o conjunto de cartões que a seguir se descreve. Inicialmente, um cartão com o formato

 i_1

1º caso) $i_1 = 1$ - segue-se um conjunto de N cartões ($N =$ número de pisos) contendo as linhas da matriz de flexibilidade, com o formato

 $r_1 \ r_2 \ r_3 \ \dots \ r_N$

onde r_i = elemento da matriz de flexibilidade;

2º caso) $i_1 = 2$ - válido somente para muros; segue um cartão com o formato

 $r_1 \ r_2 \ r_3 \ r_4$

onde r_1 = módulo de elasticidade;

r_2 = módulo de corte;

r_3 = base do muro;

r_4 = altura do muro;

3º caso) $i_1 = 3$ - segue-se um conjunto de N cartões, contendo as linhas da matriz de rigidez, com o formato

 $r_1 \ r_2 \ r_3 \ \dots \ r_N$

onde r_i = elemento da matriz de rigidez;

4º caso) $i_1 = 4$ - quando a matriz é igual à de outro pórtico, já dado; segue-se um cartão com o formato

i_2

onde i_2 = número do pórtico ao qual se faz a atribuição;

5º caso) $i_1 = 5$ - quando a matriz é calculada pela subrotina PORT; neste caso, não se segue nenhum cartão.

A.7 - DADOS DE VENTO E SISMO

Segue-se um cartão com os dados referentes ao vento, tendo o seguinte formato:

$r_1 \ r_2 \ r_3 \ \dots \ r_{N+2}$

onde r_1 = velocidade básica do vento, em m/s;

r_2 = fator topográfico;

r_{i+2} = fator S_2 para o piso i .

Caso for requerida a análise dinâmica, seguir-se-ão três cartões. O primeiro terá o formato

$r_1 \ r_2 \ r_3 \ \dots \ r_N$

onde r_i = massa do piso i .

O formato do segundo é idêntico e r_i = inércia rotacional do piso i .

O terceiro terá o formato

$r_1 \ r_2 \ r_3$

onde $r_1 = K_1$;

$r_2 = K_2$;

$r_3 = T_0$.

K_1 , K_2 e T_0 são os parâmetros do espectro de projeto, mostrado na figura 2.2 e referido no capítulo II, seção 2.1.3.

APÊNDICE B

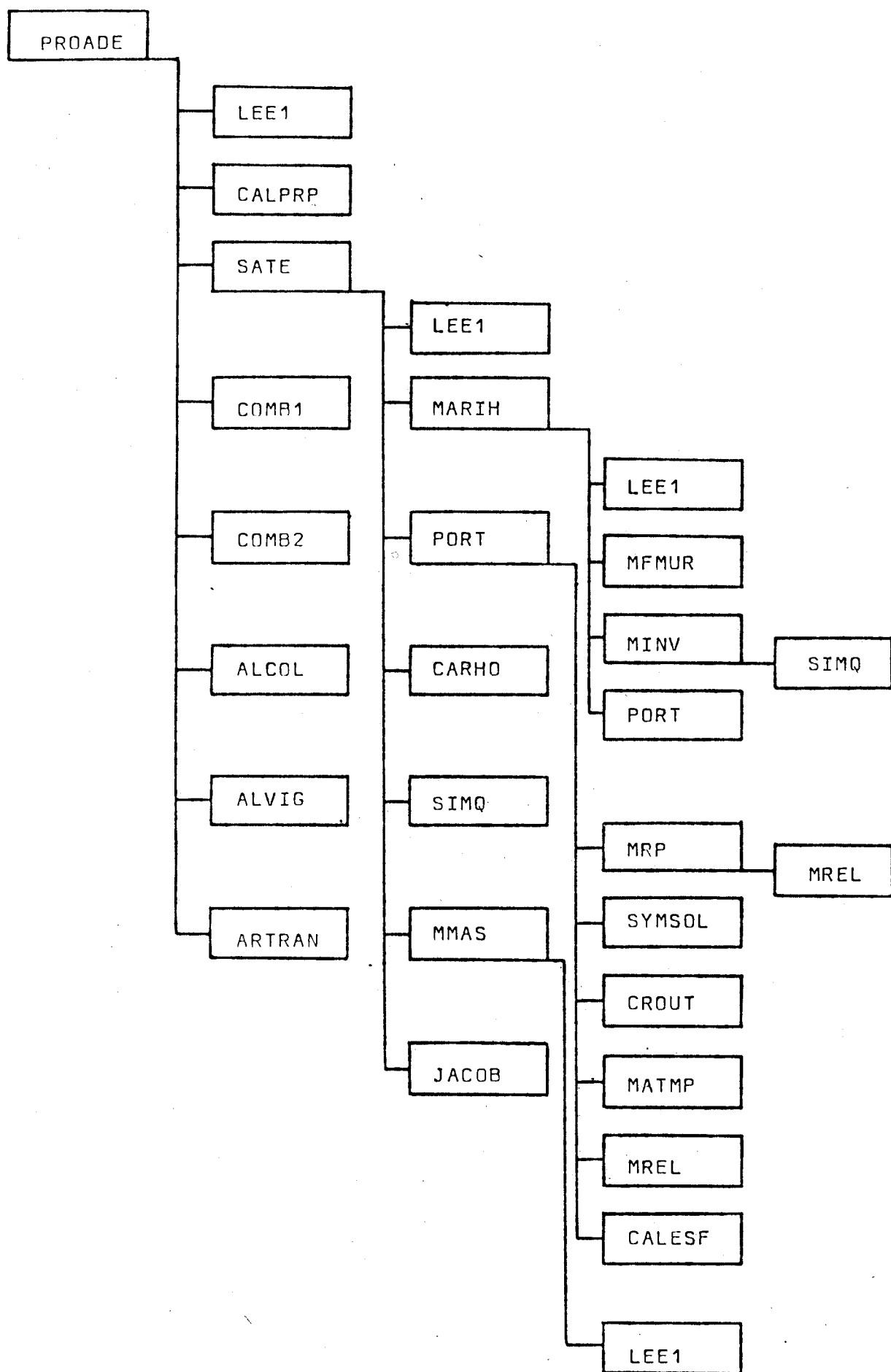
ORGANIZAÇÃO INTERNA DO SISTEMA

Na página seguinte, temos um diagrama representando a organização interna do sistema em subrotinas. Essas subrotinas são representadas por retângulos os quais estão vinculados entre si por traços. Esses traços representam as chamadas das subrotinas; mais exatamente, uma subrotina chama as subrotinas representadas pelos retângulos a ela vinculados e situados a sua direita.

Assim, por exemplo, a subrotina PROADE, a mais global de todas, está situada mais à esquerda. As subrotinas por ela chamadas são LEE1 e CALPRP, encarregadas da leitura e armazenamento de dados, SATE, responsável pela análise, COMB1 e COMB2, que pesquisam os estados de solicitações mais desfavoráveis, ALCOL, ALVIG e ARTRAN, que determinam as áreas de armadura.

A subrotina SATE, por sua vez, chama outro grupo de subrotinas. São elas, além da LEE1, a MARIH (determinação da matriz de rigidez horizontal), a PORT (análise do pórtico plano), a CARHO (determinação do vetor de cargas horizontais), a SIMQ (resolução de sistema de equações), a MMAS (determinação da matriz de massas) e a JACOB (determinação de frequências e modos de vibrar).

MARIH e PORT também possuem grupos de subrotinas por elas chamadas, cuja relação completa se pode ver no diagrama da página seguinte.



REFERÊNCIAS BIBLIOGRÁFICAS

1. ASSOCIAÇÃO BRASILEIRA DE NORMAS TÉCNICAS, Rio de Janeiro.
Forças devidas ao vento. (PNB-599/77)
2. _____ . Projeto e execução de obras de concreto armado. (NB-1/78)
3. BREBBIA, C.A. & FERRANTE, A.J. Computational methods for the solution of engineering problems. London, Pentech Press, 1978.
4. JIMENEZ MONTOYA, P.; GARCIA MESEGUER, A.; MORAN CABRE, F.
Hormigón Armado. 7.ed. Barcelona, Gustavo Gili, 1973.
v.1.
5. SANTOS, Lauro Modesto dos. Cálculo de concreto armado segundo a NB-1/76 e o CEB/72. São Paulo, Edgard Blücher, 1977.
6. TONG, Pin & ROSSETOS, John N. Finite-element method; basic technique and implementation. Cambridge, Mass., MIT Press 1977.